

ГОССТРОЙ СССР  
ГЛАВПРОМСТРОЙПРОЕКТ  
СОЮЗМЕТАЛЛОСТРОЙНИИПРОЕКТ

Ордена Трудового Красного Знамени  
Центральный научно-исследовательский и проектный институт  
строительных металлоконструкций  
ЦНИИПРОЕКТСТАЛЬКОНСТРУКЦИЯ

РУКОВОДСТВО  
ПО ПРОЕКТИРОВАНИЮ ЗАВОДОВ  
МЕТАЛЛОКОНСТРУКЦИЙ

ПРАВКА ЛИСТОВЫХ ЭЛЕМЕНТОВ  
СТАЛЬНЫХ КОНСТРУКЦИЙ,  
РЕЖИМЫ И ВЫБОР ОБОРУДОВАНИЯ

МОСКВА 1981

Госстрой СССР  
Главпромстройпроект  
Союзметаллостройинипроект  
Ордена Трудового Красного Знамени  
Центральный научно-исследовательский и проектный институт  
строительных металлоконструкций  
ЦНИИПРОЕКТСТАЛЬКОНСТРУКЦИЯ

УТВЕРЖДАЮ:

Директор института,  
академик

 Н.П. Мельников  
"13" ~~ноября~~ 1981 г.

Р У К О В О Д С Т В О  
ПО ПРОЕКТИРОВАНИЮ ЗАВОДОВ МЕТАЛЛОКОНСТРУКЦИЙ  
ПРАВКА ЛИСТОВЫХ ЭЛЕМЕНТОВ СТАЛЬНЫХ КОНСТРУКЦИЙ,  
РЕЖИМЫ И ВЫБОР ОБОРУДОВАНИЯ

Москва - 1981

УДК 621.982.45:624.014.2

Настоящее Руководство предназначено для работников проектных, научно-исследовательских институтов и заводов металлоконструкций.

Руководство содержит классификацию основных видов остаточных деформаций деталей конструкций, общие рекомендации по выбору метода правки и соответствующего для нее оборудования, а также несложные в производственных условиях методы определения ее режимов.

В основу настоящего Руководства положены результаты проведенных исследований в ЦНИИпроектстальконструкции, ЦНИИС Минтрансстроя, Челябинском и Курском политехнических институтах, а также учтены результаты современных отечественных и зарубежных исследований по методам правки.

Материалы Руководства послужат основой для разработки заводских инструкций, учитывающих наличие оборудования и программу завода.

Руководство составлено в отделе технологии изготовления и проектирования заводов металлических конструкций ЦНИИпроектстальконструкция.

В разработке Руководства участвовали: канд.техн.наук В.В.Волков (руководитель работы), Ю.Л.Попелянский (ответственный исполнитель); инж. У.П.Шибаев, В.И.Ломберт (ЦНИИпроектстальконструкция); канд.техн.наук К.П.Большаков, В.М.Душницкий, В.В.Пассек (ЦНИИС Минтрансстроя); проф. А.А.Абаринов, инж. В.Н.Ганченков (Челябинский политехнический институт); канд.техн.наук А.З.Белик, инж. В.М.Белик (Курский политехнический институт).

Замечания просим направлять по адресу: 117393, ул. арх. Власова, д.49, ЦНИИпроектстальконструкция, отдел технологии изготовления и проектирования заводов металлоконструкций.

## I. ОСНОВНЫЕ ПОЛОЖЕНИЯ

I.1. Настоящее Руководство дополняет и развивает раздел I главы СНиП III-18-75 "Металлические конструкции. Правила производства и приемки работ" и распространяется на производство правки листовых элементов строительных конструкций из углеродистой и низколегированной стали классов прочности С38/23 - С85/75.

I.2. Листовой прокат, поступающий с металлургических заводов, требует правки. Кроме этого, при транспортировке, резке, сварке и других технологических операциях по изготовлению сварных конструкций в заготовках и элементах могут возникать различные виды остаточных деформаций (рис. I):

- волнистость - характеризуется радиусом кривизны или отношением высоты волны к ее длине, обычно на базе в 1 м;
- коробоватость - кривизна как в продольном, так и в поперечном направлениях;
- саблевидность - определяется величиной зазора между продольной кромкой и натянутой струной;
- бухтиноватость - (хлопуны, местные выпучины) - наличие на листе местных вмятин небольшой глубины (в диаметре менее 1 м);
- винтообразность - уклон противоположных продольных кромок листа в различных направлениях;
- заломленные кромки листа, появляющиеся при резке контура листов, при погрузочно-разгрузочных работах;
- выгиб или местная погнутость листов;
- грибовидность полок;
- перелом в стыке сварного полотнища или "домик".

I.3. При наличии в заготовке или элементе двух или более видов остаточных деформаций их необходимо устранять последовательно.

I.4. Правку осуществляют холодным, термическим или термо-механическим методами.

Холодная правка производится с помощью механического воздействия на деформированный элемент.

Термическая правка деформаций изгиба представляет собой высокотемпературный нагрев участков на выпуклой стороне прогиба элемента.

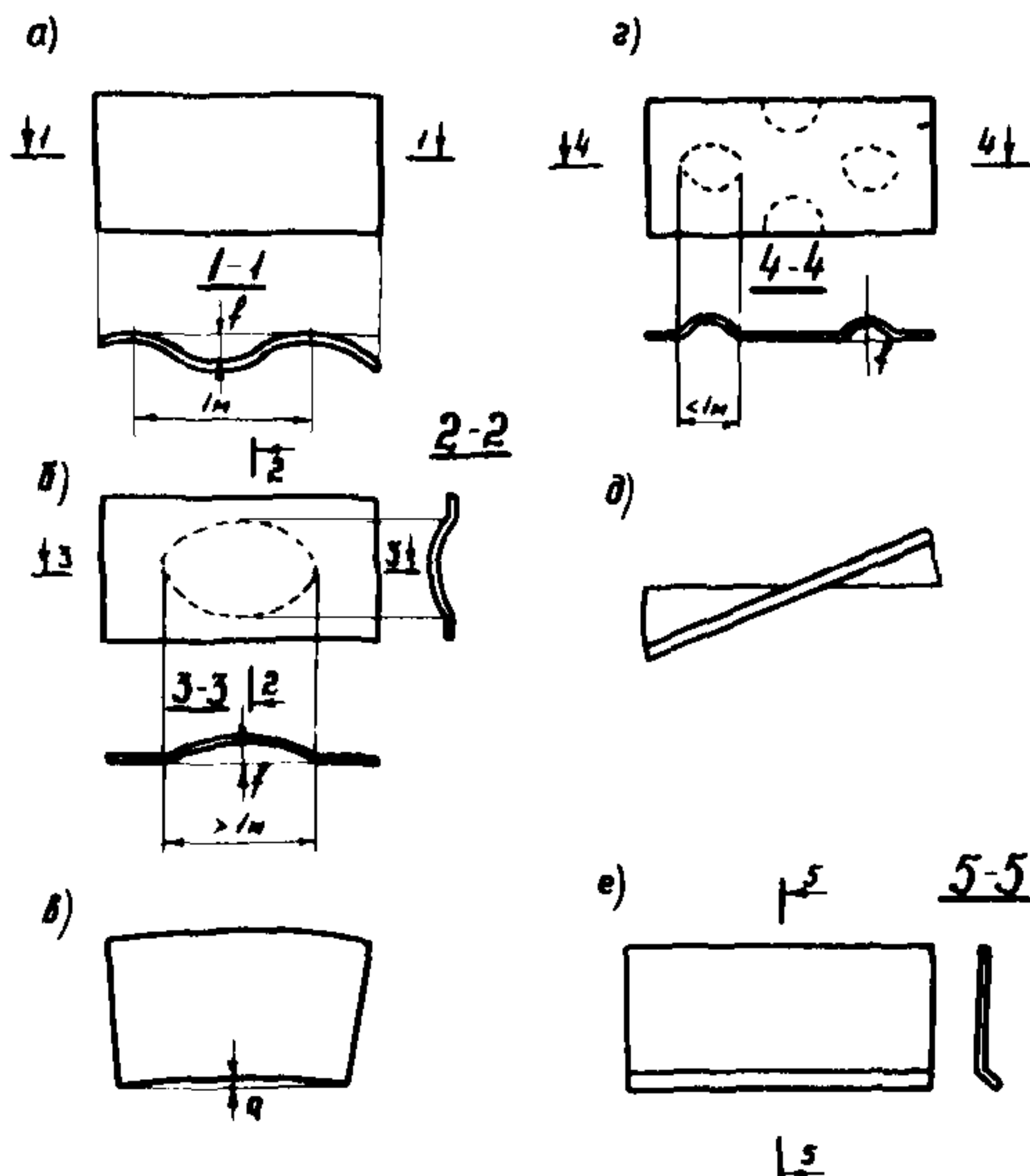


Рис. I. Остаточные деформации листовой, полосовой и широкополосной универсальной тали:

а) волнистость; б) коробоватость; в) саблевидность; г) бухтинговатость; д) пропеллерность; е) загломленная продольная кромка листа

Термомеханическая правка основана на сочетании первых двух методов – создании механического воздействия в момент местного нагрева элемента до высоких температур. Ее рекомендуется применять при значительных величинах деформаций.

Метод правки следует выбирать с учетом настоящего Руководства, исходя из наличия на заводе соответствующего оборудования.

I.5. При изготовлении конструкций необходимо осуществлять тщательный пооперационный контроль качества обработки полуфабрикатов и своевременно устранять в них недопустимые деформации, так как правка деформаций в готовом элементе всегда сложнее, чем в полуфабрикатах.

I.6. Правка осуществляется под наблюдением и техническим руководством мастера и поручается квалифицированным рабочим, которые ознакомлены с настоящим Руководством.

I.7. В процессе производства работ по правке следует тщательно соблюдать действующие правила техники безопасности и охраны труда.

## 2. ОБЩИЕ УКАЗАНИЯ

2.1. Правку деталей и элементов конструкций следует производить в том случае, если общие деформации превосходят допустимые СНиП Ш-18-75 (таблица I).

Т а б л и ц а I

Наименование отклонения	Допускаемые отклонения
1. Зазор между натянутой струной и обушком уголка, полкой или стенкой швеллера и двутавра	0,001 длины элемента, но не более 10 мм
2. Стрелка прогиба элементов (колонны, опоры, ригеля, балки, связь)	1/750 длины элемента, но не более 15 мм
3. Стрелка выгиба оси элементов главных ферм и балок проезжей части	0,001 длины элемента, но не более 10 мм

Правке подлежат листовой прокат и детали из него, имеющие:

- кривизну по плоскости более 1,5 мм на 1 м;
- саблевидность более 1/1000 длины или более 5 мм.

Деформированные участки, подлежащие правке, не должны иметь заломов, надрывов и трещин.

2.2. Технологические операции при правке рекомендуется осуществлять в следующем порядке:

- перед началом правки определить величину деформации, а также величину и направление кривизны: стрелку выгиба при большой длине элемента измеряют с помощью струны, винтообразность элементов - с помощью отвесов по разности отклонений вертикальной стенки элемента в опорных сечениях от вертикали, а для измерения остальных видов деформаций рекомендуется применять универсальную линейку (рис.2);
- установить порядок и последовательность ведения правки;
- с учетом рекомендаций, приведенных в Руководстве, провести правку;
- проверить результаты правки: если требуемый результат не был достигнут, то правку продолжить.

При термической и термомеханической правке необходимо:

- определить марку стали проката;

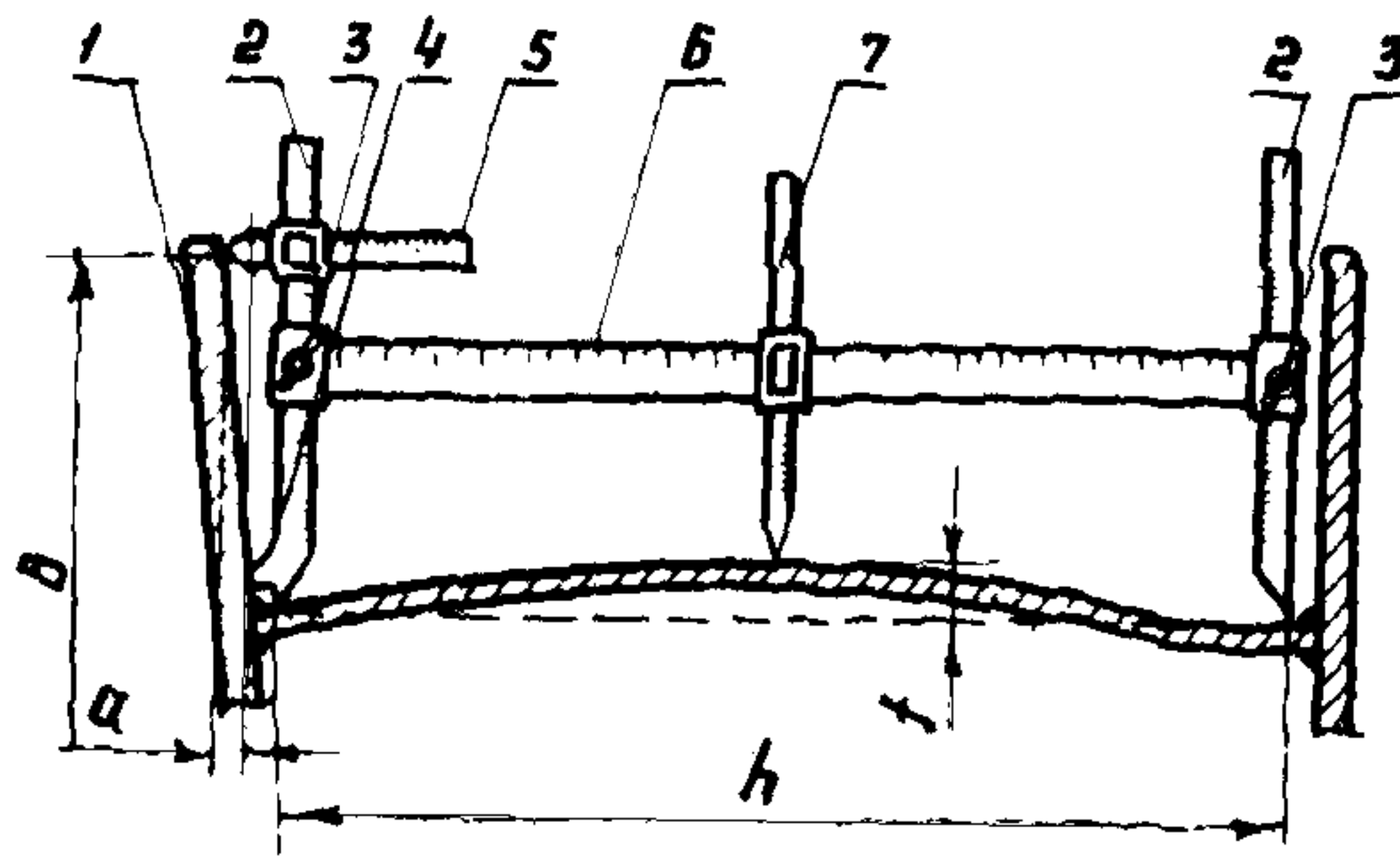


Рис.2. Схема измерения местных остаточных деформаций универсальной линейкой:

1 - деформированный элемент конструкции;  
2 - опорная стойка;  
3 - зажимной винт;  
4 - опора на опорной стойке; 5 - горизонтальная передвижная линейка для измерения перекоса полки; 6 - база;  
7 - вертикальная передвижная линейка для измерения стрелки выпучивания

- установить схему ведения правки и определить место и границу зоны нагрева;
- установить температуру нагрева и выбрать источник нагрева;
- проверить результаты правки: если требуемый результат не был получен, то правку следует продолжить; если элемент получил обратную деформацию, превышающую по величине допустимую, то его следует перевернуть и продолжить правку с другой стороны;
- участки выправленных элементов с деформациями, вызванными механическими воздействиями, должны быть подвергнуты контролю с помощью УЗД.

2.3. Поверхность стали после правки не должна иметь вмятин, трещин и других повреждений.

2.4. Не допускается подвергать холодной правке участки деформированных элементов, расположенные в местах резкого изменения сечения элемента, а также в местах приварки ребер и фасонок.

2.5. Запрещается правка элементов путем наплавки валиков дуговой сваркой, дугой, образованной графитовыми электродами, а также плазменными горелками.

2.6. Металл рекомендуется править ацетилено-кислородными горелками типа ГС-3 и ГС-4 с номером наконечника не ниже 5 (см.приложение I). Допускается применение горелок (например, типа ГЗУ-2-62П), разработанных для пропан-бутана и других газов-заменителях ацетилена. Для повышения тепловой эффективно-

сти пламени газов-заменителей ацетилена рекомендуется несколько увеличивать в смеси газов количество кислорода и применять горелки с сетчатыми наконечниками (номер 6 и выше), имеющими подогревающее пламя.

Режимы правки, приведенные в настоящем Руководстве, даны для ацетилено-кислородных горелок. Для горелок, работающих на газах-заменителях ацетилена, режимы правки должны подбираться опытным путем.

2.7. Температуру местного нагрева металла при термической и термомеханической правке рекомендуется принимать равной  $700^{\circ}\text{C}$ ; для этой температуры рассчитаны все приведенные в настоящем Руководстве графики, номограммы и таблицы режимов правки. Допускается повышение температуры нагрева до  $900^{\circ}\text{C}$  (кроме п.2.8).

2.8. Термически упрочненные стали во избежание разупрочнения запрещается нагревать выше  $700^{\circ}\text{C}$ .

2.9. В исключительных случаях при термической и термомеханической правке допускается применять проколачивание нагретого металла кувалдой через гладилку; при этом температура металла не должна опускаться ниже  $700^{\circ}\text{C}$ .

2.10. Расстояние от конца наконечника горелки до поверхности металла следует принимать равным 1,0-1,2 длины ядра пламени.

2.11. Температура нагрева и контроль ее постоянства под ядром пламени горелки на нагреваемой площади элемента определяется с помощью оптических пирометров, термокарандашей и устройства для контроля температуры нагрева (приложение 2), а также визуально по цвету каления стали с применением температурной шкалы цветов, приведенной в табл.2.

2.12. Для проверки правильности определения температуры нагрева следует проводить контрольные испытания каждого газоправильщика не реже одного раза в квартал (см.приложение 2).

2.13. Запрещается охлаждать нагретый металл водой.

2.14. Допускается повторный нагрев одних и тех же участков после полного остывания металла, но не более трех раз (кроме термически улучшенного проката).

2.15. Контроль за выполнением технологических указаний по термической правке и правил техники безопасности возлагается на старших и сменных мастеров и технологов цеха.

Т а б л и ц а 2

Цвет нагрева стали	Температура нагрева, °С
Темно-коричневый	550-580
Темно-вишневый	580-650
Темно-красный	650-730
Темно-вишнево-красный	730-770
Светло-красный	770-800
Светло-вишнево-красный	800-830
Густо-оранжевый	830-900

### 3. ХОЛОДНАЯ ПРАВКА. ПРАВКА ИЗГИБОМ ЛИСТОВОГО ПРОКАТА НА ЛИСТОПРАВИЛЬНЫХ ВАЛЬЦАХ

3.1. Листовой прокат следует править на листоправильных вальцах с параллельными рядами валков количеством не менее 5 (приложение 3).

3.2. При большой ширине исправляемых листов прочность правильных валков и его подшипниковых узлов зачастую является недостаточной. В этих условиях листоправильные машины снабжаются опорными роликами. Относительно правильных валков опорные ролики располагаются попарно (рис.3а), в шахматном порядке (рис.3б) или смешанно. По длине правильных валков опорные ролики устанавливаются в несколько рядов (рис.3в).

Шахматное расположение опорных роликов относительно правильных валков является наиболее распространенным, так как

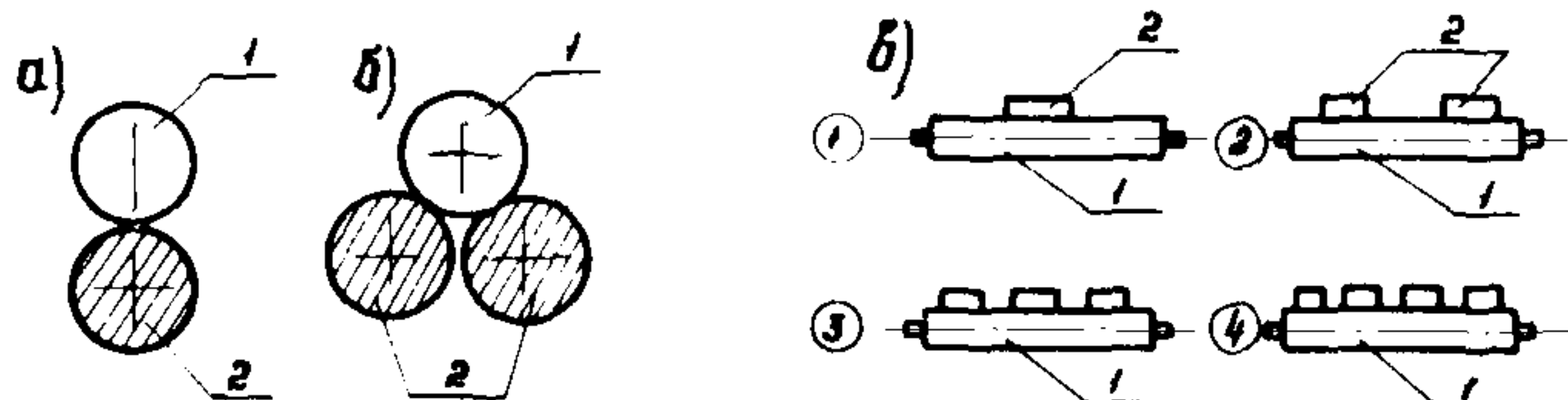


Рис.3. Схемы расположения опорных роликов в листоправильных машинах:

а) схема расположения опорных роликов попарно с правильными валками; б) схема расположения опорных роликов и правильных валков в шахматном порядке; в) схема расположения опорных роликов по длине валка (1 - правильные валки, 2 - опорные ролики, ② - количество роликовых опор)

именно оно позволяет получить высокую прочностную характеристику листоправильных машин, применяемых для холодной правки очищенных от окалины листов.

Листы, имеющие окалину, правят на машинах со связанными взаимным расположением правильных валков и опорных роликов. В этом случае для свободного удаления окалины опорные ролики нижнего ряда устанавливают попарно, а в верхнем ряду для повышения прочности верхней траверсы правильные валки и опорные ролики размещаются в шахматном порядке.

3.3. Опорные ролики каждого ряда монтируются в одну секцию, положение которых по высоте регулируется специальными механизмами, в зависимости от вида и величины исходного дефекта листа. В связи с этим давление от опорных роликов на правильные валки прерывается в местах установки подшипников для опорных роликов. Давление со стороны правильных валков на лист по ширине неодинаково, что приводит к появлению на поверхности выправленного материала продольных полос (матрацности). Вероятность получения "матрацности" исключается при большом количестве роликовых опор.

3.4. Радиус изгиба в машине с параллельными рядами валков (рис.4) следует определять по формуле (I). При этом надо знать

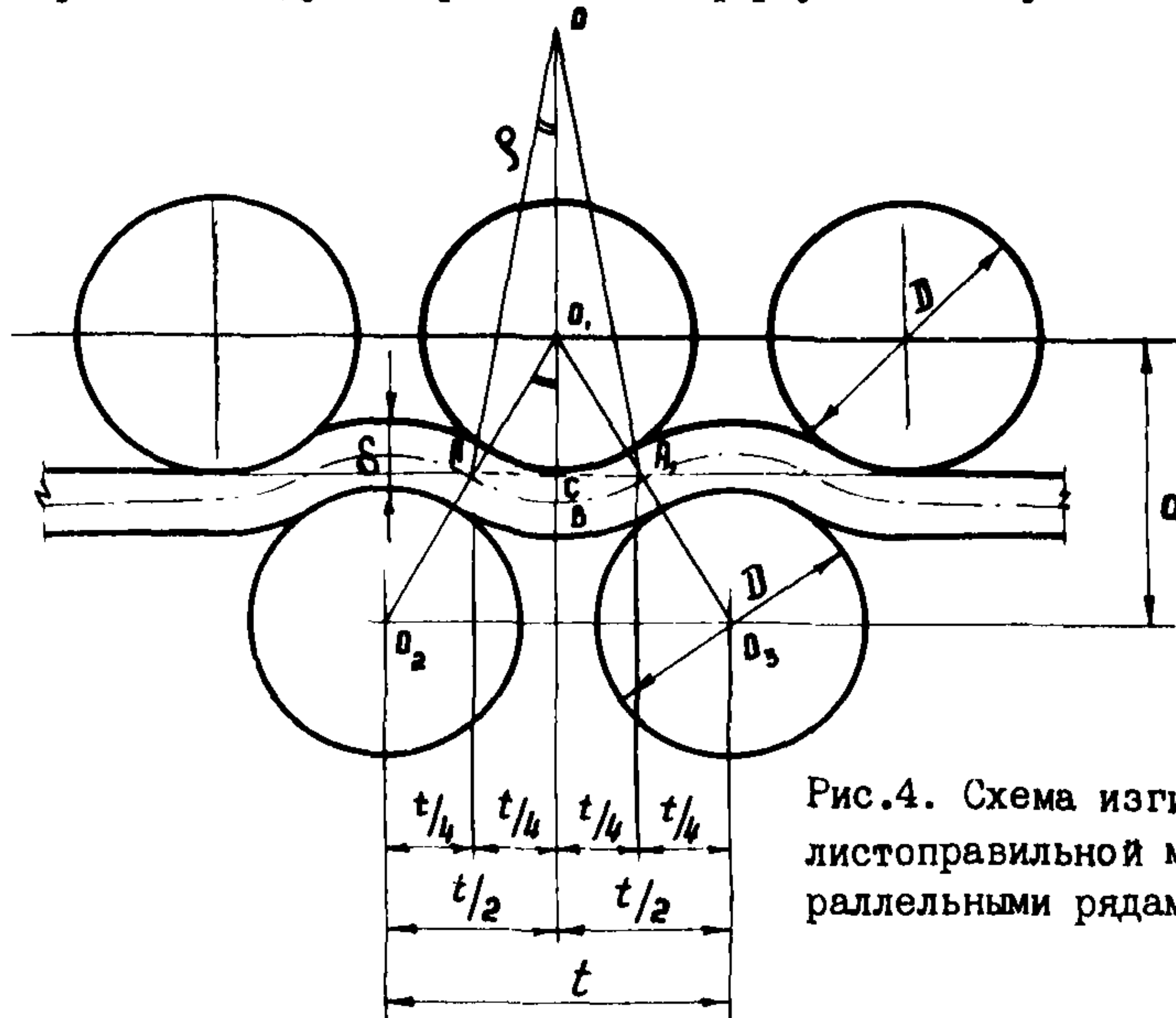


Рис.4. Схема изгиба листа в листоправильной машине с параллельными рядами валков

толщину листа ( $\delta$ ), геометрию машины и величину опускания верхних валков ( $h$ ) выше или ниже их нейтрального положения (нейтральным положением валков считается такое положение, при котором все валки соприкасаются с прямой линией прохода).

$$\rho = \frac{AA_1 + 4CB^2}{8CB} = \frac{t^2 + 4(\vartheta + \delta - a)^2}{16(\vartheta + \delta - a)} = \frac{t^2 + 4h^2}{16h} > \frac{\vartheta}{2} + \frac{\delta}{2}, \quad (1)$$

где

$$\vartheta + \delta - a = h \quad (2)$$

$t$  – шаг правильных валков, мм.

Чтобы выправить качественно лист с радиусом исходной кривизны  $R_{исх}$ , необходимо согнуть его в машине на радиус изгиба меньший исходного, с учетом пружинения заготовки. Необходимый радиус изгиба при правке рекомендуется определять по таблицам приложения 4 в зависимости от предела текучести, радиуса исходной кривизны листа и его толщины. Для промежуточных значений указанных величин, радиус изгиба находится по интерполяции, используемый при технологических расчетах правки и настройки машины.

3.5. Величину настройки "h" средних рабочих валков следует определять из уравнения

$$h \geq 2\rho - \sqrt{4\rho^2 - \frac{t^2}{4}}. \quad (3)$$

Для контроля расстояния между центрами валков листоправильные машины должны быть оборудованы указателями их сближения. Крайние направляющие валки настраиваются опытным путем в зависимости от настройки средних правильных валков: если лист загибается, то крайние валки следует опустить и наоборот.

3.6. Процесс определения технологических возможностей листоправильных машин включает в себя:

- определение наибольших размеров поперечного сечения выправляемого листа для данного типа машины из условий прочности элементов машины и предельных контактных напряжений между валками и заготовкой;

- определение минимальной толщины листа из условия геометрии машины.

3.7. Для листоправильных машин, не имеющих опорных роликов по длине валков (типа "Бенни"), основной величиной, огра-

Таблица 3  
Значение коэффициента  $m$  и  $m_0$

$E, \text{ МПа}$	Коэффициент $K$										
	0,005	0,01	0,02	0,03	0,04	0,05	0,10	0,20	0,30	0,40	0,50
2500	2,68	2,08	1,79	1,69	1,63	1,60	1,53	1,43	1,32	1,18	1,0
4500	3,62	2,53	2,63	1,62	1,73	1,66	1,56	1,44	1,33	1,18	1,0

ничивающей размеры заготовки, выпрямляемой в машине, является величина предельных напряжений в валках.

Максимальная ширина ( $b_{\max}$ ) заготовки с известной толщиной и пределом текучести материала  $G_T$ , отличными от указанных в паспорте машины, следует определять из условия прочности наиболее нагруженного валка по формуле

$$b_{\max} = h - \sqrt{h^2 - \frac{m_0 G_T \delta^2}{m G_T \delta_0^2} (24 - \delta_0) \delta_0}, \quad (4)$$

где  $m$  - коэффициент (таблица 3), устанавливаемый в зависимости от  $K = \frac{G_T \cdot \rho}{E \delta}$  и модуля упрочнения  $E_1 = 2500 \text{ МПа}$ , а  $m_0$  - от  $K = \frac{G_T \rho_0}{E \delta_0}$  и  $E_1 = 4500 \text{ МПа}$  (таблица 4)

$$\rho = \frac{t^2 + 4h_0^2}{16h_0} \quad (5)$$

( $h_0$  - величина опускания валков при правке листа с толщиной  $\delta_0$ ).  $L$  - расчетный пролет правильных валков.

3.8. Для листоправильных машин с опорными роликами по длине правильных валков (рис.5) основными условиями, ограничивающими размеры заготовки, являются величина предельных изгибающих моментов в валках и прочность основных органов машины с учетом промежуточных опор.

Максимальные размеры заготовки следует назначить из условия равенства изгибающих моментов в заготовке и листе по паспорту машины при условии равнопрочности основных элементов машины. С увеличением толщины и уменьшением ширины заготовки возрастает давление на промежуточные опоры роликов, которые рассчитаны на опорные реакции, возникающие при правке листа с размерами по паспорту машины.

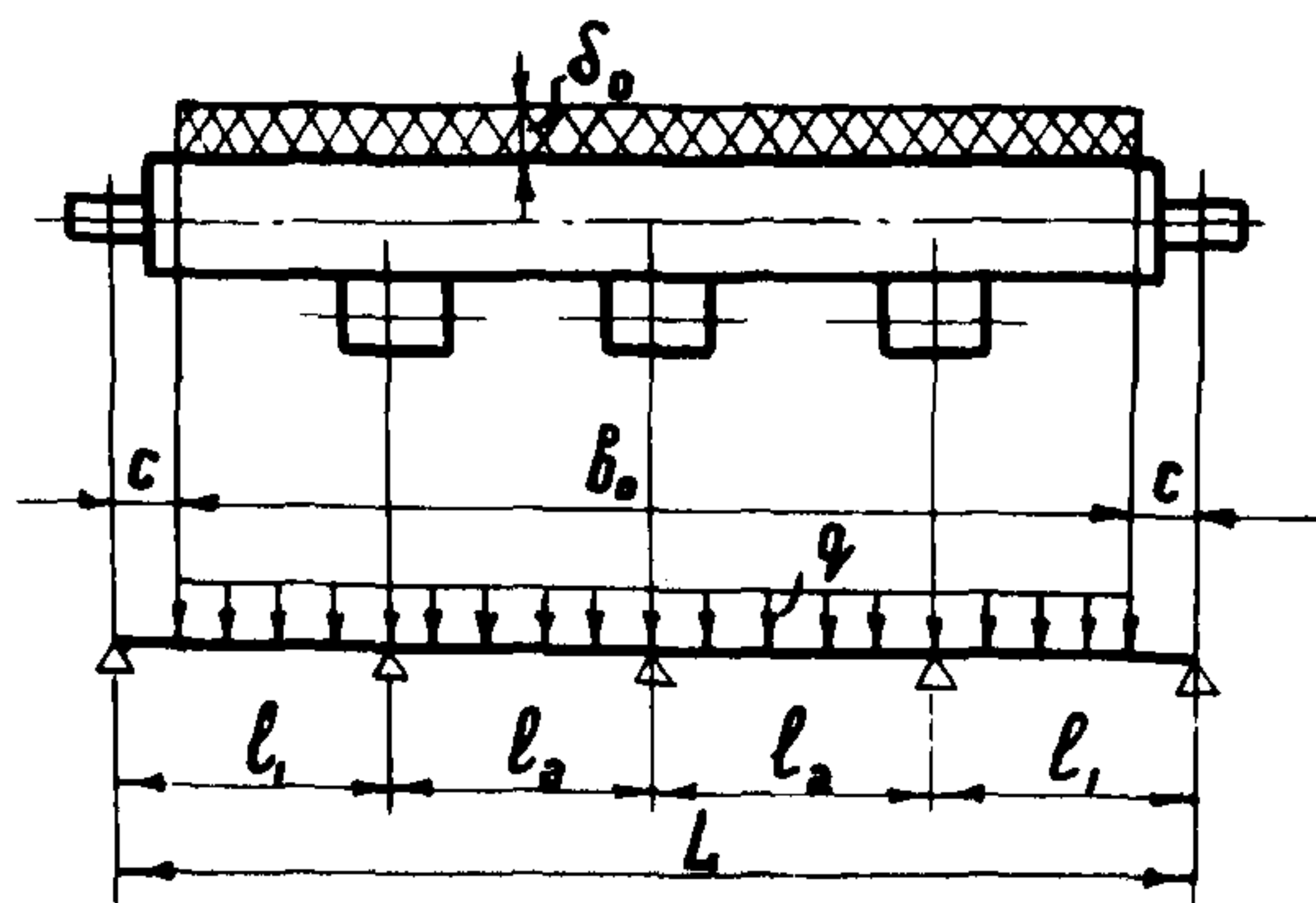


Рис.5. Расчетная схема правильных валков в зависимости от количества роликовых опор

3.9. Максимальная ширина (толщина) заготовки при известных толщине (ширине), модуле упрочнения и пределе текучести, отличными от паспортных данных машины, определяют по формулам:

Таблица 4

Средние значения модулей упрочнения  $E_t$ , МПа

Класс прочности стали	Марка стали	Состояние поставки стали			
		горячекатаная	нормализованная	закалка и отпуск	закалка и высокий отпуск
С38/23	ВСтЗ	2500	2500	-	-
С44/29	09Г2С	4500	4500	2500	-
С46/33	10Г2С1	4500	4500	2500	-
С52/40	10ХСНД	4500	4500	2500	-
С60/45	16Г2АФ	4500	4500	2500	-
С70/60	12Г2СМФ	-	-	-	2500
С70/60	12ГН2МФАО	-	-	-	2500
С85/75	12ХГН2МФАО	-	-	-	2500

$$b_{\max} = \frac{\pi_0 G_t^0 b_0 \delta_0^2}{t G_t \delta} N^2 \quad (6)$$

$$\delta_{\max} = \delta_0 \sqrt{\frac{\pi_0 G_t^0 b_0}{t G_t \delta}}, \quad (7)$$

где  $\pi_0$  – коэффициент, обеспечивающий равнопрочность основных элементов машины, зависящий от количества роликовых опор и степени сужения заготовки, приведен в таблице 5.

Таблица 5

Значения коэффициента  $N$ 

Количество роликовых опор	I	Значение $N$ при									
		0,9	0,8	0,7	0,6	0,5	0,4	0,3	0,2	0,1	0,05
I	I	0,95	0,88	0,83	0,73	0,75	0,72	0,68	0,65	0,62	0,61
2	I	0,95	0,91	0,87	0,83	0,70	0,57	0,49	0,43	0,38	0,36
3	I	0,95	0,86	0,76	0,66	0,56	0,50	0,38	0,34	0,32	0,31
4	I	0,94	0,84	0,74	0,64	0,55	0,51	0,43	0,30	0,19	0,15

Причание. Значение  $N$  для промежуточных отношений  $b/b_0$  могут быть определены линейной интерполяцией.

Определение  $b_{\max}$  по формуле осуществляется методом последовательных приближений. В итоге необходимо, чтобы значение  $b_{\max}$  совпало со значением  $b$ , взятым из табл.5.

При определении  $b_{\max}$  (для установления коэффициента  $N$ ) необходимо задаться значением  $b_{\max}$  (первоначально в пределах  $\delta_0$ ), и в случае несовпадения результатов повторить расчет с новым принятим значением  $b_{\max}$ .

3.I0. При неизвестных значениях предела текучести материала, подготавливаемой к обработке заготовки (известна только марка стали) вместо  $G_T$  необходимо подставить  $G_{\max}^T$  (таблица 6).

3.II. Минимальная толщина листа, который может быть выправлен на заданной листоправильной машине из условия развития необходимых пластических деформаций, следует определять по формуле

$$\delta_{\min} = \frac{2t^2}{D} \left[ 0,01 + \frac{G_T + E_1 \left( 0,01 - \frac{G_T}{E} \right)}{E - E_1} \right] \quad (8)$$

или по таблице 7.

3.I2. Рекомендуется производить перерасчет технологических возможностей листоправильных машин на ЭВМ. В этом случае уменьшается трудоемкость вычислений и перерасчет будет более

Таблица 6

## Технологические свойства марок стали

Класс прочности стали	Марка стали	Предел текучести, МПа				Временное сопротивление, МПа				Относительное удлинение, %		
		по ГОСТ или ТУ	$\sigma_t^{cr}$	$\gamma^r$	$\sigma_t^{max}$	по ГОСТ или ТУ	$\sigma_b^{cr}$	$\gamma^s$	$\sigma_b^{max}$	по ГОСТ или ТУ	$\delta_5^{cr}$	$\gamma^e$
C38/23	ВСт3	230	282	23,4	350	380	466	21,6	520	24	30,3	3,0
C44/29	09Г2С	290	385	38,8	502	440	548	33,0	648	21	27,6	3,14
C46/33	10Г2С1	330	385	20,7	445	460	548	33,0	640	21	28,5	3,42
C52/40	10ХСНД	400	459	37,6	580	520	598	34,6	710	-	-	-
	14Г2АФ	330	478	66,8	678	550	620	54,6	784	20	24,1	3,90
C60/45	16Г2АФ	450	508	41,8	634	600	654	39,4	772	16	23,7	3,24
	12Г2СМФ	600	751	75,1	964	700	838	65,3	1034	12	15,5	2,34
C70/60	12ГН2МФАЮ	600	677	72,6	895	700	782	75,0	1007	14	17,1	2,65
C85/75	12ХГН2МФБАО	750	866	73,5	1086	850	978	61,9	1164	12	14,3	2,10

Таблица 7

Значения минимальной толщины выпрямляемого листа в мм из условия геометрии машины

$\sigma_t$ МПа	Модель машины													
	"Веп- пи" 26x x3100	MRL SG 25x x2438	"Фудзи Шаре" 40x x3200	ИВРК 25x x3200	ИВРК 32x x3200	ИВРК 40x x3200	ИВРК 50x x4500	XZM 40x x3000	СКМЗ 32x x2500	НКМЗ 25x x2500	НКМЗ 30x x3450	НКМЗ 35x x2650	НКМЗ 50x x3500	НКМЗ 50x x4500
200	II	6	I0	6	6	8	I3	8	I0	8	II	8	20	33
300	II	6	II	6	7	8	I4	8	I0	9	I2	9	21	34
400	I2	7	I2	7	8	9	I5	9	II	I0	I3	I0	22	36
500	I2	7	I3	8	8	9	I5	I0	I2	I0	I4	I0	24	38
600	I3	8	I3	8	8	I0	I6	I0	I2	II	I4	I0	25	40
700	I3	8	I3	8	8	I0	I6	I0	I3	II	I5	II	26	40
800	I4	8	I4	9	9	I0	I7	II	I3	II	I5	II	26	42
900	I4	8	I4	9	9	II	I8	II	I3	I2	I6	II	26	45
1000	I5	9	I5	9	9	II	I8	I2	I4	I2	I6	I2	28	45
1100	I5	9	I5	9	I0	I2	I9	I2	I4	I3	I7	I2	28	48
1200	I6	9	I6	I0	I0	I2	20	I2	I5	I3	I7	I2	30	48

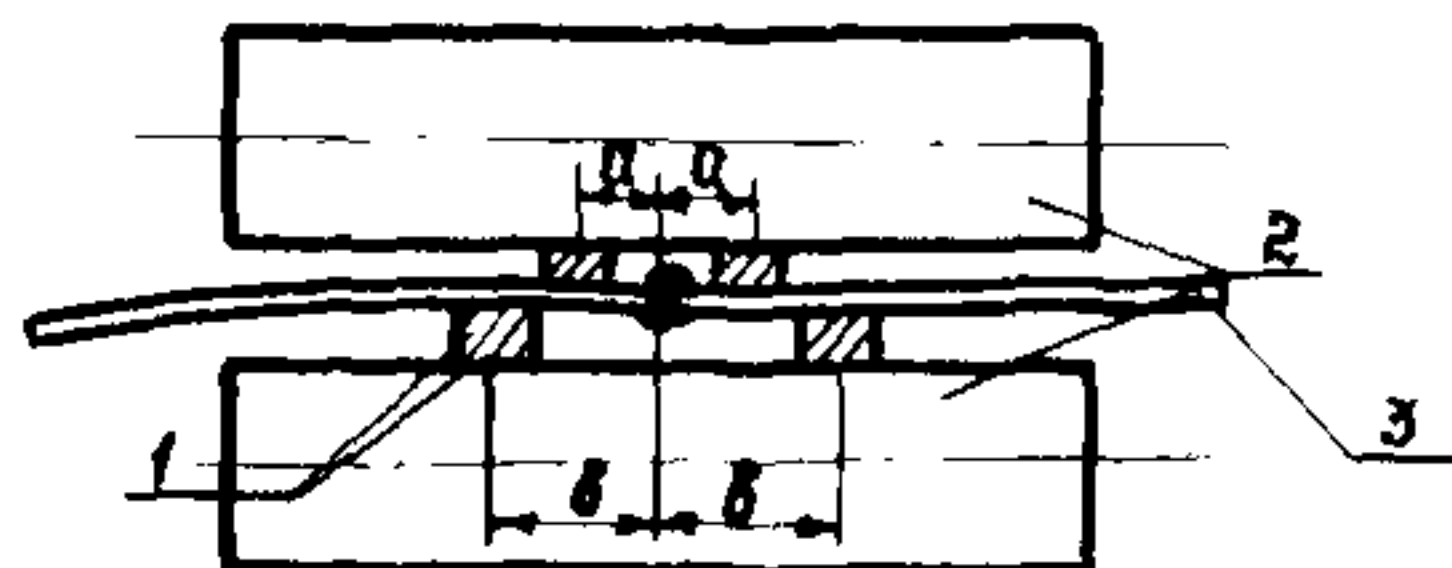


Рис.6. Листоправильные валки с прокладками вдоль шва:  
1 - прокладки; 2 - валки;  
3 - деформированный лист

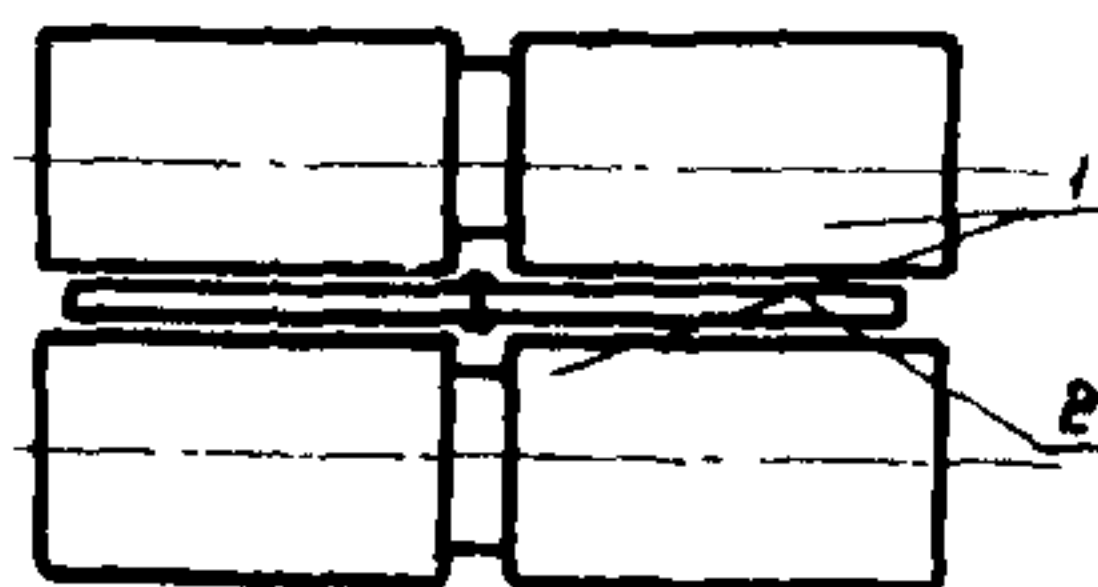


Рис.7. Листоправильные валки с проточенной канавкой:  
1 - валки; 2 - деформированный лист

полным. В приложении 5 технологические возможности листоправильных машин, рассчитанные с помощью ЭВМ.

3.13. Примеры расчета технологических возможностей листоправильных машин с отсутствием и наличием опорных устройств по длине валков приведены в приложении 6.

3.14. При правке саблевидности на листоправильных машинах на вогнутой стороне листа укладывают прокладки толщиной 1,5–2,0 мм, шириной 100–150 мм и длиной 600–700 мм. При правке хлопунов такие прокладки укладывают по обеим кромкам на поверхности листа. При этом суммарная толщина листа должна быть не более рассчитанной по возможностям данной машины.

3.15. На листоправильных машинах допускается править заломы, расположенные только на продольных кромках листа.

3.16. Допускается правка тонколистовой стали пакетом. Сумма толщины листов в пакете не должна превышать максимальной толщины одного листа, который можно выпрямить на данной машине. Режим правки пакетом следует определять опытным путем.

3.17. Полотнища с продольными стыковыми швами рекомендуется править на машинах, используя один из следующих способов:

- с применением прокладок, уложенных вдоль сварного шва с обеих сторон листа (рис.6);
- после снятия усиления шва с обеих сторон полотнища;
- с применением специальных валков с проточенными канавками для пропуска усиления шва (рис.7).

Полотнища толщиной 20 мм и более необходимо править за несколько проходов.

3.18. Полотнища с поперечными стыковыми швами допускается править на машинах при условии, если толщина полотнища не превышает 20 мм, а величина усиления шва с каждой стороны не превышает 3 мм. В этом случае не допускается применение жестких режимов правки во избежание появления трещин в шве и околосшовной зоне.

#### 4. ТЕРМИЧЕСКАЯ ПРАВКА. ПРАВКА ЛИСТОВОГО ПРОКАТА

4.1. Волнистость, выгиб или местную погнутость листовой стали следует править нагревом одной или нескольких полос, расположенных по гребню волны (рис.8).

Ширину полосы нагрева  $b$  следует определять по графикам, приведенным на рис.9 и 10, на которых даны зависимости для горелок с эффективной мощностью 1300, 1750 и 2200 кал/сек, что соответствует ацетилено-кислородным горелкам с наконечниками номер 5, 6, 7 (см.приложение 7). В случае применения горелок, работающих на других газах, можно использовать графики, приведенные на рис.9 и 10, определив согласно указаниям приложения их эффективную мощность.

4.2. Стрелку прогиба после правки волнистости допускается предварительно определять сразу же после нагрева полосы.

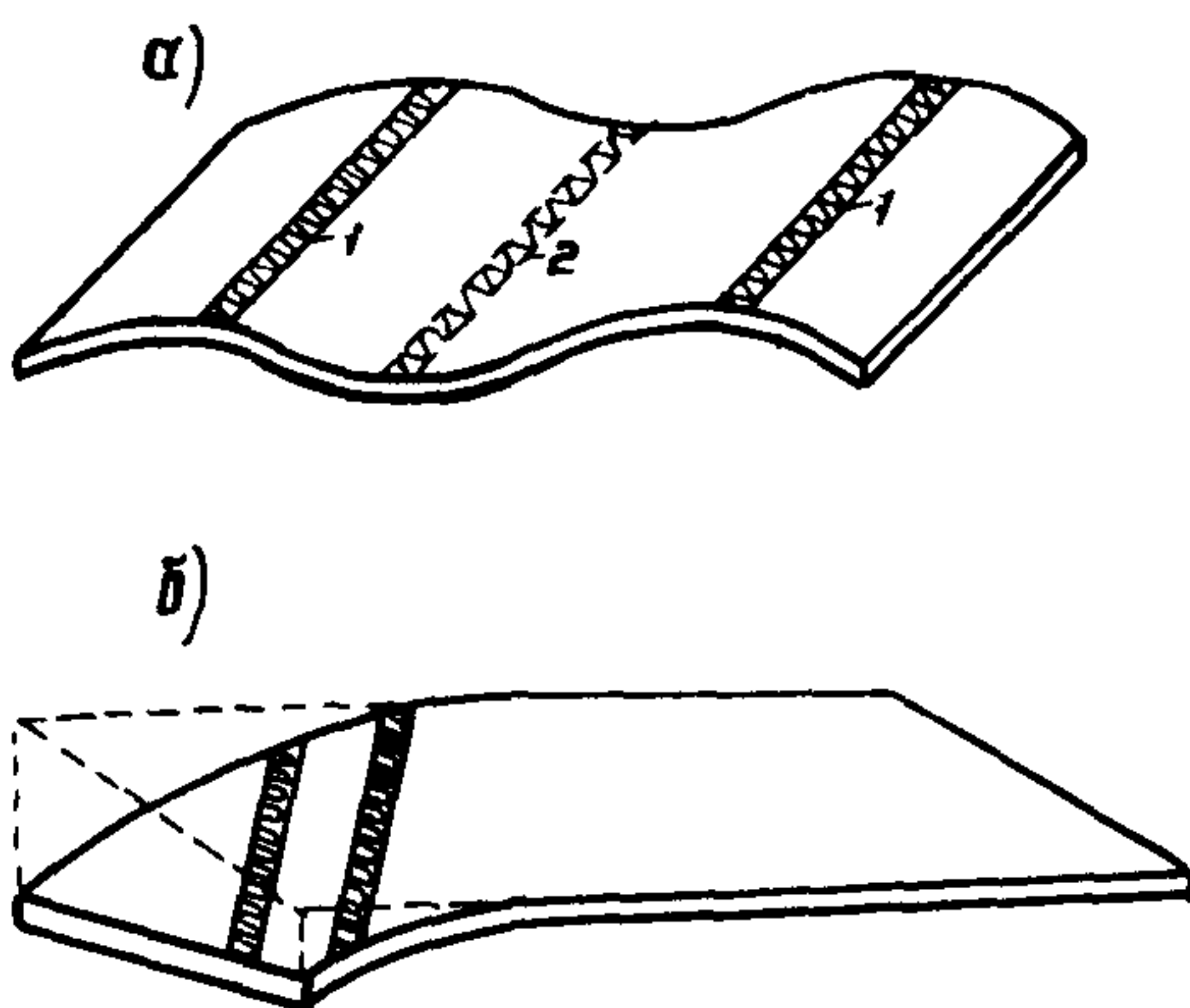


Рис.8. Термическая правка волнистости (а) и выгиба листа (б)

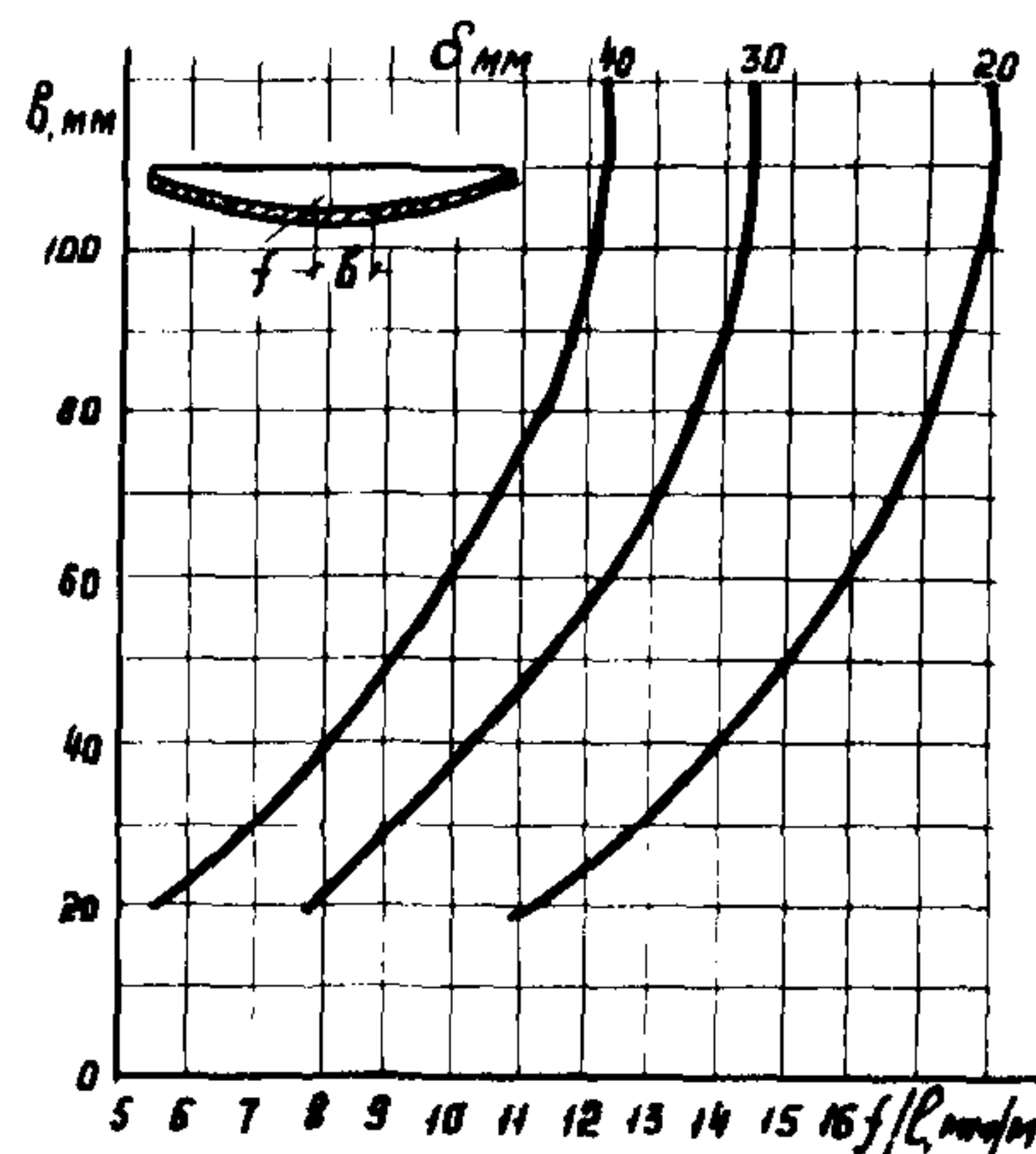


Рис.9. Зависимость величины угловых деформаций  $f/l$  от ширины полосы нагрева ацетилено-кислородной горелкой № 6 листов толщиной 20, 30, 40 мм

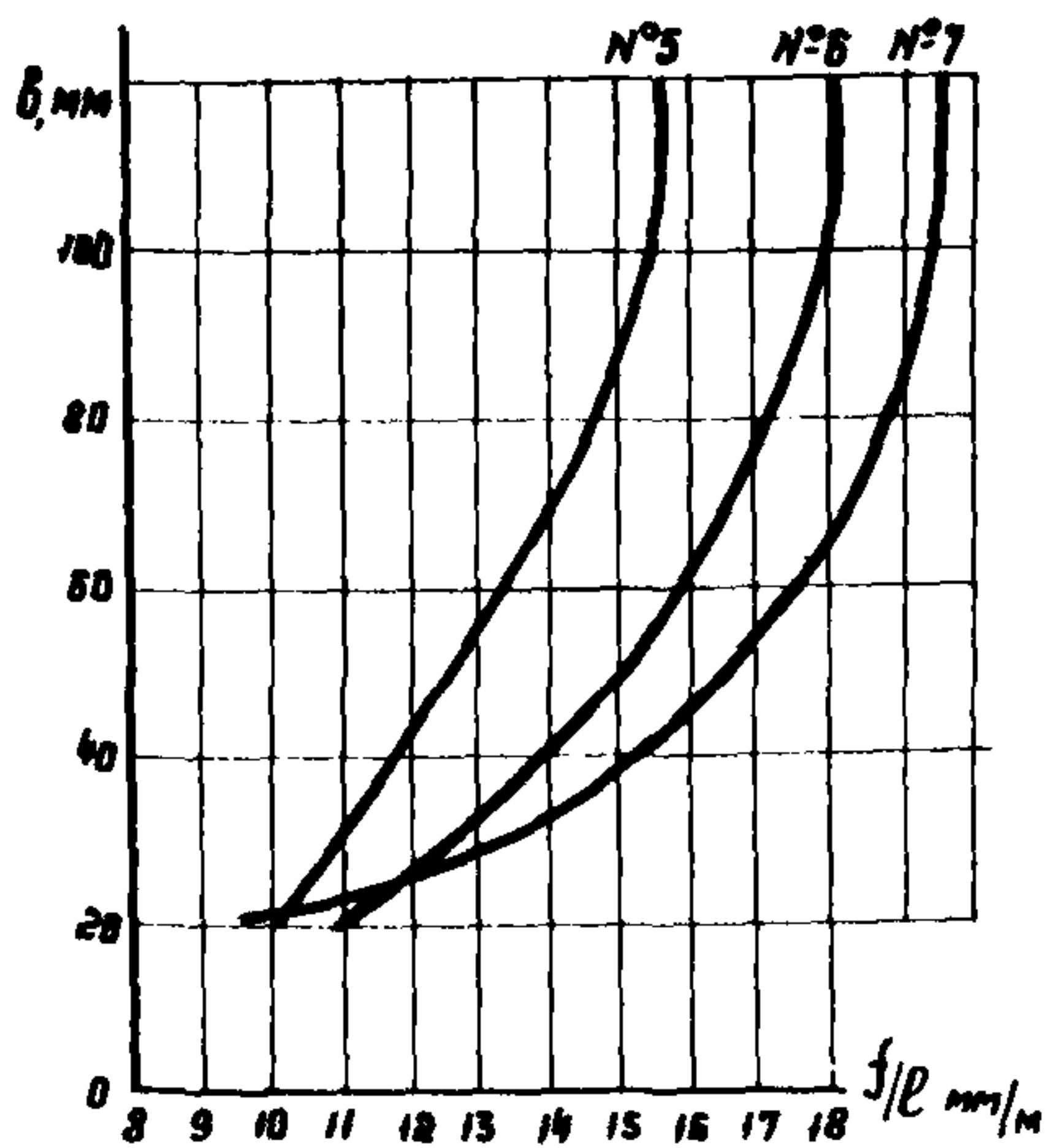


Рис.10. График для определения режима правки листа толщиной 20 мм в зависимости от номера горелки

4.3. Правку саблевидности листовой стали следует производить нагревом полосы, клиньев или зон в виде полуокружности (рис.II) со стороны выпуклой кромки.

4.4. Не рекомендуется править детали нагревом полосы при отношении ее ширины  $h_1$  к общей высоте сечения листа  $h$  более 0,2 (см.рис.IIa).

4.5. Величину изменения стрелки прогиба при правке саблевидности нагревом полосы следует определять по графику (рис.I2) в следующей последовательности:

- замеряется стрелка выгиба листа  $f_0$ ;
- определяется отношение стрелки выгиба  $f_0$  (мм) к общей длине  $\ell$  (в м) деформированного листа;
- по графику определяется отношение  $h_1 / h$ , из которого устанавливается необходимая ширина полосы нагрева.

П р и м е ч а н и е. Минимальный размер полосы нагрева принимается равным трем толщинам листа.

4.6. Не рекомендуется повторный нагрев полосы по первоначальному режиму. В случае, если после первого нагрева остаточные деформации не устранены, требуется нагреть полосу большей ширины или до более высоких температур.

4.7. Высоту клина следует назначать равной  $2/3 h$  ( $h$  - высота сечения листа).

4.8. Клин рекомендуется нагревать последовательно, перемещая пламя источника нагрева зигзагообразно от вершины к основанию (рис.IIб).

4.9. Режимы правки саблевидности листов нагревом зон в виде клина следует определять по графикам рис.I3, I4 в следующей последовательности:

- замеряется стрелка выгиба элемента;
- по nomogramme, приведенной на рис.I4, определяется необходимое для правки количество нагреваемых зон в зависимости от стрелки выгиба  $f_0$  и длины элемента  $\ell$ ;

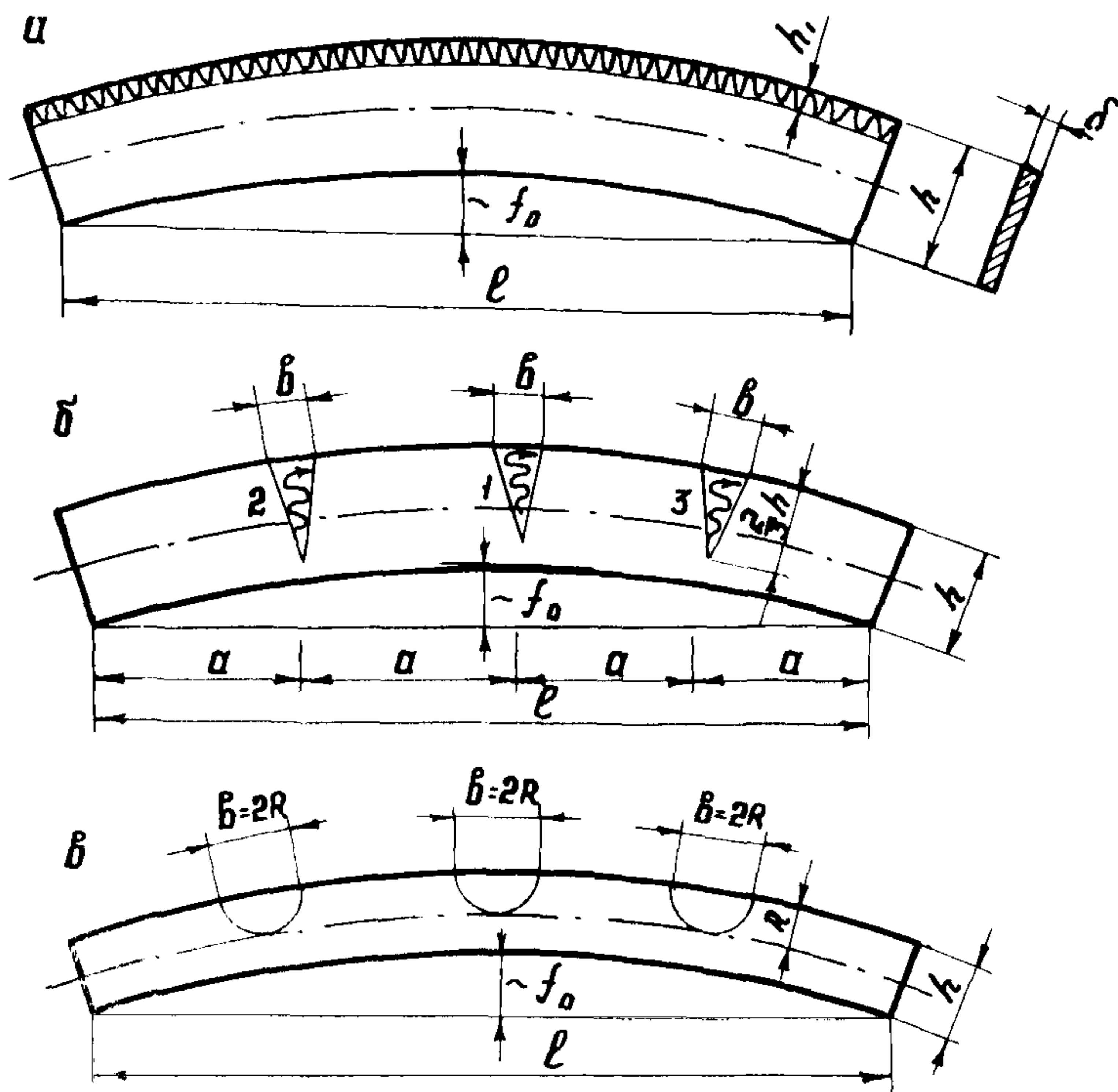


Рис.11. Правка нагревом саблевидности листового проката:

а - полосовой; б - клиньями; в - полуокружностями

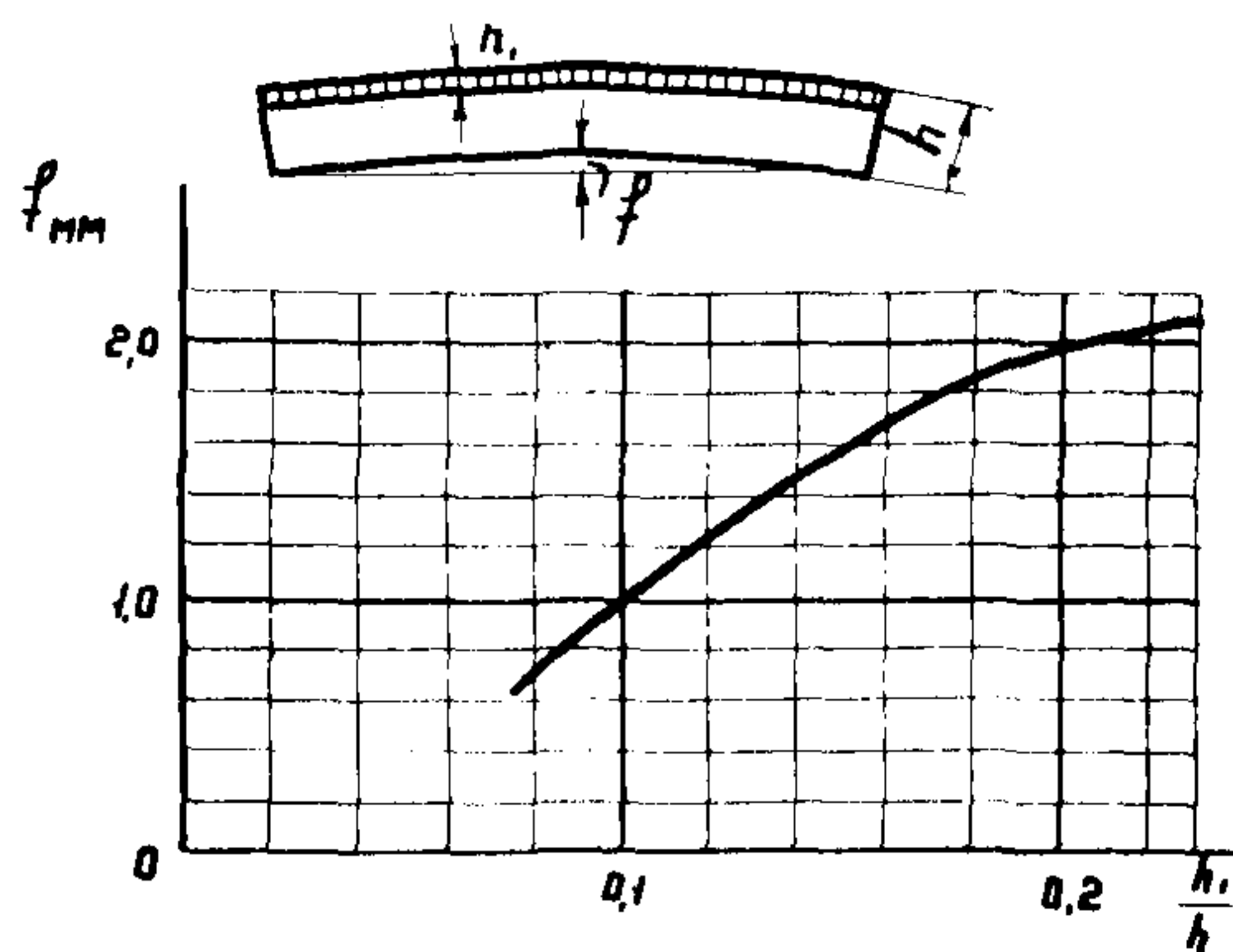


Рис.12. График для определения размеров зоны нагрева в виде полосы

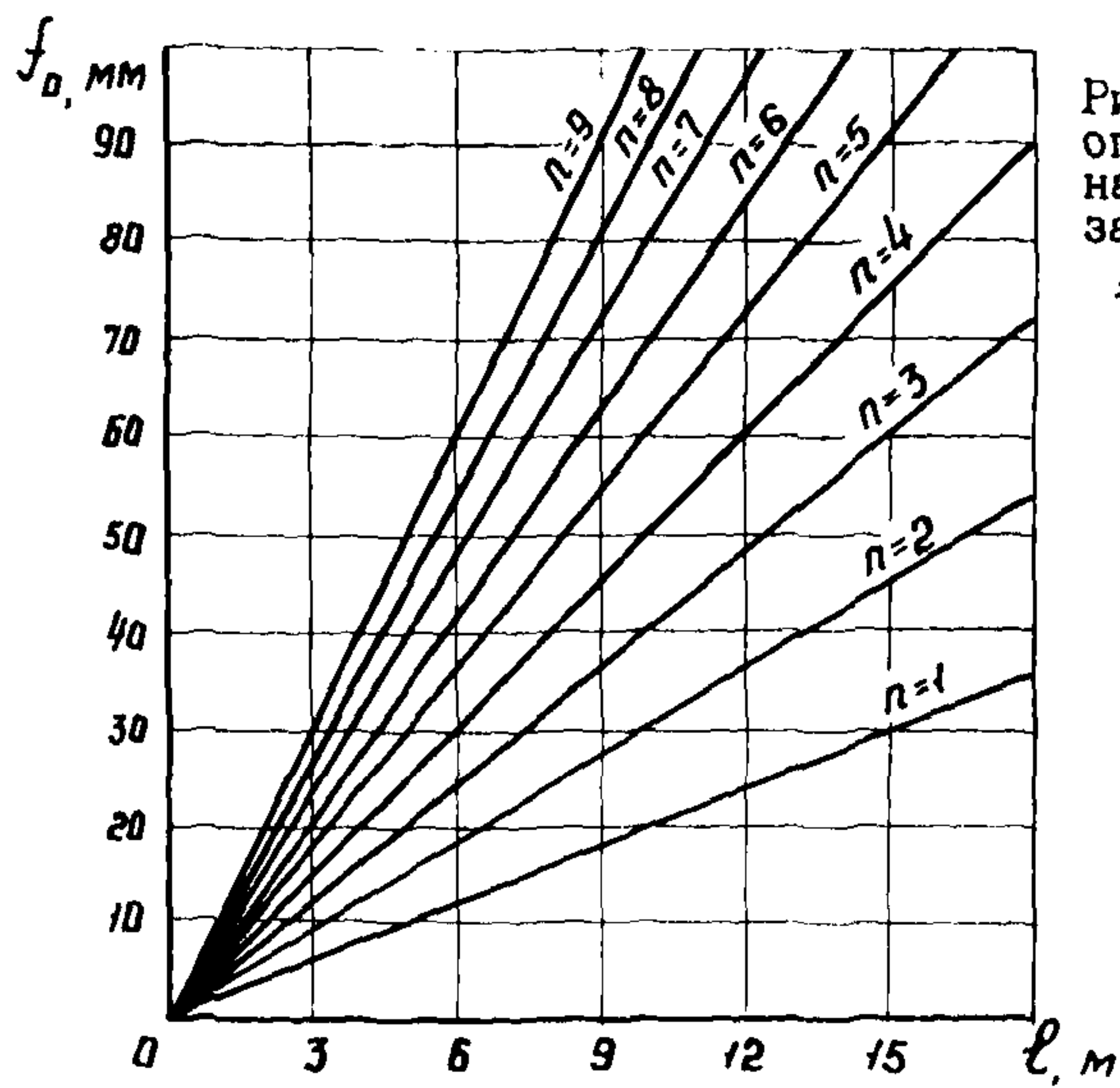


Рис. I3. Номограмма для определения количества нагреваемых зон  $n$  в зависимости от выгиба  $f_0$  и длины элемента  $l$

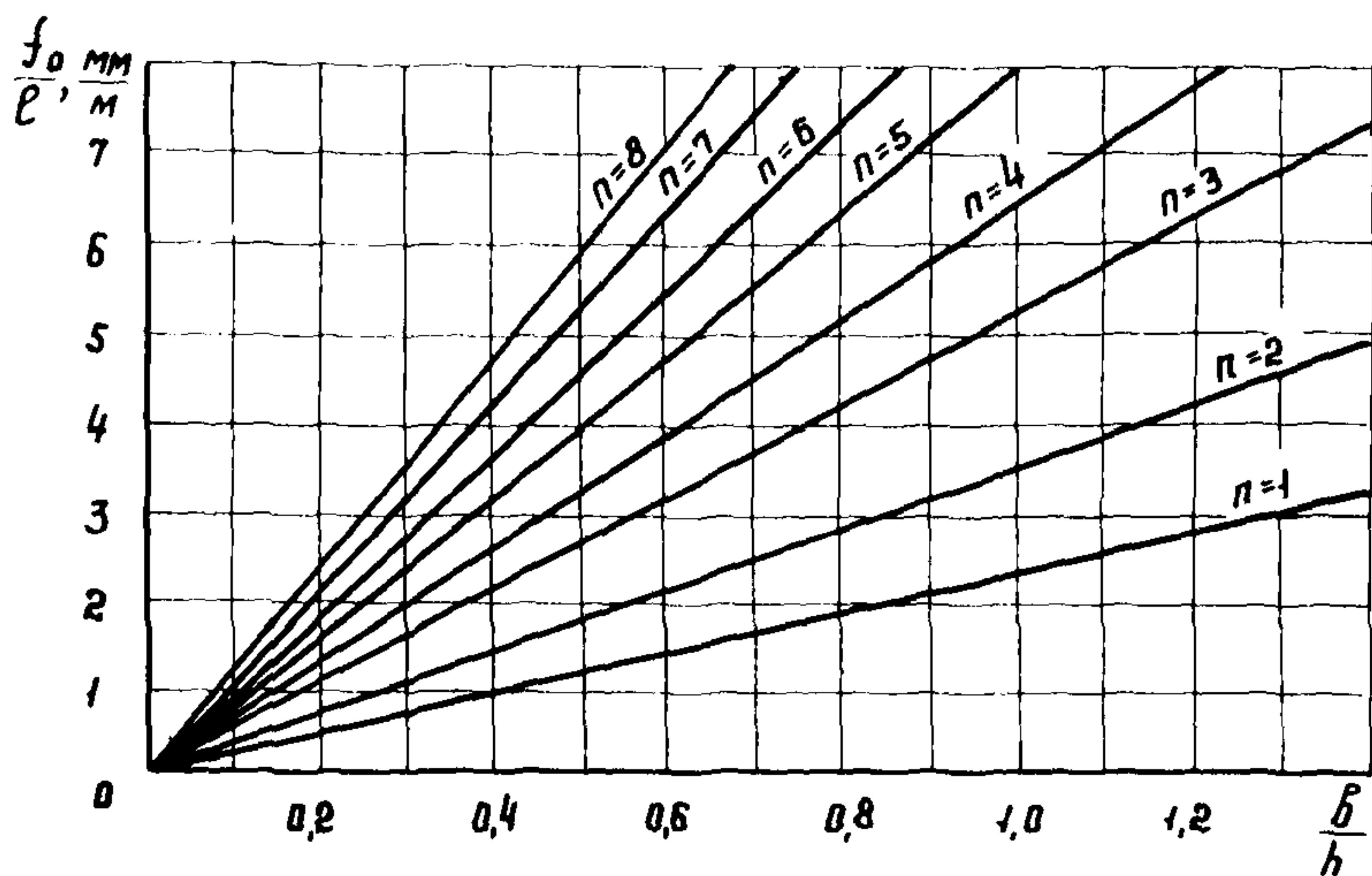


Рис. I4. Номограмма для определения размеров зон нагрева (в) при правке саблевидности листа и изгиба элементов в плоскости полок

– ширина основания клина  $b$  определяется по номограмме, приведенной на рис.I4, в зависимости от отношения  $f_0/l$  и количества нагреваемых зон  $n$  ;

– по длине деформируемого элемента зон нагрева расположить равномерно с шагом(см. рис.II)

$$a = \frac{l}{n+1}.$$

4.10. Предельно допустимая ширина основания клина  $b$  должна приниматься в зависимости от толщины листа по табл.8.

4.11. Если ширина основания клина  $b$  , определяемая по номограмме, превышает предельно допустимую, то следует расположать рядом 2 или более клина, суммарная ширина основания которых равна ранее вычисленному значению  $b$  .

4.12. Для оценки точности выбранных режимов правки следует ее производить, начиная нагрев в зоны, ближайшей к середине элемента.

П р и м е ч а н и е. Порядок последовательного нагрева зон (при  $n=3$ ) указан на рис.IIб цифрами.

4.13. Рекомендуется после нагрева первой зоны и охлаждения ее замерить остаточный прогиб  $f_1$  и сравнить его с теоретическим  $f_0$  , который определяется по номограмме на рис.I5 в зависимости от стрелки выгиба элемента  $f_0$  и количества нагреваемых зон  $n$  .

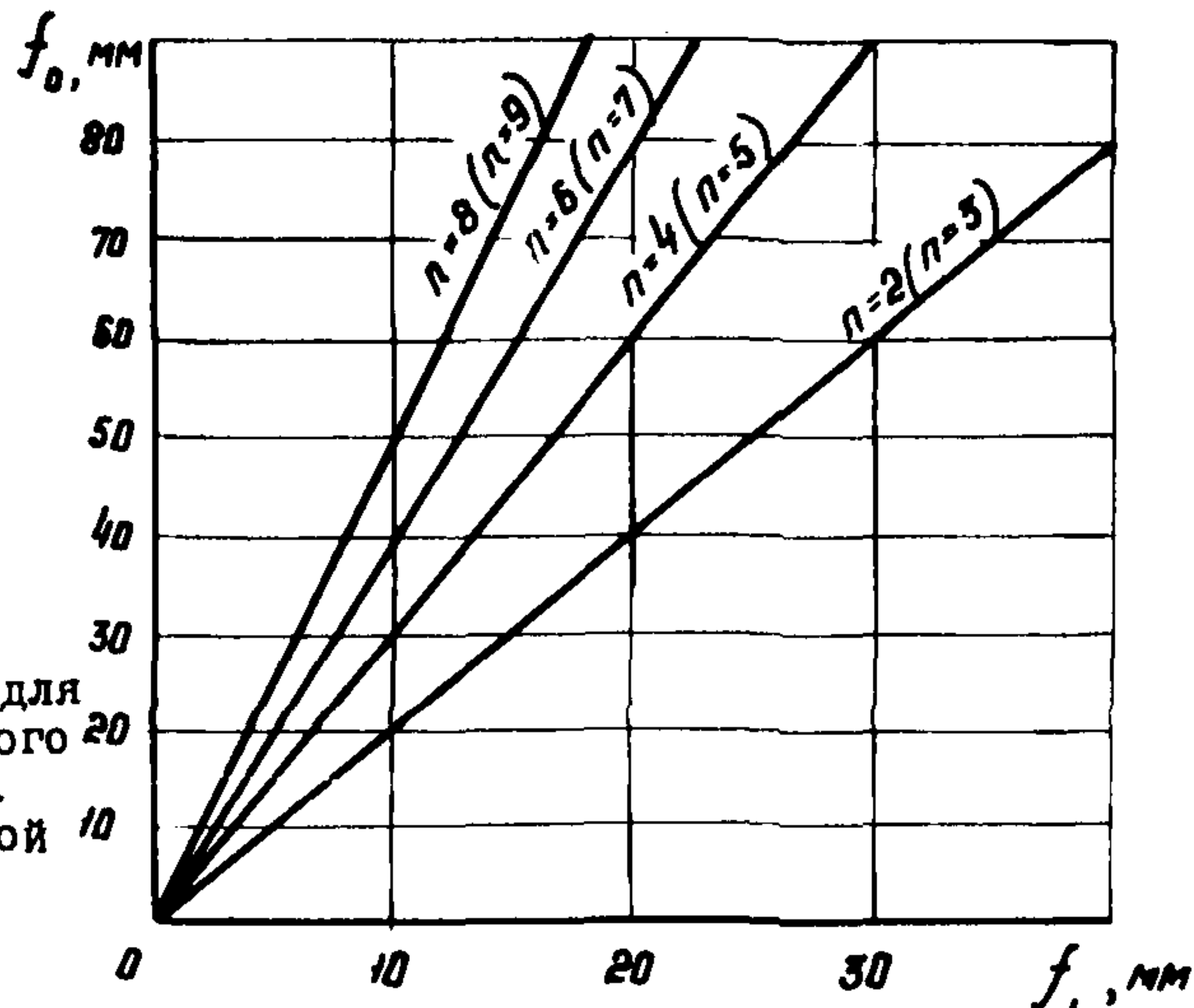


Рис.I5. Номограмма для определения расчетного остаточного прогиба  $f_1$  от нагрева первой зоны

Т а б л и ц а 8

Материал	Наибольшая ширина основания клина при толщине листа в мм					
	6	10	14	18	20	30
Сталь углеродистая	50	80	120	145	160	240
Сталь низколегированная	40	60	85	110	120	180

П р и м е ч а н и е. Предельная ширина основания клина принята из условия устойчивости свободной кромки листа под действием сжимающих напряжений, возникающих в процессе нагрева.

Если расхождение между  $f$  и  $f_1$  составляет не более 5%, то следует продолжить правку согласно выбранному режиму.

Если расхождение между  $f$  и  $f_1$  более 5%, то следует осуществить корректировку режима правки, т.е. увеличить или уменьшить ширину основания клиньев. По номограмме рис. I6 в зависимости от отношения  $f_1/f$  и выбранного равнене отношения  $b/p$  определить уточненное значение ширины основания клина  $b_1$ .

4.14. При правке саблевидности листов с высотой сечения 250 мм следует выбранную по номограмме (см.рис.I4) ширину основания клина  $b$  умножить на коэффициент 0,8.

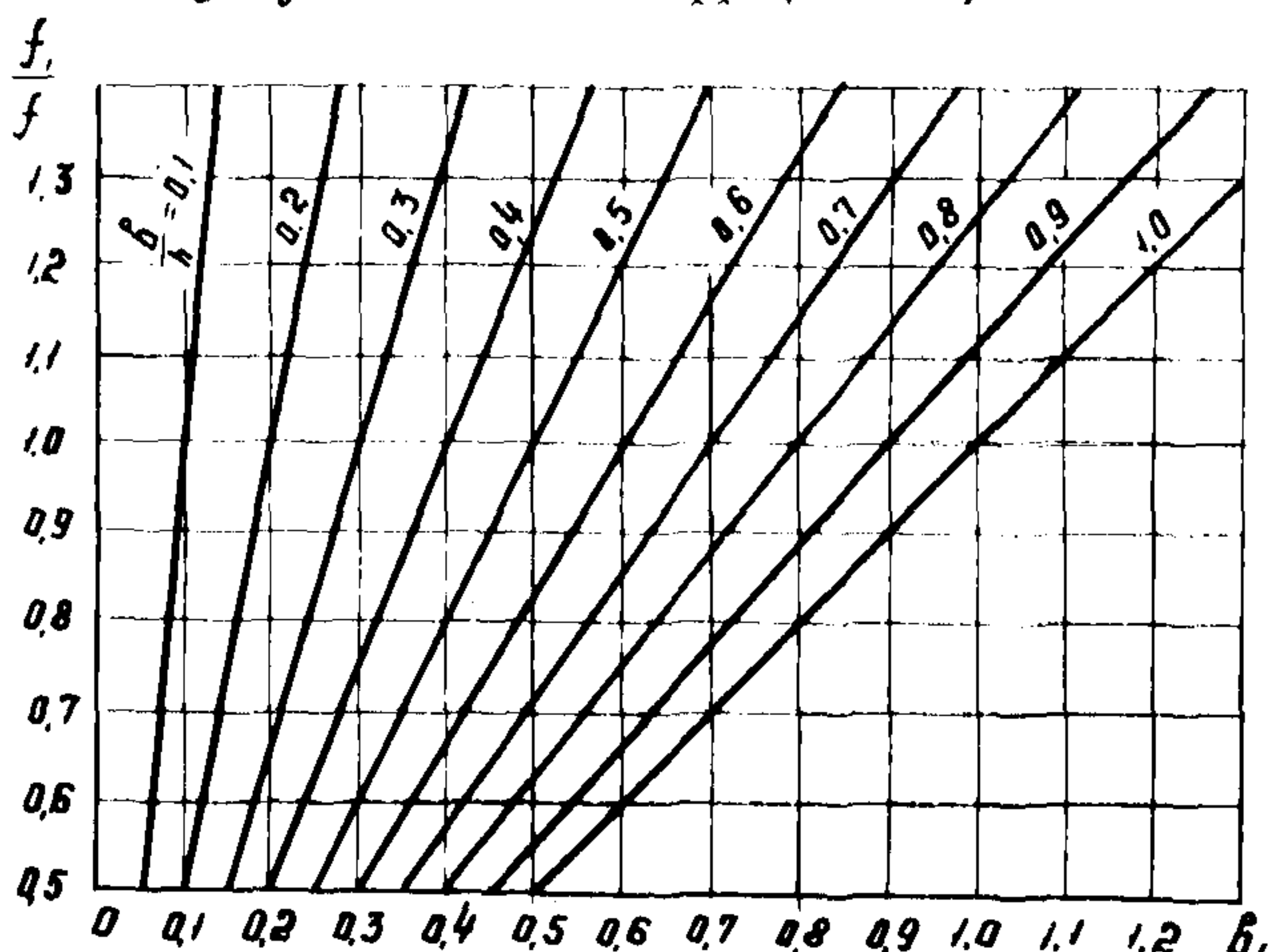


Рис. I6. Номограмма для корректировки режимов правки элементов конструкций

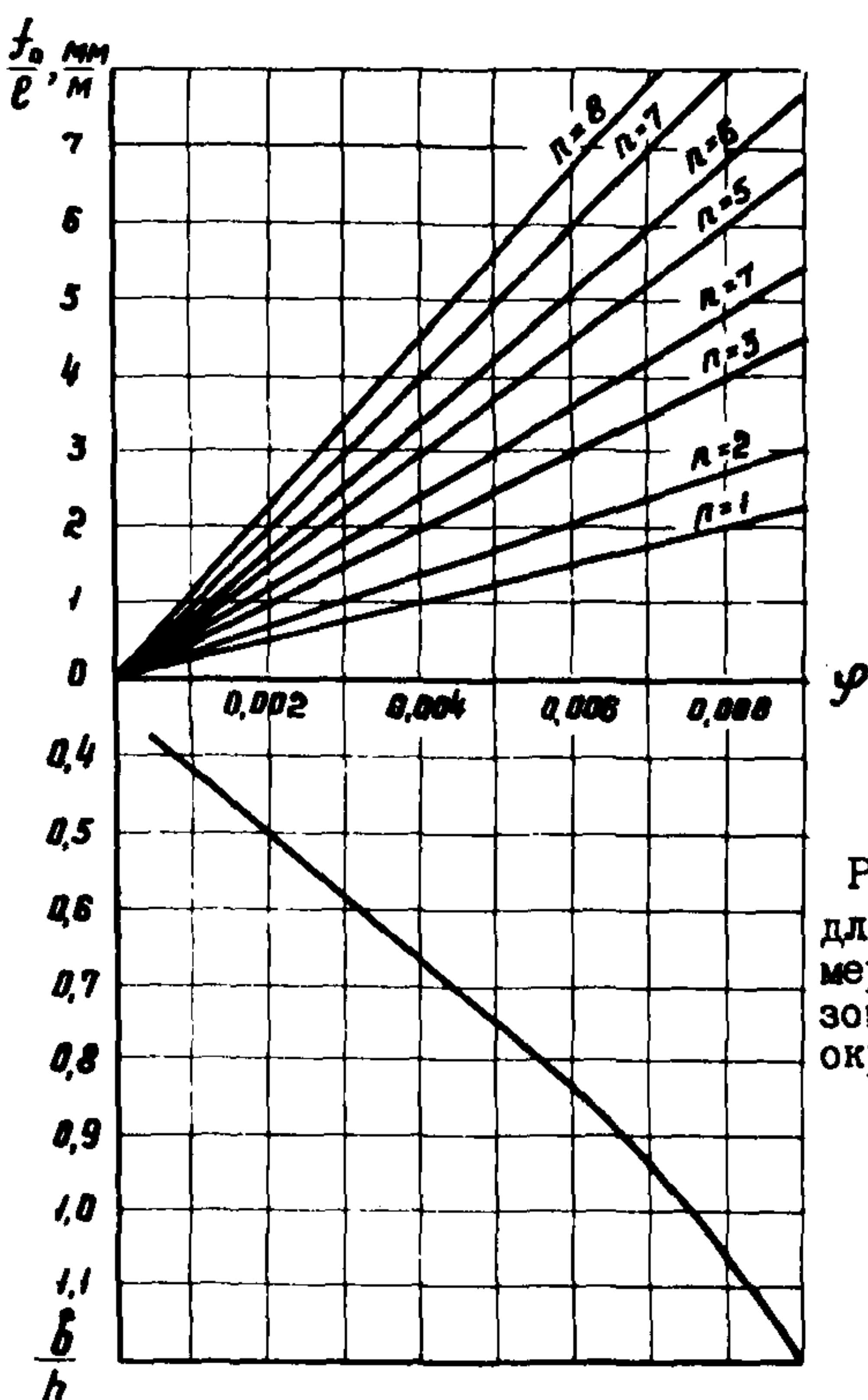


Рис. I7. Номограмма для определения размеров нагреваемой зоны в виде полуокружности

4.15. При правке саблевидности узких листов ( $h$  не более 150 мм) зоны нагрева целесообразно располагать в виде полуокружности (см. рис. IIв) с радиусом  $R$

4.16. Режимы правки нагревом зон в виде полуокружности рекомендуется определять по номограмме, приведенной на рис. I7 в следующей последовательности:

- определяется необходимое количество зон нагрева по номограмме на рис. I4;
- в зависимости от отношения  $f_0 / l$  и количества зон нагрева  $n$  по номограмме определяется угол поворота сечения  $\varphi$ , по которому устанавливаются размеры (диаметр полуокружности  $b$ ) зон нагрева.

**П р и м е ч а н и е.** В случае необходимости корректировку режимов правки производить в соответствии с указаниями п. 4.13.

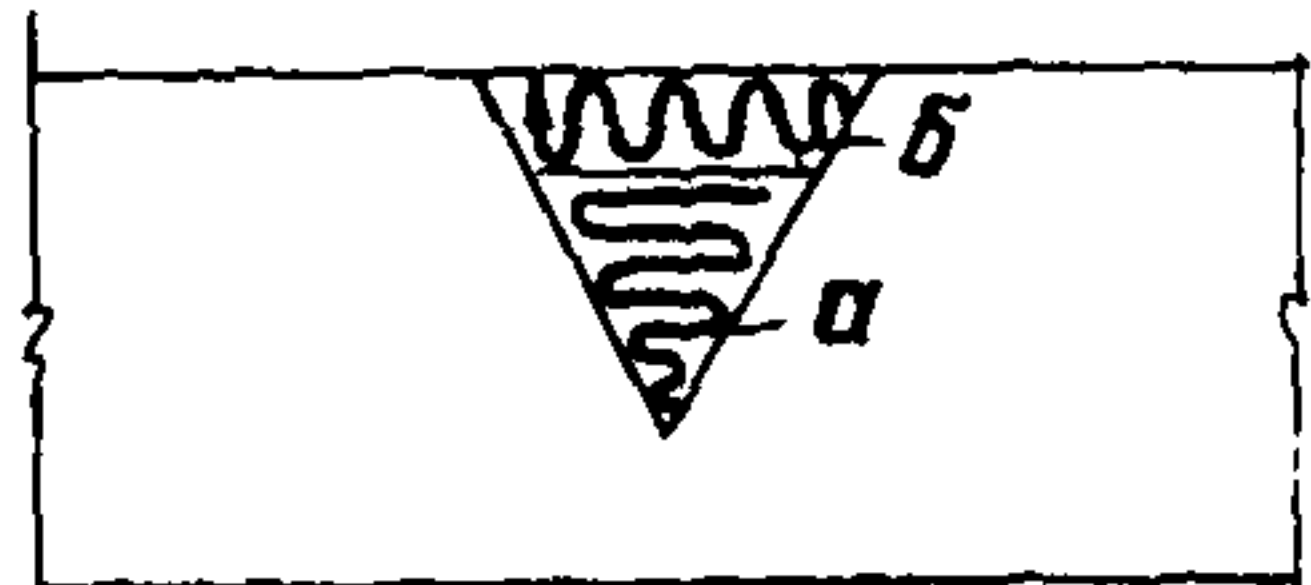


Рис.18. Ступенчатый нагрев клина:  
а и б - последовательно нагреваемые части

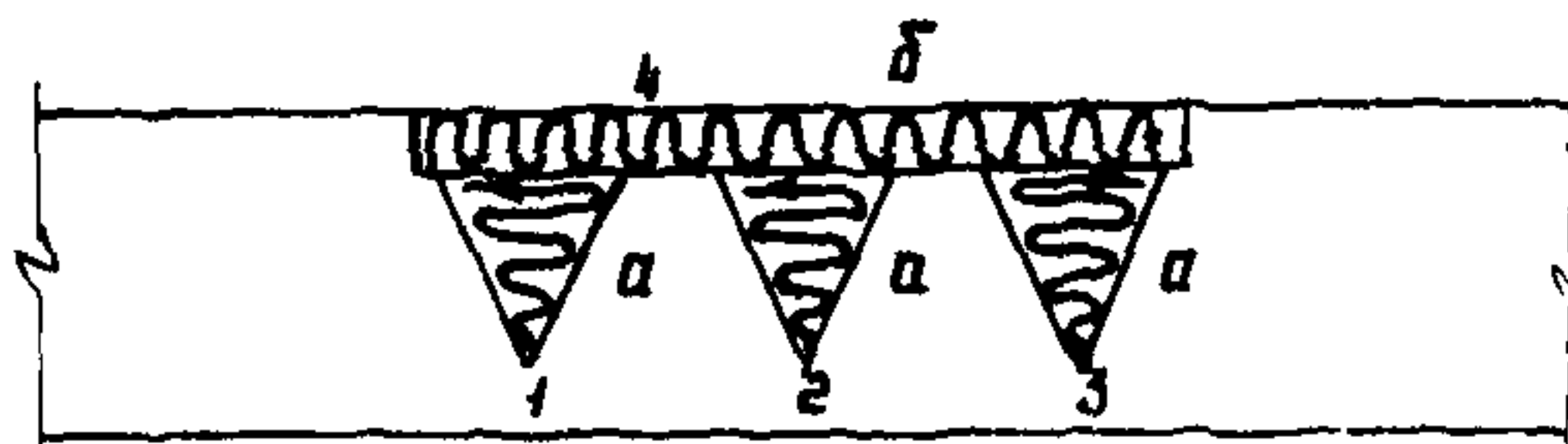


Рис.19. Нагрев гребенкой:  
а и б - последовательно нагреваемые части

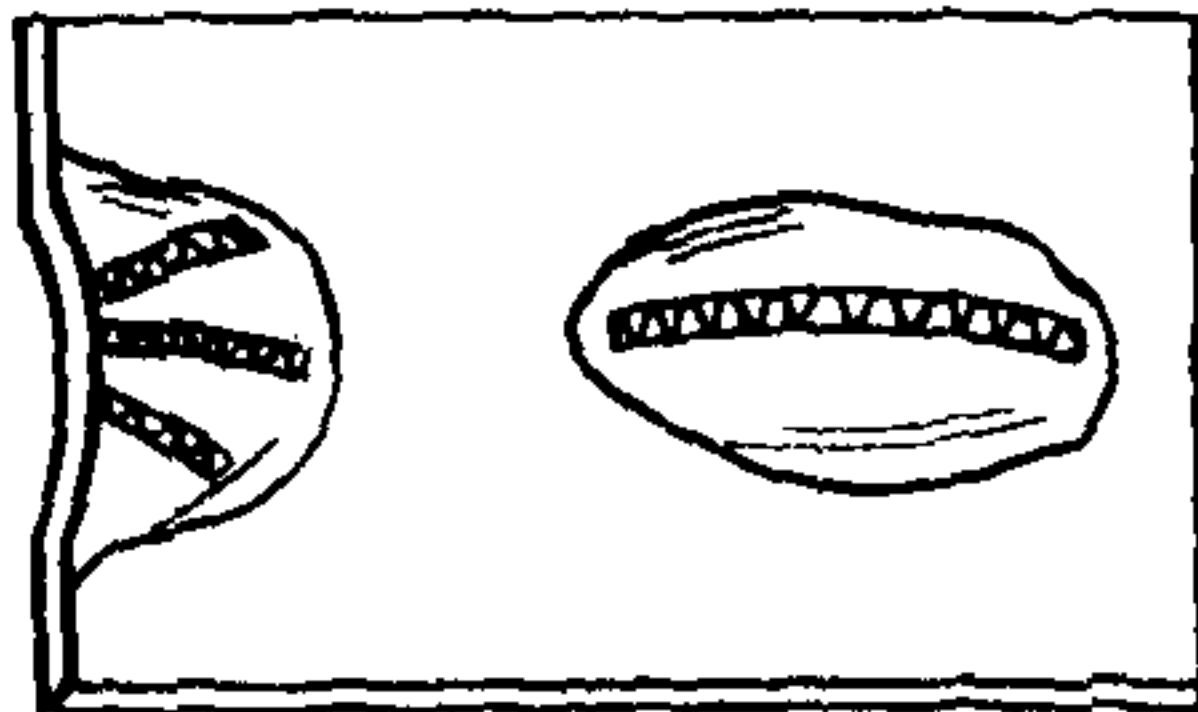


Рис.20. Правка выпучин листовой стали нагревом полос

4.17. При узких листах или наличии значительных остаточных деформаций рекомендуется применять ступенчатый способ нагрева клина в следующей последовательности:

- нагреть часть "а" (рис.18) от вершины к основанию;
- убрать горелку и подождать остывания нагретой части до исчезновения свечения металла;
- нагреть часть "б".

При нагреве нескольких клиньев, расположенных рядом, часть "б" принимается для них общей (рис.19) - нагрев гребенкой.

На рис.19 цифрами указан порядок нагрева элементов гребенки, а стрелками - направление движения горелки.

4.18. При толщине листа более 20 мм во избежание образования деформаций в плоскости, перпендикулярной плоскости листа, нагрев рекомендуется вести одновременно двумя горелками с обеих сторон клина или полосы; в случае, когда производится нагрев узкой полосы по кромке листа, можно пользоваться одной горелкой.

4.19. Термическую правку выпучин листовой стали (рис.20) при толщине металла до 14 мм, следует осуществлять согласно указаниям (пп.раздела 7), а при толщине выше 14 мм - п.4.1.

4.20. Стрелку прогиба после термической правки выпучин следует измерять после полного остывания металла.

4.21. Соединения с "домиком", имеющие стрелку перелома в стыке, превышающую 0,1 толщины полотнища (но не более 2 мм) на базе измерения 400 мм, допускается править нагревом швов. В конструкциях, изготовленных из термически упрочненных сталей при правке "домиков" часть шва, расположенную на выпуклой стороне стыка, следует удалить воздушно-дуговой строжкой, зачистить и заварить вновь.

П р и м е ч а н и е. Ввиду большой трудоемкости правки "домиков" рекомендуется уделять особое внимание созданию перед сваркой предварительного угла перелома.

## 5. ПРАВКА ГРИБОВИДНОСТИ И ПЕРЕКОСА ПОЛОК

5.1. Термическую правку грибовидности следует осуществлять с помощью автомата АТПГ-2М (приложение 7) или ручным способом путем нагрева полосы или двух смежных полос, расположенных на гребне (рис.21).

5.2. Термическую правку перекосов производят либо нагревом полос на полке (рис.22), либо на стенке балок (рис.23).

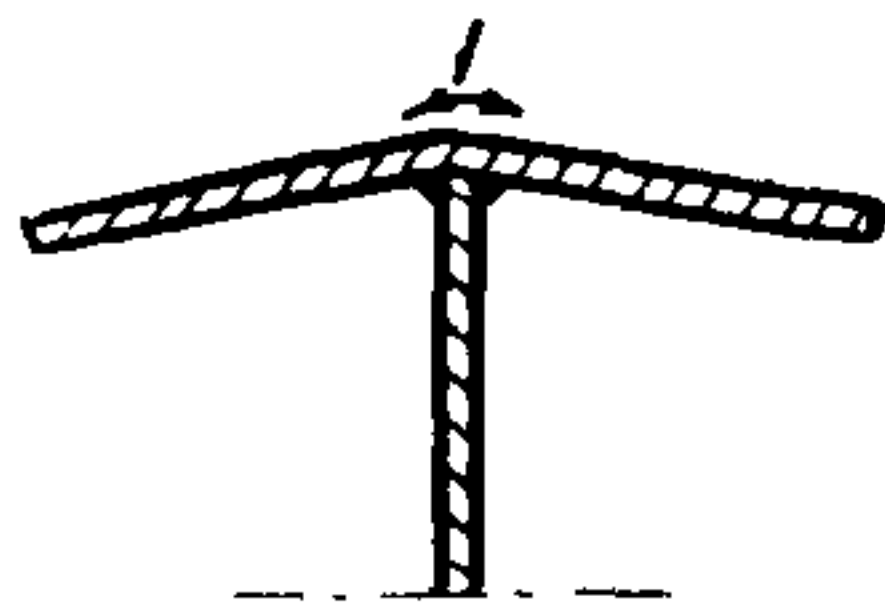


Рис.21. Правка грибовидности нагревом полосы:  
I - зона расположения полосы

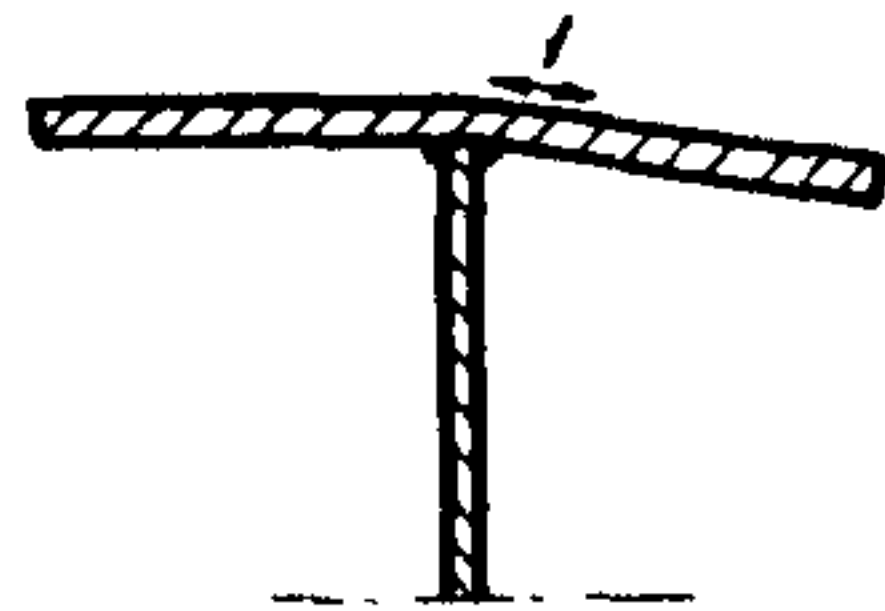


Рис.22. Правка перекоса и грибовидности нагревом полосы на полке:  
I - зона расположения полосы

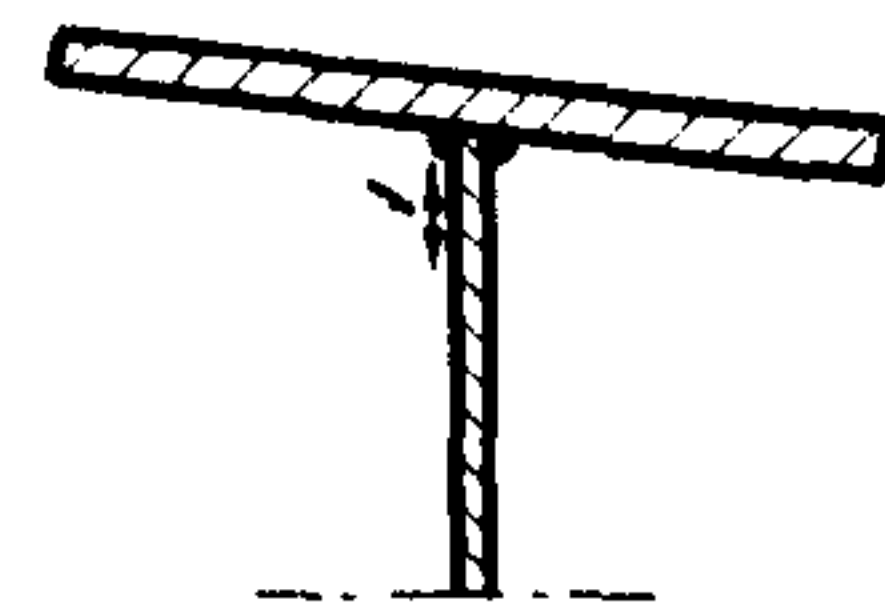


Рис.23. Правка перекоса полок нагревом полос на стенке:  
I - зона расположения полосы

5.3. Характеристики нагреваемых полос определяют по графикам, приведенным на рис. I0 и II, и указаниям п.4.1 настоящего Руководства.

5.4. Результаты правки грибовидности и перекоса поясов допускается проверять сразу же после нагрева полосы.

## 6. ПРАВКА ПРОДОЛЬНОГО ИЗГИБА

6.1. Основные виды деформаций изгиба продольной оси элементов можно разделить на изгиб элемента в плоскости стенки (рис.24) и полки (рис.25).

6.2. Для правки деформаций продольного изгиба следует применять зоны нагрева в виде клина, полуокружности и комбинации клина и прямоугольника.

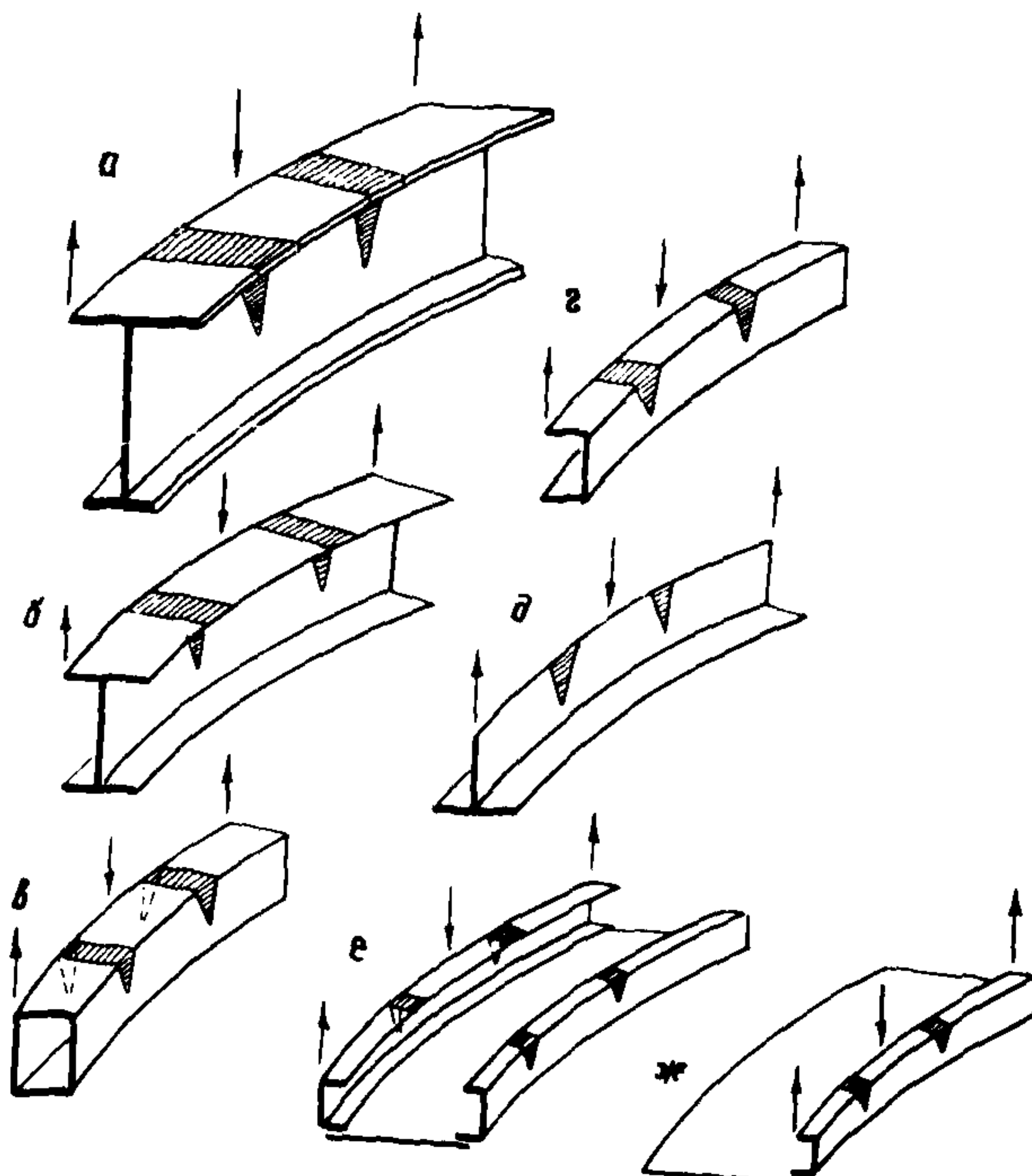


Рис.24. Линейные деформации элементов в плоскости стенки:  
а - несимметричный двутавр; б - симметричный двутавр; в - коробчатое сечение; г - сечение типа швеллер; д - тавровое сечение; е и ж - площадки

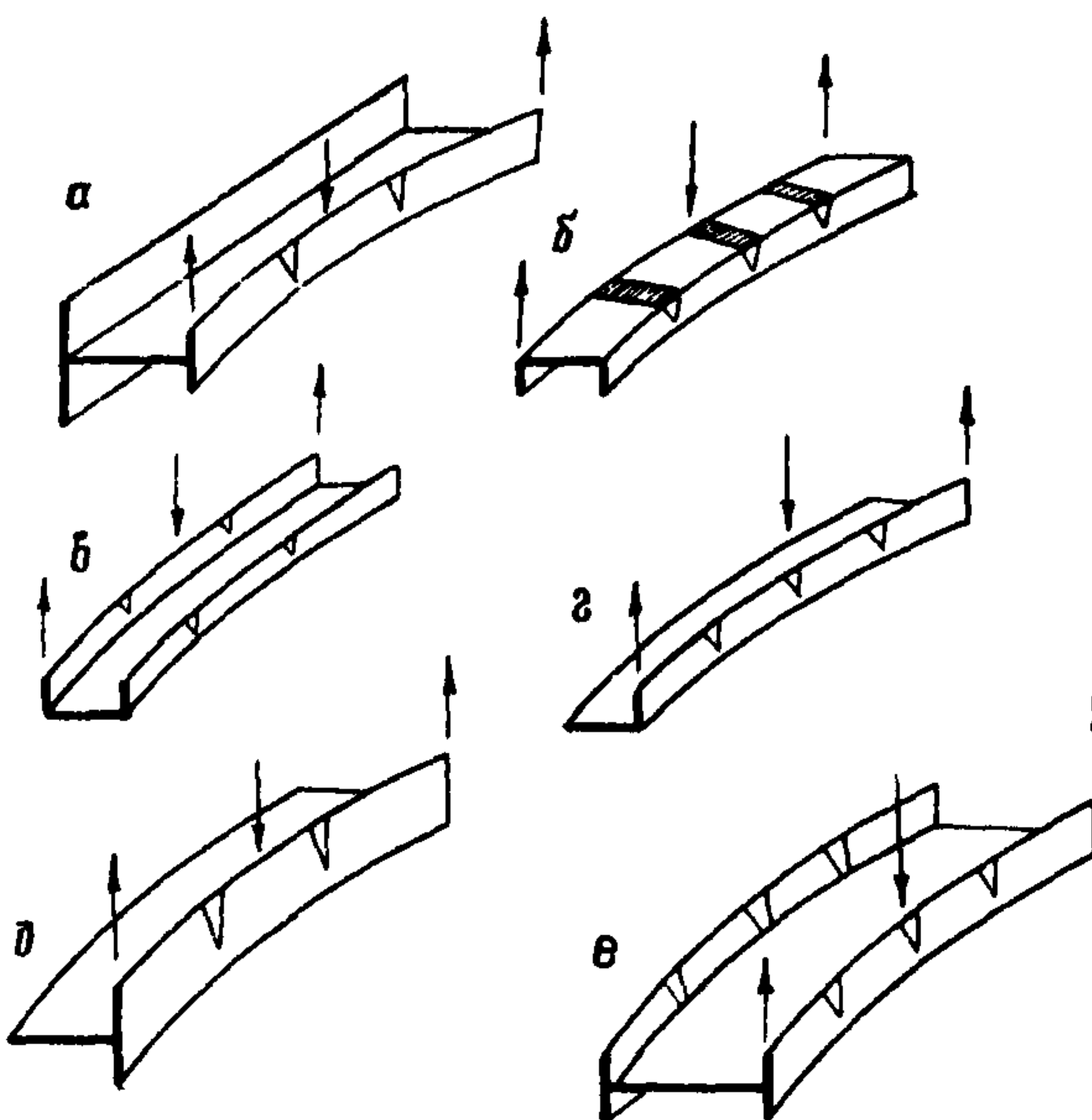


Рис.25. Линейный изгиб элементов в плоскости полок:  
 а - изгиб в плоскости одной полки; б - в - сечение типа швеллер; г - уголок; д - двутавр (изгиб в плоскости обеих полок)

6.3. При правке элементов, для которых необходим совместный нагрев клиньев и прямоугольников (см.рис.25) рекомендуется следующий порядок правки: вначале нагревают клинья, высота которых равна высоте элемента, затем прямоугольник, основание и высота которого соответственно равны основанию клина и ширине элемента. На рис.24-25 стрелками показано направление деформаций после правки.

6.4. Клины следует нагревать от вершины к основанию, а прямоугольник - перемещая горелку зигзагообразно вдоль элемента. При нагреве прямоугольника на широких полках следует использовать одновременно две горелки: порядок перемещения их показан на рис.26.

6.5. При наличии деформаций изгиба в двух взаимно перпендикулярных плоскостях режимы правки определять отдельно для каждой плоскости с учетом соответствующей величины деформаций. Правку следует вести, устранив деформации сначала в одной плоскости, а затем в другой, согласно выбранным режимам.

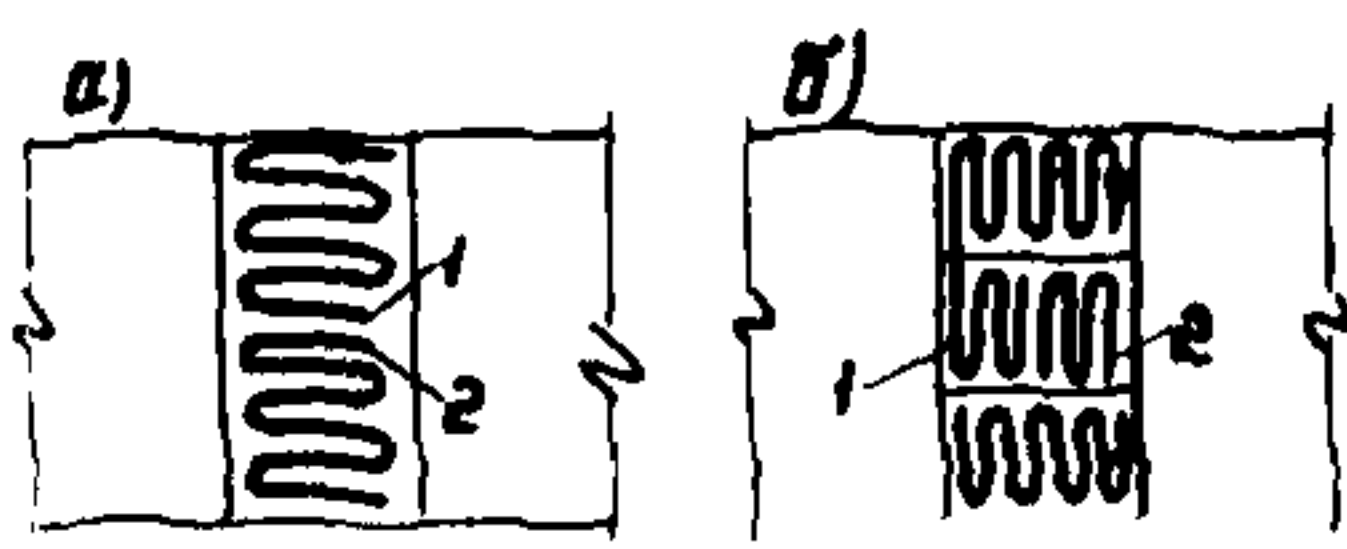


Рис.26. Последовательность движения горелок при нагреве прямоугольников на широких полках:  
1 и 2 - направление движения каждой горелки

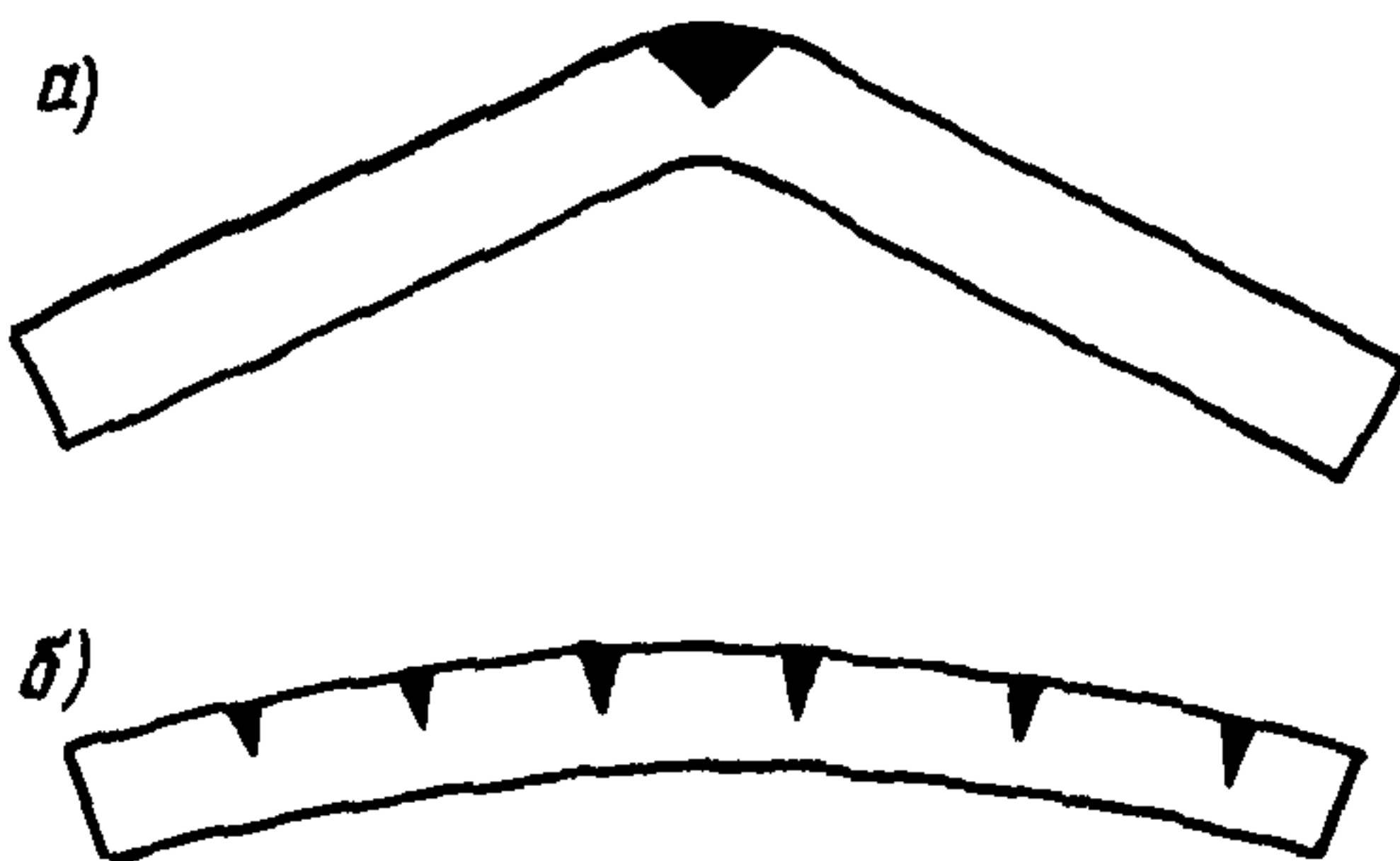


Рис.27. Термическая правка выгиба различной кривизны

6.6. Перелом элемента следует править нагревом широкого клина в месте перелома (рис.27а): если кривизна равномерно расположена вдоль длины элемента, то править следует нагревом нескольких узких клиньев, равномерно распределенных по длине (рис.27б) или нагревом лолосы (рис.28), определяя режим в соответствии с графиком на рис.29.

6.7. При правке линейных элементов, изогнутых в плоскости (рис.24, кроме рис.24б) и элементов таврового сечения (рис.25д) зону нагрева следует принимать в виде клина при ширине полок (стенки) более 150 мм или в виде полуокружности при ширине полок (стенки) менее 150 мм.

6.8. При правке элементов симметричного сечения высоту клина следует принимать равной  $2/3 h$  ( $h$  - высота сечения элемента). При правке элементов несимметричного сечения высоту клина определять из условия, что отношение  $\frac{J_H}{J} = 0,6$ , где  $J_H$  - площадь зоны нагрева по поперечному сечению элемента;

$J$  - площадь всего сечения элемента.

6.9. Необходимое количество зон нагрева следует определять в зависимости от стрелки выгиба и длины элемента по номограмме, приведенной на рис.14.

6.10. При изгибе линейных элементов в плоскости стенки (рис.24) рекомендуется размеры нагреваемых зон в виде клиньев

определять по номограмме, приведенной на рис.30 в зависимости от отношения  $f_0/\ell$  и количества зон нагрева  $n$ .

6.II. Предельная допустимая ширина основания клина  $b$  принимается в зависимости от толщины листа по таблице 8.

6.I2. При изгибе линейных элементов в плоскости полок (рис.25) рекомендуется количество и размеры клиньев определять согласно указаниям пп.4.7 - 4.13.

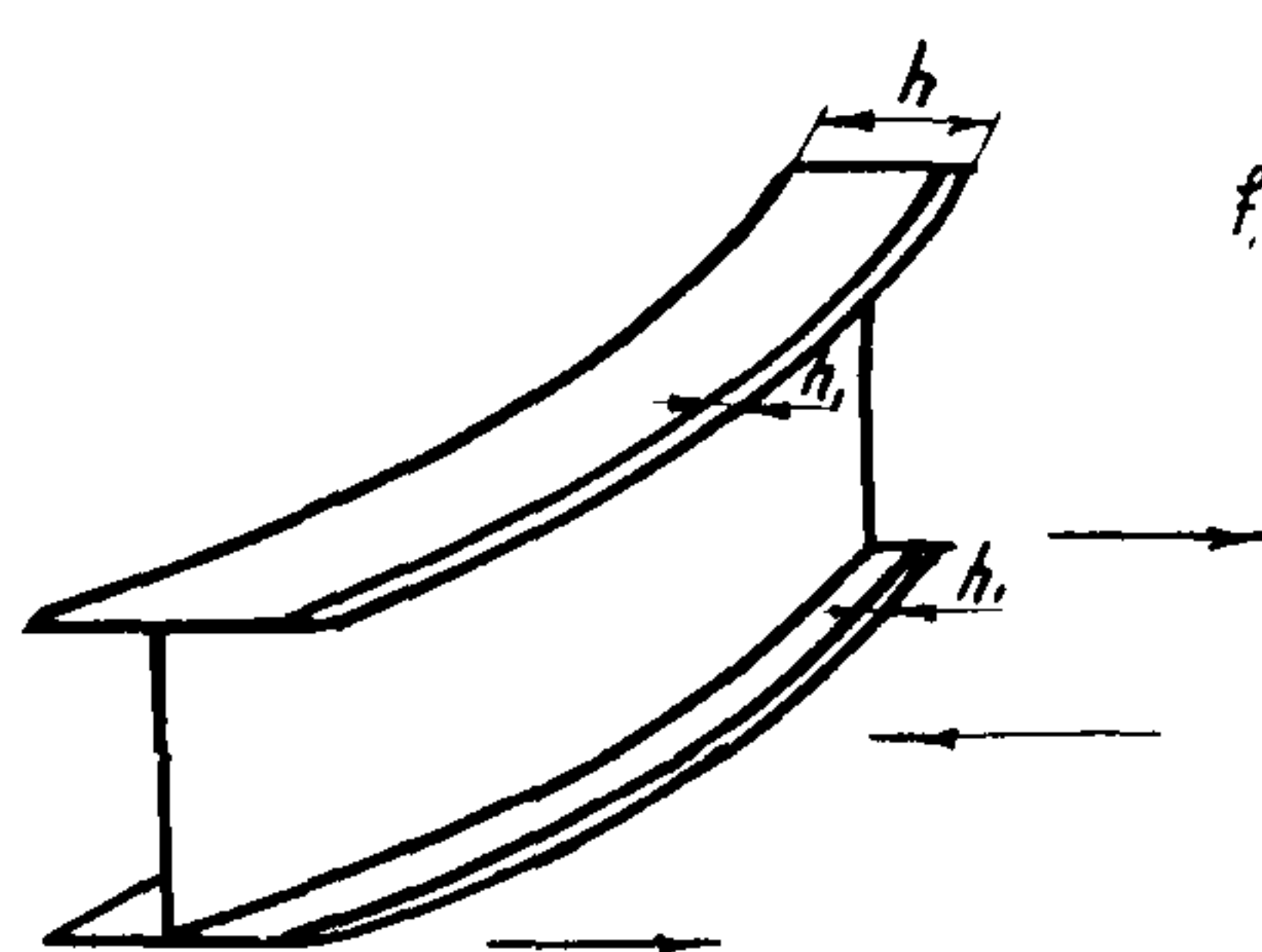


Рис.28. Правка выгиба нагревом полосы

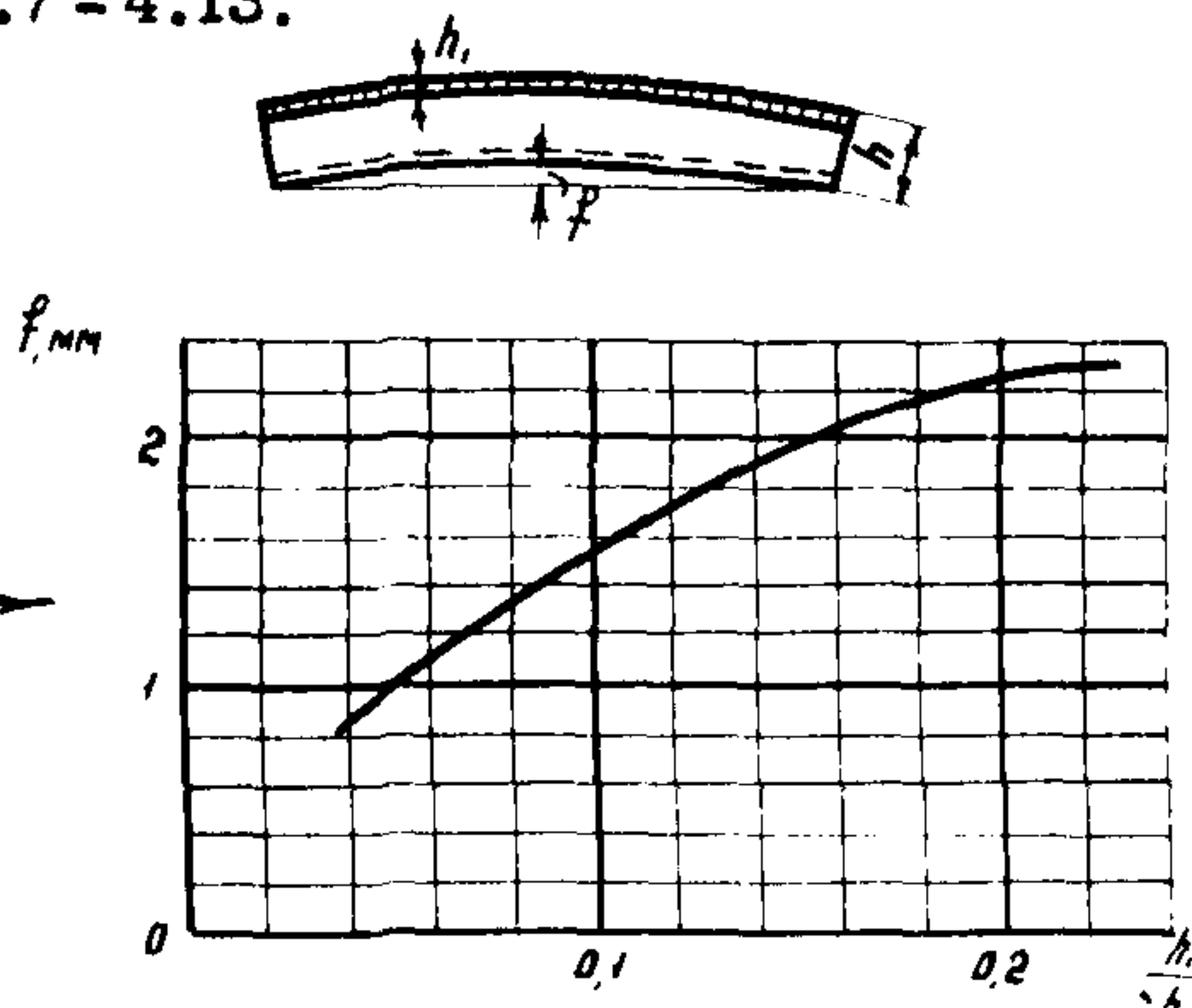


Рис.29. График зависимости остаточного прогиба  $f$  от отношения  $h_0/h$ ,  $h_1$  и  $h$  соответственно ширине полосы нагрева и ширина листа

6.I3. При правке элементов с узкими полками (ширина полок не более 150 мм) при изгибе в плоскости полок зоны нагрева целесообразно принять в виде полуокружности, размеры которой определяются в соответствии с указаниями пп.4.15 - 4.16.

6.I4. При нагреве элементов с шириной полок не более 250 мм при изгибе в плоскости полок следует выбранную по номограмме рис.14 ширину основания клина умножить на коэффициент 0,8.

6.I5. Рекомендуется при определении режимов правки конструкций и элементов из стали класса С60/45 использовать графики и номограммы, приведенные выше. При этом выбранную ширину основания зоны нагрева  $b$  следует умножить на коэффициент 1,2.

6.I6. Стрелку выгиба разрешается измерять после выравнивания температуры по сечению элемента.

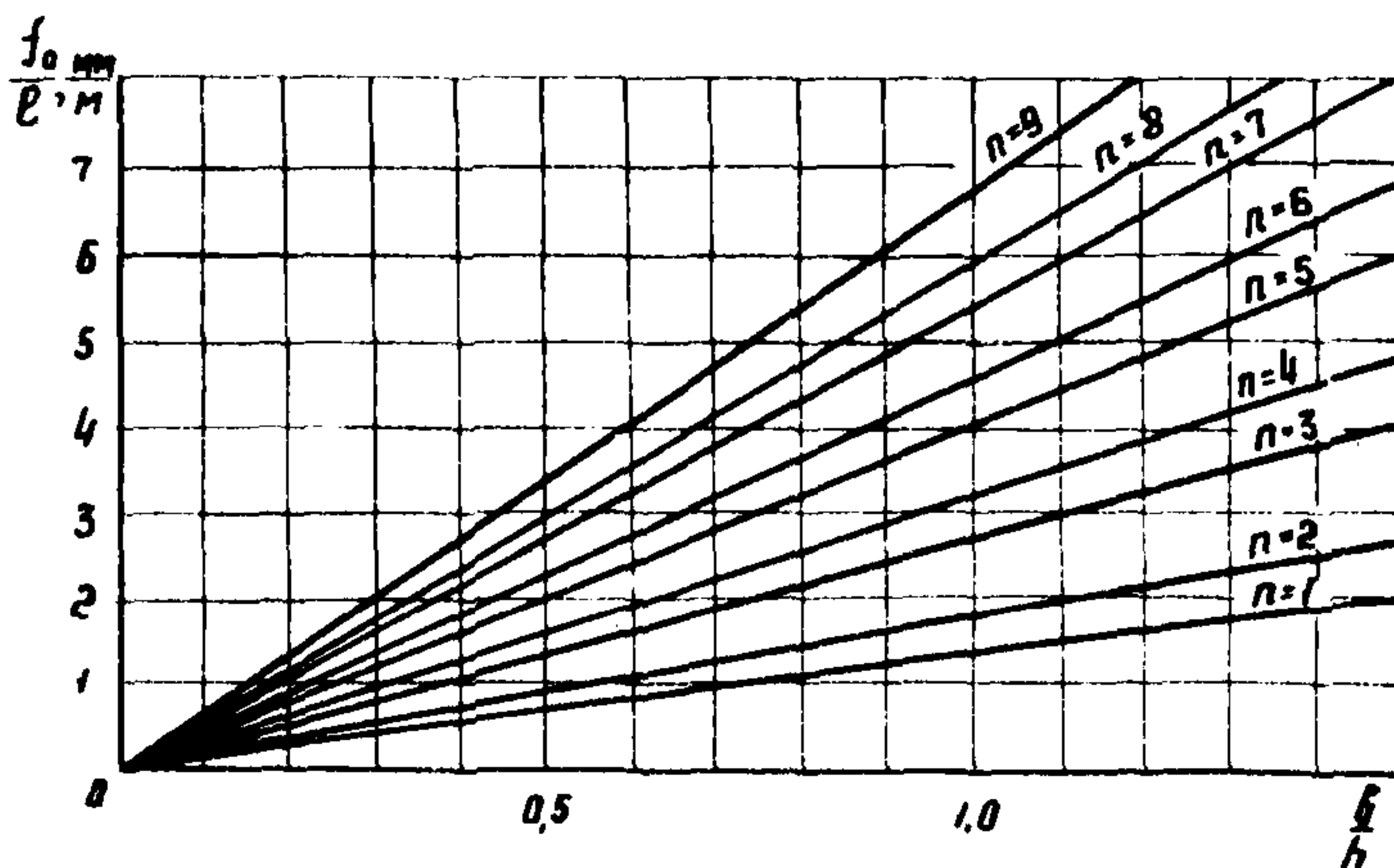


Рис.30. Номограмма для определения размеров нагреваемых зон в виде клина при правке деформаций изгиба в плоскости стенки элемента

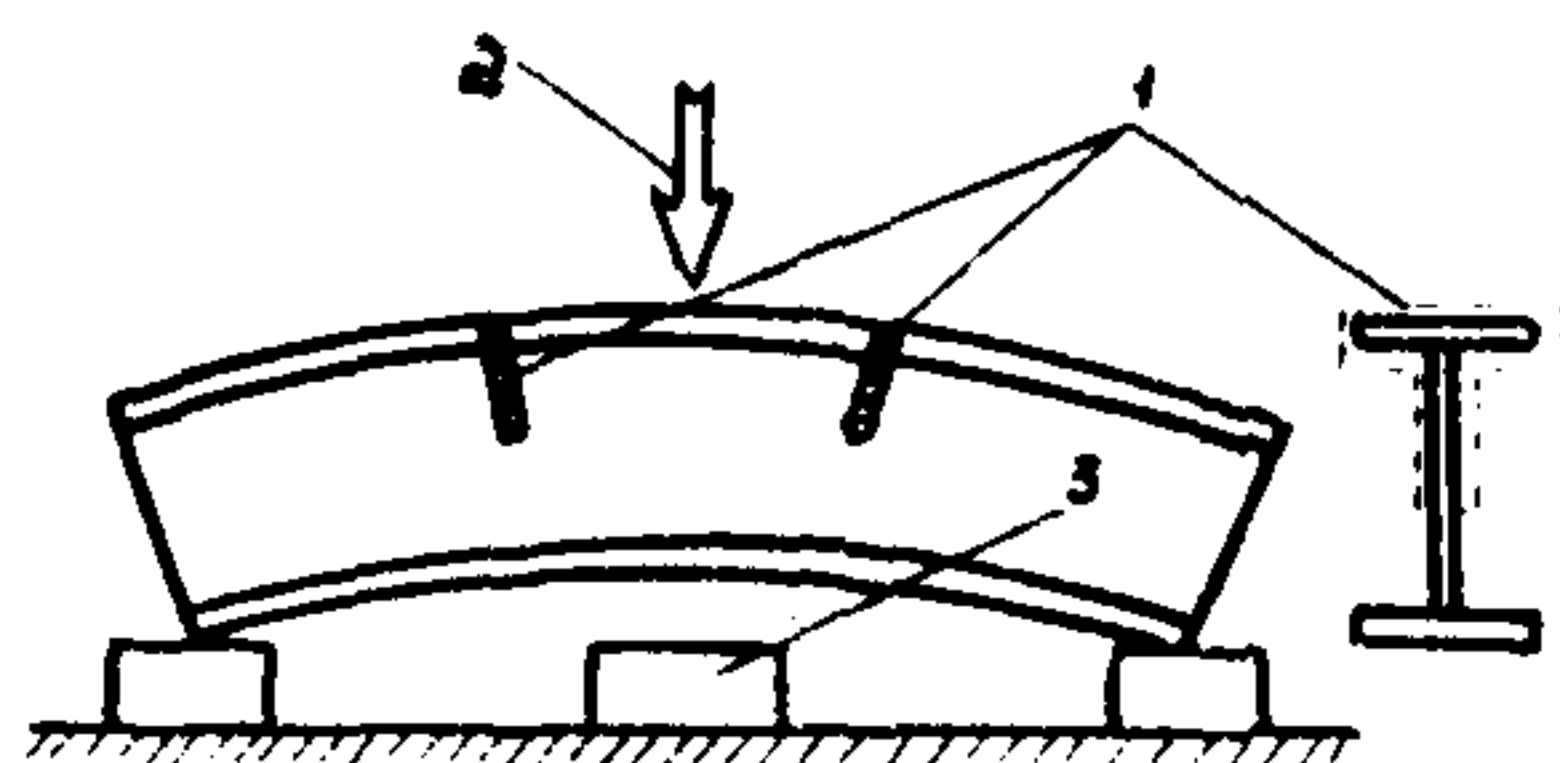


Рис.31. Термомеханическая правка выгиба оси элемента:

1 - полосы нагрева; 2 - груз, устанавливаемый до начала нагрева; 3 - страхующая подкладка

6.17. При термомеханической правке выгиба нагревают поперечную полосу с выпуклой стороны на половине высоты элемента (рис.31). Следует нагревать одновременно всю полосу одной или двумя горелками – в зависимости от длины полосы. Для того, чтобы под воздействием груза не образовалась остаточная деформация в другую сторону, необходимо устанавливать страховую подкладку 3 (см.рис.31).

## 7. ПРАВКА ХЛОПУНОВ

7.1. Хлопуны следует править термическим или термомеханическим методом только после завершения правки всех других видов остаточных деформаций элемента.

7.2. Хлопуны в стенах, металл которых имеет предел текучести до  $40 \text{ кгс}/\text{мм}^2$  включительно, рекомендуется править термическим методом, а выше  $40 \text{ кгс}/\text{мм}^2$  – термомеханическим. Допу-

сается определять стрелку хлопуна с вогнутой стороны стенки путем измерения зазора между стенкой и натянутой струной.

7.3. Центр хлопуна и его границы намечаются мелом на той стороне стенки, с которой будет осуществляться нагрев.

Если на стенке имеется два или более хлопунов, то центр и границы размечают для каждого из них.

7.4. Рекомендуется для нагрева стенки применять ацетилено-кислородные горелки с наконечниками номер 6 и более (см. приложение I).

При наличии ацетилено-кислородных горелок с меньшими номерами наконечников, или горелок, работающих на газах-заменителях ацетилена, рекомендуется нагревать стенку одновременно двумя или несколькими горелками с факелами, сведенными в одну точку.

7.5. При термической правке стенку следует нагревать с выпуклой стороны.

7.6. Хлопун следует править нагревом полос, направленных радиально от его центра. Нагрев каждой полосы начинают с центра хлопуна, каждую следующую полосу следует нагревать после полного остывания металла.

7.7. Режимы термической правки, т.е. ширину  $b$ , длину  $\ell$  и количество  $N$  полос нагрева, рекомендуется определять в зависимости от измеренной стрелки хлопуна  $f$ , длина отсека  $h$  и толщина стенки  $\delta$  для балки, имеющей ребра жесткости - по номограммам, приведенным на рис.32а и 33а для балки, не имеющей ребра жесткости - по номограммам, приведенным на рис.34а и 35а.

П р и м е ч а н и е. На каждой номограмме пунктирной линией изображен способ определения размеров и количества полос нагрева по заданным исходным данным: тип стали (углеродистая или низколегированная), сторона отсека и толщина стенки, стрелка хлопуна. Примеры расположения на поверхности стенки полос, количество и размеры которых были получены из номограмм (см.пунктирные линии), приведены на рис.32б - 35б.

7.8. Ширина полосы нагрева  $b$ , определяемая по номограмме, не должна превышать критической величины  $b_{kp}$ , полученной по этой же шкале  $b$ , против заданного значения толщины стенки.

Если пересечение А пунктирных линий (см.рис.32а и 35а) попадает точно на кривую с обозначением количества  $N$  полос нагрева, то следует принимать  $b = b_{kp}$ . В противном случае вертикальную пунктирную линию продолжают до пересечения Б с ближайшей кривой с большим значением  $N$ , откуда проводя

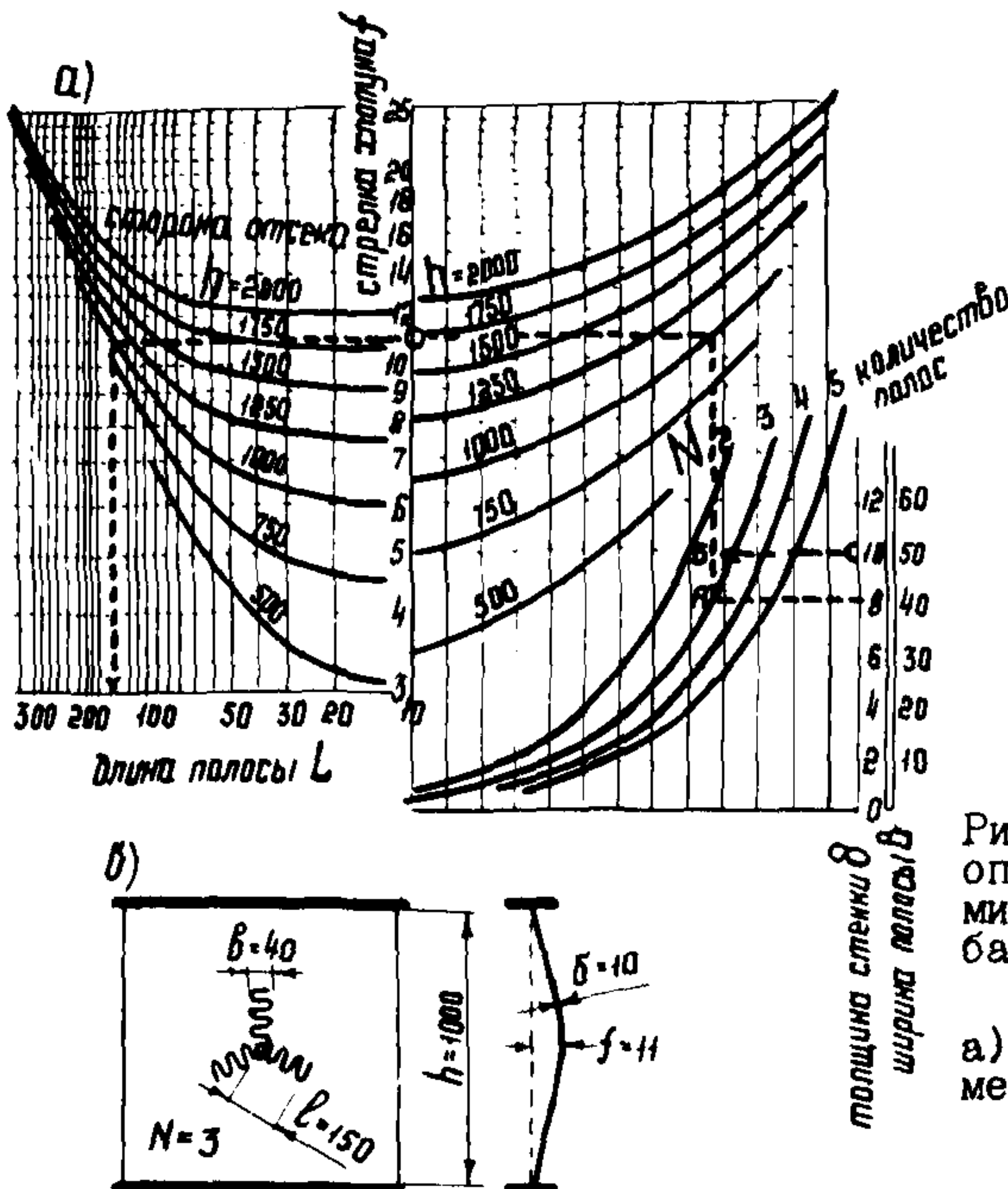


Рис.32. Номограмма для определения режима термической правки стенки балки, изготовленной из углеродистой стали:  
а) номограмма; б) пример определения режима правки

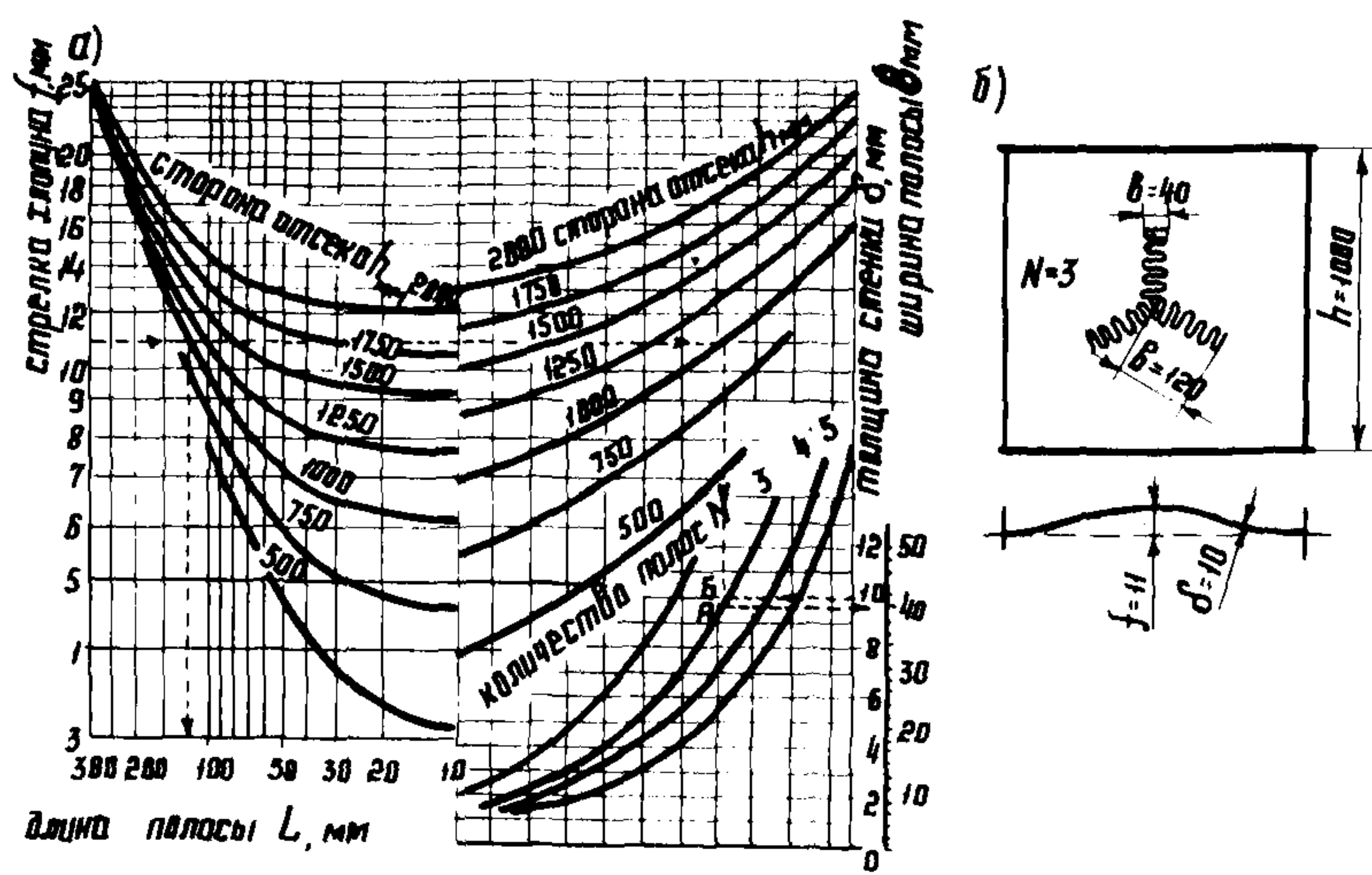


Рис.33. Номограмма для определения режимов правки стенки балки, изготовленной из низколегированной стали:  
а - номограмма; б - пример определения режима правки

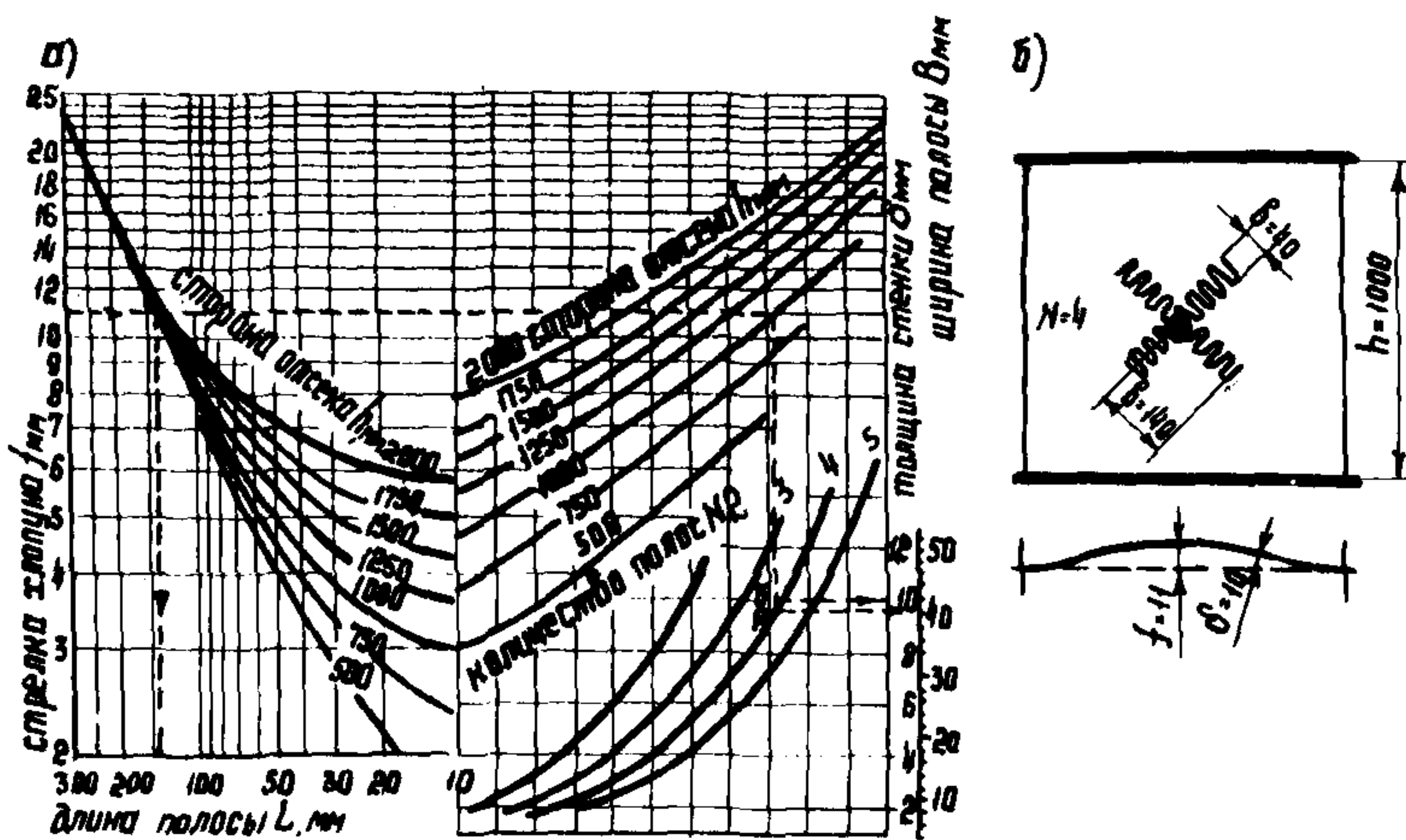


Рис.34. Номограмма для определения режимов термической правки стенок балок без ребер жесткости, изготовленной из углеродистой стали:

а - номограмма; б - пример определения режима правки

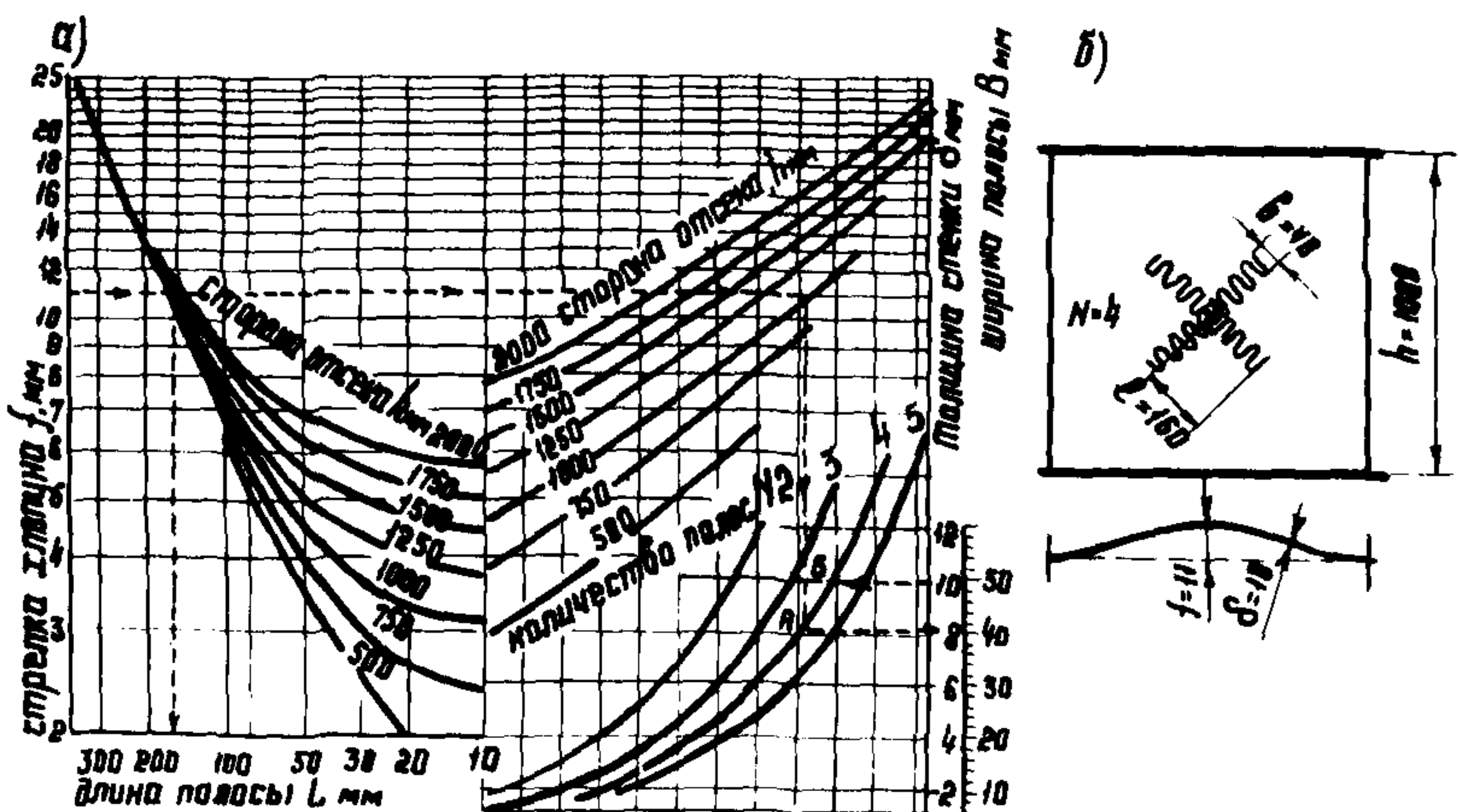


Рис.35. Номограмма для определения режимов термической правки стенок балок без ребер жесткости, изготовленной из низколегированной стали:

а - номограмма; б - пример определения режима правки

горизонтальную пунктирную линию до шкалы  $b$ , определяют требуемое значение ширины полосы.

7.9. При соотношении стороны отсека с хлопуном, не превышающим 1,5, режим правки хлопуна определяют, исходя из размера большей стороны  $h$ . В противном случае режим правки назначают для каждой стороны отсека отдельно, располагая полученные номограммами полосы против соответствующей расчетной стороны отсека.

П р и м е ч а н и е. Например, для хлопунов с цилиндрической поверхностью (в балках без ребер жесткости), который можно представить как вписанный в прямоугольник со сторонами  $h$  и  $\infty$ , расчетной стороной является только  $h$ , так как при определяемое количество полос равно нулю. Следовательно, полосы нужно располагать перпендикулярно стороне  $h$  на равном друг от друга расстоянии.

7.10. В процессе правки рекомендуется контролировать величину усадки стенки следующим образом.

После остывания первой нагретой полосы определить с помощью линейки величину уменьшения стрелки хлопуна  $f_1$ , и сравнить ее с теоретической, равной

$$f_1^m = \frac{f - f_{\text{доп}}}{N},$$

где  $f$  — стрелка, измеренная до правки;

$f_{\text{доп}}$  — максимально допустимое выпучивание стенки;

$N$  — число полос нагрева, определенное по номограмме.

Если  $f_1 \geq f_1^m$ , то правку следует продолжать согласно определенному по соответствующей номограмме режиму.

Если  $f_1 < f_1^m$  (что может быть следствием высокого предела текучести металла стенки, наличия значительных растягивающих остаточных напряжений от предшествующей правки и др.), то следует изменить выбранный режим, увеличивая либо ширину полосы нагрева с соблюдением условия  $b \leq b_{kp}$  или увеличивая число нагреваемых полос  $N$ .

После остывания второй нагретой полосы, при необходимости, производится дальнейшая корректировка выбранного режима.

7.11. Режимы для термомеханической правки хлопунов в стенках балок с ребрами жесткости, изготовленных из термически упрочненных сталей, рекомендуется определять по приведенной на номограмме (рис.32 или 34); при этом полученная по номограмме величина  $b$  должна быть умножена на коэффициент 0,75.

7.12. При термомеханической правке хлопунов нагревом пятен их следует располагать в шахматном порядке вокруг центра хлопуна на расстоянии, не превышающем  $\ell$  (см.п.7.11). Диаметр пятен нагрева не должен превышать значений, приведенных в табл.9.

Т а б л и ц а 9

Вид стали	Диаметр пятен нагрева при толщине стенки, мм			
	8	10	12	14
Углеродистая	50	60	75	90
Низколегированная (горячекатаная)	40	50	65	75
Низколегированная (термически упрочненная)	40	50	60	70

Разрешается одновременно нагревать не свыше 4-5 наиболее удаленных друг от друга пятен. Нагрев новых пятен следует осуществлять после полного остывания ранее нагретых пятен.

7.13. При термомеханической правке нагрев стенки следует производить только после установки на ее выпуклую сторону (в центре или симметрично относительно центра хлопуна через распределющие прокладки) груза или какого-либо приспособления, препятствующего увеличению стрелки хлопуна за счет нагрева.

Величину механического усилия (вес груза, усилие от действия домкрата) следует подбирать опытным путем перед началом правки, исходя из условия, чтобы хлопун не был продавлен в обратную сторону.

7.14. Перед термомеханической правкой стенки с двояковыпуклыми хлопунами следует установить груз на центр одного их хлопунов, а под центром другого укрепить распорку, препятствующую его выпучиванию под действием груза.

7.15. При термомеханической правке допускается нагревать стенку с вогнутой стороны.

7.16. Режим термической правки выпущенного участка стенки в зоне монтажного стыка ("половинного" хлопуна) допускается определять по пп.7.7, 7.8 как для целого хлопуна. Определенное по nomogramme количество полос нагрева необходимо разделить пополам и расположить полосы радиально от центра хлопуна таким образом, чтобы крайние полосы не были параллельны свободной кромке стенки (см.рис.21).

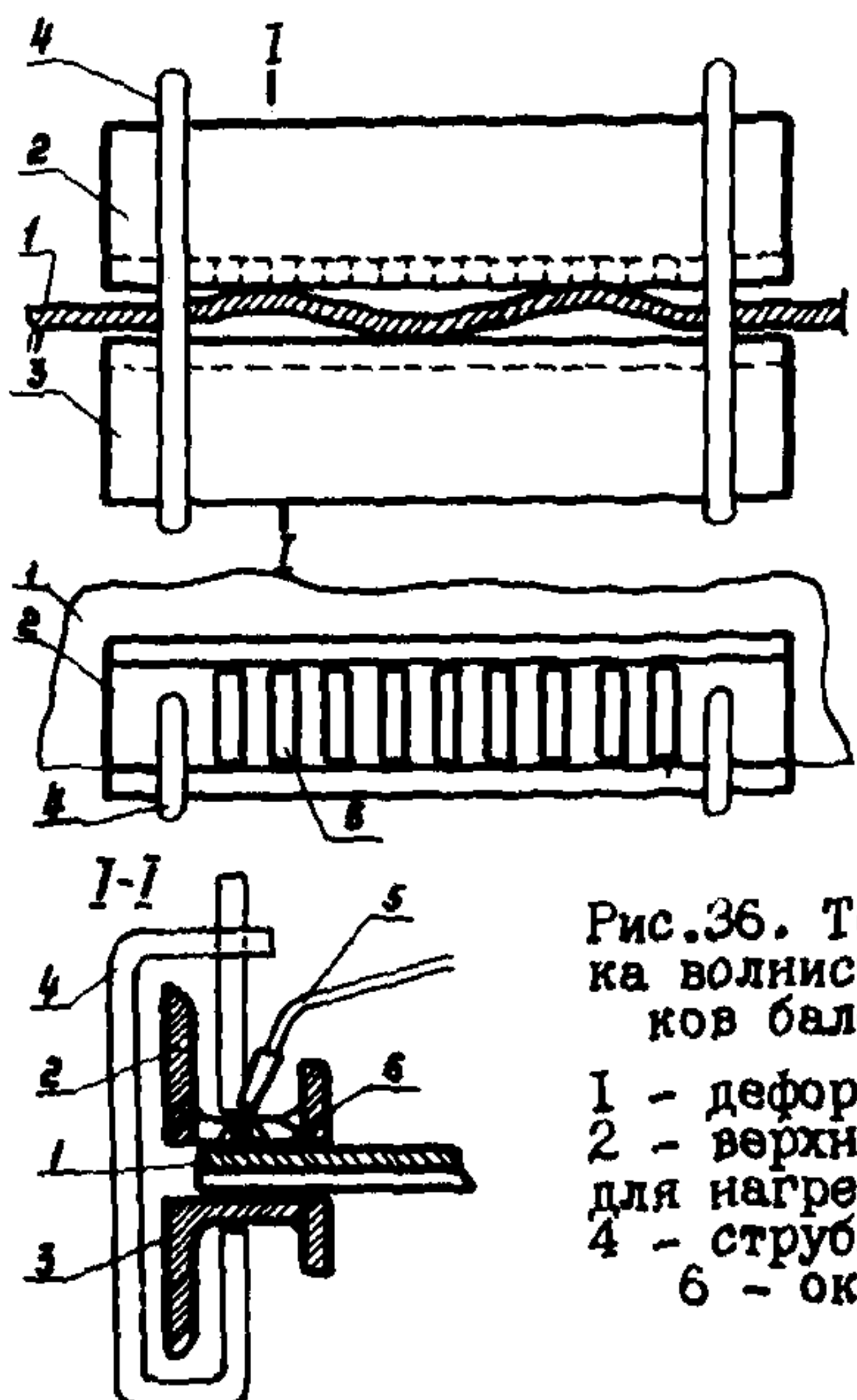


Рис.36. Термомеханическая правка волнистости концевых участков балок и отдельных листов:  
 1 - деформированный лист;  
 2 - верхний прижим с окошками для нагрева; 3 - нижний прижим;  
 4 - струбцина; 5 - горелка;  
 6 - окошки для нагрева

7.17. В случае волнистости свободных кромок стенки в зоне монтажного стыка рекомендуется применять термомеханический метод правки нагревом полос сквозь специальные окна (6), приспособления, изображенного на рис.36.

Струбцины приспособления следует затягивать до нагрева и в процессе правки подтягивать.

Во избежание чрезмерной усадки полос и, как следствие, сокращение высоты стенки в зоне монтажного стыка не следует сразу нагревать много полос. Рекомендуется после нагрева и остывания 2-3 полос измерить стрелку выпучивания и при необходимости вновь продолжить правку, нагревая не более 2-3 полос.

7.18. Допускается применение воздухоструйного искусственного охлаждения нагретых стенок, за исключением изготовленных из термически упрочненной стали.

## 8. ПРАВКА ПРОЧИХ ВИДОВ ДЕФОРМАЦИЙ

8.1. Правку винтообразности коробчатых сварных элементов следует производить термическим способом и в отдельных случаях (см.п.8.4) - комбинированным способом.

8.2. Термическая правка винтообразности должна производиться нагревом вертикальных и горизонтальных листов коробчатых элементов в местах наибольшей деформации. Нагрев следует производить двумя парами клиньев в одном сечении элемента, причем общее основание каждой пары должно располагаться на двух противоположных по направлению диагонали гранях.

В том случае, если нагрев в одном сечении не исправляет деформацию до требуемой величины, элемент следует нагреть в другом сечении.

8.3. Если винтообразность коробчатого элемента невозможно исправить термическим способом, необходимо срезать верхний го-

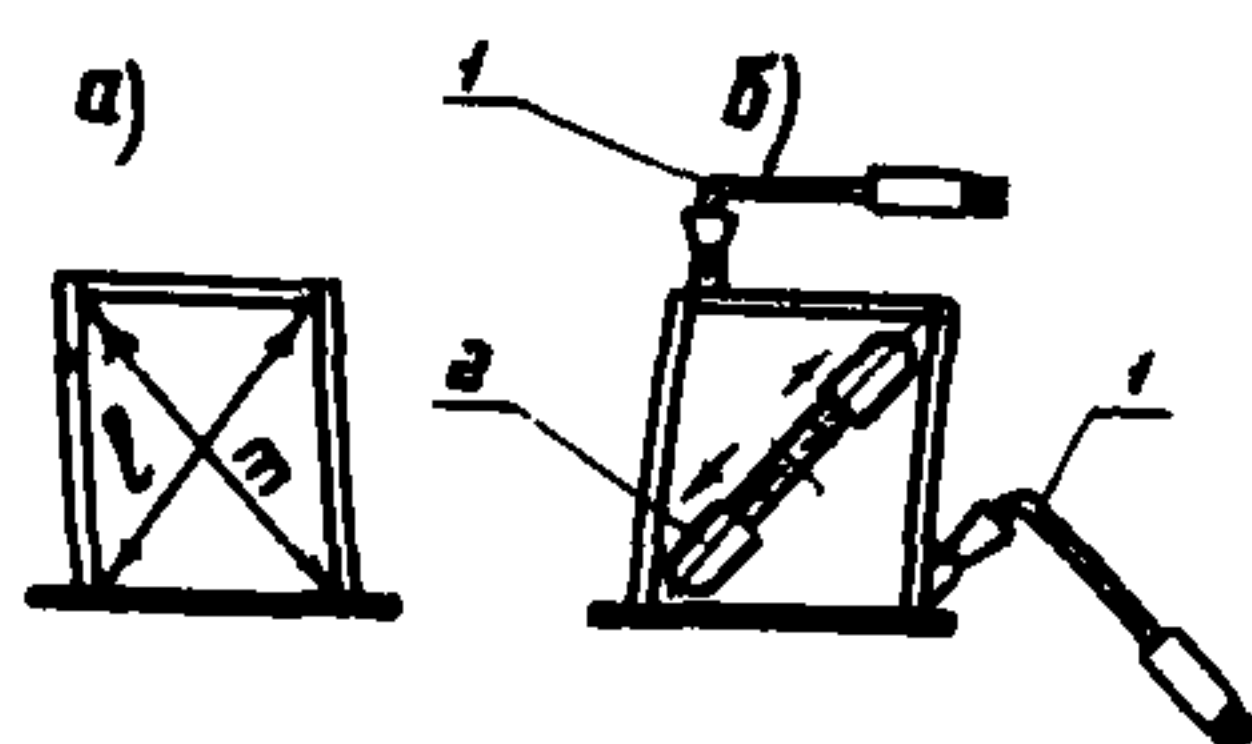


Рис.37. Термомеханическая правка ромбовидности коробчатого сечения:  
а - деформированное сечение элемента; б - нагрев горелками I элемента, расжатого домкратом 2 по диагонали 2

ризонтальный лист и затем выпрямить элемент холодным способом. После этого верхний горизонтальный лист следует заново приварить, соблюдая правильную последовательность технологического процесса.

8.4. Для правки ромбовидности коробчатых элементов необходимо разжать сечение домкратом по короткой диагонали на величину, равную двукратному укорочению данной диагонали. Затем производят нагрев полос рядом с наружными швами, расположенными по короткой диагонали, с одной стороны каждого шва. При необходимости следует продолжить нагрев с другой стороны шва (рис.37).

## Приложение I

38

## Характеристики газопламенных горелок

Тип горелки	Длина, мм	Масса, кг	Горючий газ	Номер наконечника	Расход газа, м <sup>3</sup> /ч		Эффективная мощность пламени, ккал/с
					горючего	кислорода	
ГЗУ-2-62П	585	1,5	пропан-бутан или природный газ	6 7 (сетчатые)	0,65-1,05	2,2-3,6	до 3000
					1,05-1,7	3,5-5,8	до 4300
ГВН	630	1,5	пропан-бутан	1 2 3	1,0-1,2	(воздух из атмосферы)	(1500)
ГВ-І		1,5	пропан-бутан		0,6 1,2 1,7	(воздух из атмосферы)	{1000} {1500} (2000)
ГС-3	600	1,0	ацетилен		0,66-1,10 1,05-1,75 1,70-2,80	0,47-1,2 1,15-1,95 1,90-3,10	1300 1750 2200
ГС-4	-	-	ацетилен	8 9	2,8-4,5 4,5-7,0	3,1-5,0 5,0-8,0	{3000} (4000)
					1,7-2,7 2,7-4,2	6,0-9,5 9,5-14,7	{5000} (7000)
ГС-4П	-	-	пропан-бутан	8 9 (сетчатые) (многопламенные)	2,0	2,2	(2000)
ГАО-2-72	1290	2,0	ацетилен				

П р и м е ч а н и я: 1. В скобках приведены ориентировочные расчетные значения эффективной мощности пламени горелок.

2. Горелки типа ГЗУ-2-62П, ГВН, ГВ-І, ГС-3 и ГАО-2-72 отличаются только наконечниками и имеют рукоятку горелки ГС-3.

3. Горелка ГВ-І в отличие от горелки ГВН имеет более длинное пламя (до 1 м). Во время эксплуатации следует эти горелки держать наклонно по отношению к нагреваемой поверхности.

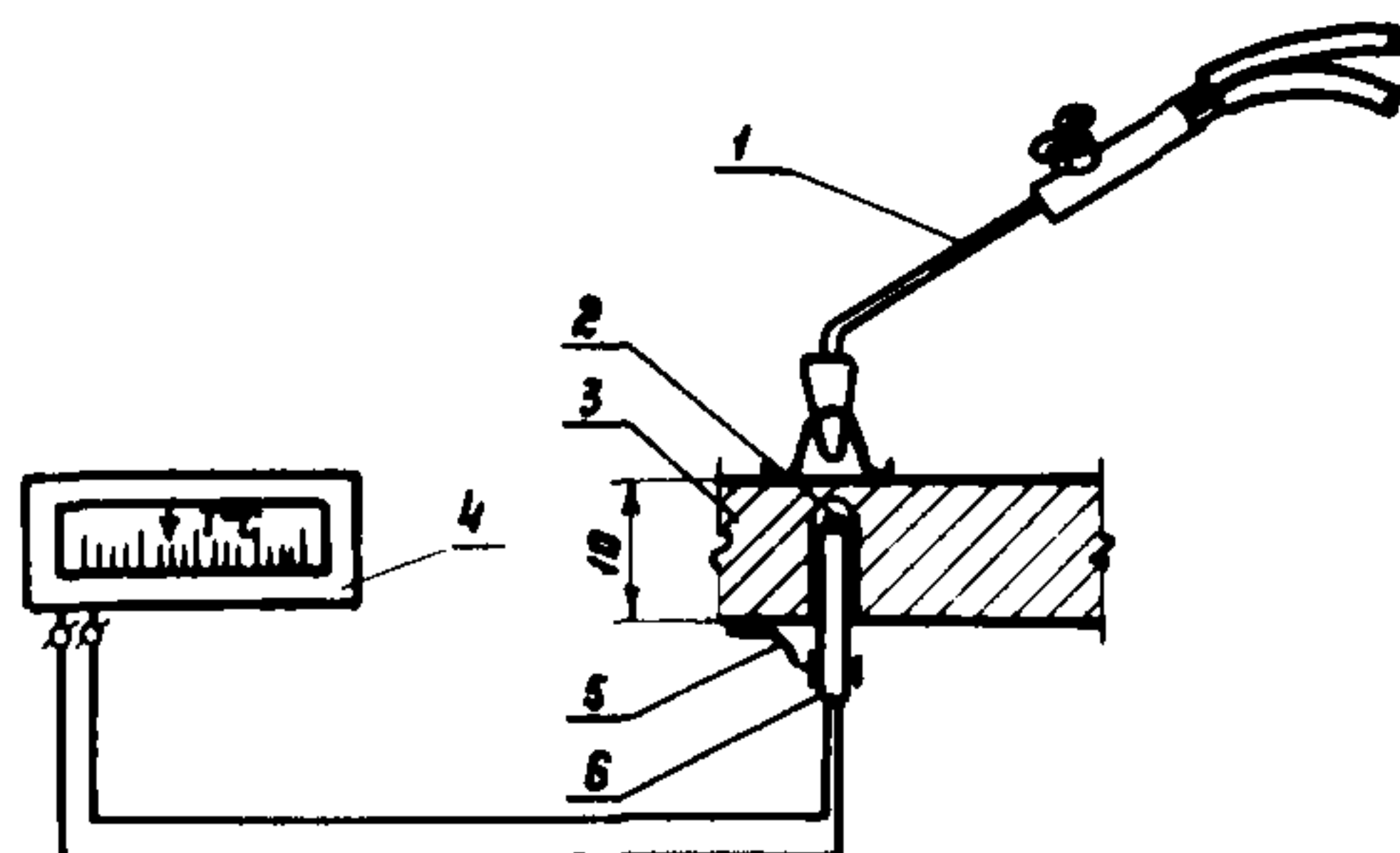
## Приложение 2

### Устройство для контроля температуры нагрева и основные показатели термопар

Устройство (рис. I) предназначено для визуального определения и контроля температуры нагрева, которая для термической и термомеханической правки принимается равной  $700^{\circ}\text{C}$ .

Устройство состоит из хромель-алюмелевой термопары, закрепленной, как это показано на рис. I, в стальной очищенной от окалины пластинке и подсоединеной к измерительному прибору со шкалой, проградуированной в градусах Цельсия.

Характеристики термопар и приборов приведены в табл. I и 2.



Т а б л и ц а 1

Характеристика термопар	Тип термопар		
	хромель-кобальтовая	хромель-алюминиевая	платинородий-платиновая
Пределы измерения температур, °С:			
при длительном применении	600	1000	1300
при кратковременном применении	800	1300	1600
Марки стандартных термопар	ТХКП-15М (поверхностная)	ТХАП-15М ТХА-0525А ТХА-0806	ТПП-0555

Т а б л и ц а 2

Наименование приборов	Характеристики приборов		
	марка	масса, кг	примечание
Пирометрические милливольтметры	МПП-054 (МПП-154, МПП-254, МПП-354)  МПШПр-54М  МСШПр-018 (МСШПр-01-18, МСШПр-02-18, МСШПр-03-18)	0,5  0,5  12,0	Показывающий, переносной  Показывающий, щитовой  Самопищащий, щитовой; переменный ток
Автоматические электронные потенциометры	ЭПП, ЭПД, ПСИ, ПСРІ, КСПЗ (ПЭД-250)  ПП63, КП-59	20-40	Самопищающие, многочечные, имеют большие габариты  Переносные контрольные приборы лабораторного типа

П р и м е ч а н и е. В отличие от милливольтметров, потенциометры не требуют применения специальных компенсирующих устройств.

Пятно, нагреваемое на пластинке, должно быть расположено точно над местом закрепления термопары. Для этой цели на пластине следует предварительно обозначить место нагрева пятна.

После нагрева пятна до температуры, зарегистрированной прибором, правительщик должен запомнить цвет каления металла под пламенем горелки и прекратить нагрев. Затем, не глядя на прибор, правительщик должен повторно нагреть пластинку до температуры, определяемой по калению металла, и затем проверить результат по прибору. При несовпадении результатов нагрева следует повторить до приобретения устойчивого навыка.

## Листоправильные машины

Технические характеристики	Англия		Япония		УБРК 25x х3200
	"Бенни" 26x х3100	HRL 9G 25x х2438	Фудэи Шаре 40x х3200		
Максимальная ширина листа, мм	3100	2438	3200	3200	
Максимальная толщина листа, мм	26	25,4	8+40	25	
Временное сопротивление разрыву листа, МПа	400	380	-	500	
Предел текучести листа, МПа	250	220	400	350	
Скорость правки, м/мин.	6,0-12,0	9,14	6+20	12	
Число правильных валков, шт.	7	7	11	7	
Общее число опорных роликов, шт.	-	5	22	18	
Диаметр наружных направляющих валков, мм	360	335,6	450	320	
Диаметр правильных валков, мм	400	264,2	400	270	
Диаметр опорных роликов, мм	-	264,2	400	268	
Шаг правильных валков, мм	440	267	440	280	
Шаг крайних правильных валков (между направляющим и правильным), мм	440	325	440	320	
Величина подъема и опускания рабочих валков от нейтральной линии, мм - вверх - вниз	+140 - 40	- 30	+200 - 30	- 30	
Мощность электродвигателя главного привода, кВт	55	100	300	63	
Предел текучести материала правильных валков, МПа	-	264	-	500	
Расстояние между осями правильных валков (пролет валков), мм - ширина	3475	3000	-	4040	
Габариты, мм: ширина	-	-	-	2700	
длина	-	-	-	8923	
высота (общая)	-	-	-	3705	
высота над полом	-	-	-	2635	
Общая масса машины, кг	-	-	-	66580	

Приложение 3

с параллельными рядами валков

ГДР			ЧССР		С С С Р					
UBRK 32x x3200	UBRK 40x x3200	UBRK 50x x4500	XZM 40x x3000	СКМЗ 32x x2500	СКМЗ 25x x2500	СКМЗ 30x x3450	СКМЗ 35x x2650	СКМЗ 50x x3500	СКМЗ 50x x4500	
3200	3200	4500	3000	2500	2500	3450	2650	3500	4500	
32	40	50	40	32	25	30	35	50	50	
500	500	500	450	400	-	800	800	800	500	
350	350	350	280	240	300	500	500	500	350	
I2	9,0	3,6-12,24	6-I0	8,3	8,25	I2	-	5-9	4-I2	
7	7	9	7	7	7	7	9	9	7	
I8	I8	40	I0	6	6	I0	I4	I4	I0	
345	380	-	380	320	320	550	-	640	950	
290	340	400	320	320	320	500	360	600	800	
288	334	480	320	270	270,320	500	360	-	-	
300	350	500	345	380	360	510	370	750	1100	
320	405	-	-	380	-	530	-	825	I250	
-30	-30	-30	-40	-25	-40	+I30 - 30	+I30 - 30	+I30 - 40	+200 -120	
I10	I00	200	210	I00	I00	-	-	-	-	
500	500	-	-	-	-	-	-	-	-	
4200	4850	-	3595	2980	-	-	-	4560	6400	
3200	3200	7500	5400	-	4190	6015	4905	I6695	24560	
9800	I0800	I2330	I1000	-	I1000	I4380	I1828	I6695	37670	
4215	5340	7570	-	-	5560	7650	6368	I0245	37670	
2930	3520	4620	5200	-	-	-	-	7615	9873	
88765	I3I823	470000	I80000	-	II8026	424400	2II500	I270000	-	
									(с рольгангом)	

Зависимость радиуса изгиба ( $\rho$ ) от

Радиус кривизны листа $R$ , мм	Радиус изгиба ( $\rho$ ) при									
	4	6	8	10	12	14	16	18	20	22
100	92	94	96	97	97	97	97	97	97	97
500	362	397	418	431	441	448	454	457	460	462
1000	573	668	727	766	796	819	836	852	862	873
1500	719	864	964	1034	1089	1132	1166	1194	1219	1238
2000	823	1015	1152	1255	1335	1399	1452	1495	1534	1564
2500	905	1136	1308	1439	1545	1632	1703	1764	1814	1859
3000	969	1234	1435	1598	1727	1836	1925	2003	2068	2128
3500	1023	1318	1550	1734	1887	2016	2125	2218	2299	2370
4000	1068	1391	1646	1856	2030	2176	2302	2413	2509	2673
4500	1108	1454	1733	1963	2156	2322	2466	2591	2703	2801
5000	1128	1509	1808	2057	2271	2455	2665	2754	2880	2991
5500	1172	1558	1748	2145	2375	2575	2749	2903	3044	3166
6000	1200	1602	1938	2223	2471	2684	2875	3044	3196	3332
6500	1224	1644	1994	2296	2556	2786	2990	3173	3337	3485
7000	1246	1680	2045	2363	2639	2882	3098	3293	3469	3630
7500	1265	1714	2094	2423	2713	2969	3200	3407	3594	3766
8000	1283	1743	2137	2479	2780	3051	3294	3512	3710	3892
8500	1300	1773	2178	2531	2848	3128	3381	3611	3820	4012
9000	1316	1798	2215	2582	2907	3201	3465	3705	3925	4127
9500	1331	1823	2251	2628	2964	3268	3543	3794	4024	4234
10000	1344	1846	2283	2671	3018	3331	3616	3878	4117	4338

Приложение 4

радиуса исходной кривизны листа ( $R$ ) для стали  
с  $G_t = 200 \text{ МПа}$ ,  $E_t = 2500 \text{ МПа}$

толщине листа, в мм											
24	25	28	30	32	36	40	50	60	70	80	
97	97	98	98	98	98	98	98	98	98	98	99
465	465	470	472	474	474	476	476	482	483	484	
882	885	898	900	905	914	920	933	941	948	951	
I254	I272	I282	I293	I304	I323	I336	I362	I381	I394	I404	
I593	I606	I637	I656	I672	I701	I747	I770	I800	I823	I841	
I898	I917	I967	I990	2014	2036	2092	2158	2203	2237	2263	
2178	2202	2264	2300	2331	2389	2435	2525	2589	2637	2672	
2435	2462	2541	2587	2627	2699	2761	2875	2958	3020	3069	
2670	2705	2800	2854	2903	2993	3066	3209	3313	3390	3451	
2889	2928	3039	3104	3163	3268	3356	3529	3654	3749	3822	
3090	3137	3262	3338	3406	3526	3630	3832	3980	4095	4183	
3279	3332	3472	3557	3634	3773	3890	4124	4295	4427	4532	
3455	3513	3670	3764	3851	4006	4139	4402	4600	4750	4871	
3620	3684	3855	3959	4056	4226	4374	4669	4891	5063	5201	
3774	3843	4032	4143	4248	4435	4599	4927	5174	5365	5519	
3921	3994	4197	4318	4432	4636	4814	5173	5444	5658	5830	
4011	4136	4353	4485	4607	4826	5018	5409	5708	5943	6131	
4351	4272	4503	4642	4773	5008	5216	5639	5962	6218	6426	
4482	4569	4644	4792	4932	5182	5403	5858	6207	6485	6712	
4609	4694	4780	4935	5083	5350	5585	6070	6445	6746	6989	
4727	4817	4907	5074	5227	5510	5759	6273	6676	6996	7260	

Зависимость радиуса изгиба ( $\rho$ ) от

Радиус кривизны листа ( $R$ ), мм	Радиус изгиба ( $\rho$ ) в мм, при									
	4	6	8	10	12	14	16	18	20	22
100	89	91	94	95	95	96	96	96	97	97
500	325	365	390	407	419	428	435	441	446	450
1000	490	585	649	696	731	759	781	799	814	827
1500	594	734	836	913	974	1022	1063	1095	1125	1150
2000	668	845	979	1084	1169	1239	1298	1348	1391	1429
2500	724	932	1094	1224	1332	1422	1499	1565	1623	1674
3000	768	1002	1188	1341	1469	1578	1672	1754	1826	1890
3500	804	1060	1267	1440	1587	1714	1824	1921	2007	2084
4000	835	1109	1336	1527	1691	1833	1959	2070	2169	2258
4500	861	1152	1395	1602	1782	1940	2079	2203	2315	2416
5000	883	1189	1447	1670	1864	2035	2188	2325	2448	2561
5500	903	1222	1494	1730	1937	2121	2286	2435	2570	2693
6000	921	1252	1536	1784	2003	2200	2376	2536	2682	2815
6500	937	1279	1574	1833	2064	2271	2459	2629	2785	2928
7000	951	1303	1608	1878	2120	2337	2535	2715	2881	3033
7500	964	1325	1640	1920	2171	2398	2606	2795	2970	3132
8000	976	1345	1669	1958	2219	2455	2671	2870	3053	3223
8500	987	1364	1696	1994	2263	2508	2733	2940	3131	3309
9000	997	1381	1721	2027	2304	2557	2790	3005	3205	3391
9500	1006	1397	1745	2058	2342	2606	2844	3067	3274	3467
10000	1015	1412	1767	2087	2379	2647	2895	3125	3339	3539

Продолжение приложения 4

радиуса исходной кривизны листа ( R ) для стали

$$G_T = 300 \text{ МПа}, E_f = 2500 \text{ МПа}$$

толщине листа, в мм											
24	25	28	30	32	36	40	50	60	70	80	
97	97	97	97	97	97	98	98	98	98	98	
453	454	458	460	462	466	468	473	476	478	480	
833	844	857	864	871	882	892	909	921	930	936	
1171	1181	1207	1222	1235	1258	1277	1313	1337	1356	1370	
1462	1477	1517	1541	1562	1598	1629	1687	1729	1759	1783	
1719	1738	1795	1827	1857	1909	1952	2036	2096	2142	2177	
1947	1974	2045	2087	2125	2183	2250	2362	2443	2505	2554	
2153	2185	2272	2324	2371	2455	2526	2667	2771	2851	2913	
2339	2376	2479	2540	2596	2696	2783	2954	3081	3180	3258	
2508	2551	2669	2739	2804	2921	3022	3224	3375	3493	3588	
2663	2711	2844	2923	2997	3130	3245	3478	3655	3793	3904	
2806	2859	3006	3094	3177	3325	3455	3719	3921	4080	4208	
2938	2996	3156	5253	3344	3508	3652	3947	4174	4354	4501	
3060	3123	3296	3402	3501	3680	3838	4164	4416	4617	4782	
3175	3241	3428	3541	3648	3842	404	4369	4647	4870	5053	
3281	3352	3551	3672	3787	3995	4180	4565	4848	5112	5314	
3381	3456	3667	3796	3917	4139	4338	4752	5080	5346	5566	
3475	3554	3776	3912	4041	4277	4488	4931	5283	5570	5809	
3564	3642	3879	4023	4158	4407	4671	5102	5479	5787	6044	
3648	3734	3977	4127	4269	4531	4767	5265	5666	5996	6271	
3727	3817	4070	4227	4375	4649	4897	5422	5847	6197	6491	

Зависимость радиуса изгиба ( $\rho$ ) от

Радиус кривизны листа ( $R$ ), мм	Радиус изгиба ( $\rho$ ) в мм, при									
	4	6	8	10	12	14	16	18	20	22
100	87	90	92	94	94	95	95	96	96	96
500	293	338	366	386	400	411	420	427	433	438
1000	423	518	586	636	675	707	732	754	772	787
1500	501	635	735	814	878	931	975	1013	1045	1074
2000	555	718	846	950	1036	1109	1171	1225	1272	1314
2500	595	782	933	1058	1164	1254	1333	1403	1464	1518
3000	626	833	1003	1146	1269	1377	1471	1554	1629	1696
3500	652	874	1061	1220	1359	1481	1589	1686	1773	1852
4000	673	909	1110	1284	1436	1572	1693	1802	1900	1990
4500	691	940	1153	1339	1504	1651	1784	1904	2014	2114
5000	707	966	1190	1388	1564	1722	1865	1996	2116	2226
5500	720	989	1223	1431	1617	1786	1939	2079	2208	2327
6000	732	1009	1253	1470	1665	1843	2005	2155	2292	2420
6500	743	1028	1279	1505	1709	1895	2066	2224	2370	2505
7000	753	1045	1304	1537	1749	1943	2122	2287	2441	2584
7500	762	1060	1326	1566	1785	1987	2173	2346	2507	2657
8000	770	1074	1346	1593	1819	2027	2220	2400	2568	2725
8500	777	1087	1365	1618	1850	2065	2264	2451	2625	2788
9000	784	1098	1382	1641	1879	2100	2306	2498	2678	2848
9500	790	1109	1398	1662	1906	2133	2344	2542	2728	2904
10000	796	1120	1413	1682	1932	2163	2380	2584	2775	2956

Продолжение приложения 4

радиуса исходной кривизны листа (  $R$  ) для стали

с  $G_T = 400 \text{ МПа}$ ,  $E_1 = 2500 \text{ МПа}$

толщине листа, в мм											
24	25	28	30	32	36	40	50	60	70	80	
97	97	97	97	97	97	97	98	98	98	98	
442	444	449	452	454	458	461	468	472	475	477	
801	807	823	832	840	854	866	888	903	914	923	
I098	III0	II40	II58	II74	I201	I224	I268	I299	I322	I340	
I350	I367	I413	I440	I465	I507	I544	I614	I664	I702	I732	
I567	I590	I652	I688	I721	I780	I831	I929	2002	2057	2101	
I757	I785	I862	I908	I950	2026	2091	2220	2315	2389	2448	
I924	I957	2049	2105	2156	2248	2327	2487	2607	2701	2776	
2072	2III	2218	2282	2342	2450	2544	2735	2880	2995	3087	
2206	2250	2370	2443	2512	2635	2743	2965	3136	3271	3382	
2327	2375	2509	2591	2667	2805	2928	3180	3376	3533	3661	
2438	2490	2636	2726	2810	2963	3099	3381	3602	3781	3928	
2539	2595	2753	2850	2942	3109	3258	3570	3816	4016	4181	
2632	2692	2861	2966	3064	3245	3407	3747	4018	4239	4423	
2718	2782	2962	3073	3178	3372	3546	3914	4210	4452	4655	
2798	2865	3056	3174	3285	3491	3667	4072	4392	4655	4876	
2873	2943	3143	3267	3385	3603	3800	4222	4565	4849	5088	
2942	3016	3225	3356	3479	3709	3917	4364	4729	5034	5292	
3008	3085	3303	3439	3568	3808	4027	4499	4887	5211	5487	
3069	3149	3375	3517	3652	3903	4132	4628	5037	5381	5675	
3128	3210	3444	3591	3731	3932	4231	4751	5181	5544	5855	

Зависимость радиуса изгиба ( $\rho$ ) от

Радиус кривизны листа ( $R$ ), мм	Радиус изгиба ( $\rho$ ) в мм, при									
	4	6	8	10	12	14	16	18	20	22
100	84	88	91	92	93	94	95	95	95	96
500	267	313	344	366	382	395	405	413	420	426
1000	373	465	533	586	627	661	689	712	732	750
1500	435	560	657	735	800	854	901	940	975	1006
2000	476	625	746	846	931	1004	1067	1122	1171	1215
2500	507	675	815	933	1035	1123	1202	1271	1333	1389
3000	530	714	869	1003	1119	1222	1314	1396	1471	1538
3500	549	746	914	1067	1190	1306	1410	1504	1589	1667
4000	565	773	952	1110	1251	1378	1492	1597	1693	1781
4500	579	795	985	1153	1304	1440	1565	1679	1784	1881
5000	590	815	1013	1190	1350	1496	1629	1752	1865	1971
5500	600	832	1038	1223	1391	1545	1686	1817	1939	2052
6000	609	848	1061	1253	1428	1589	1738	1877	2005	2126
6500	617	862	1081	1279	1462	1630	1785	1930	2066	2193
7000	624	874	1099	1304	1492	1666	1828	1980	2122	2235
7500	631	885	1115	1326	1520	1700	1868	2025	2173	2312
8000	637	896	1130	1346	1545	1731	1904	2067	2220	2365
8500	642	905	1144	1365	1569	1759	1938	2106	2264	2414
9000	647	914	1157	1382	1591	1786	1969	2142	2306	2460
9500	652	922	1169	1398	1611	1811	1999	2176	2344	2504
10000	656	930	1180	1413	1630	1834	2026	2208	2380	2544

Продолжение приложения 4

радиуса исходной кривизны листа (  $R$  ) для стали

с  $G_T = 500 \text{ МПа}$ ,  $E_1 = 2500 \text{ МПа}$

толщина листа, в мм											
24	25	28	30	32	36	40	50	60	70	80	
96	96	96	97	97	97	97	97	98	98	98	
43I	433	439	442	445	450	454	46I	467	470	473	
765	772	790	80I	8I0	827	840	866	884	898	908	
I033	I045	I079	I098	III6	II47	II74	I224	I260	I288	I309	
I254	I272	I32I	I350	I377	I424	I465	I544	I60I	I646	I68I	
I440	I464	I529	I567	I603	I667	I72I	I83I	I9I2	I975	2026	
I600	I629	I709	I757	I80I	I88I	I950	209I	2I07	2280	2347	
I739	I773	I867	I924	I977	2072	2I56	2327	2459	2563	2648	
I862	I900	2007	2072	2I33	2244	2342	2544	270I	2826	2929	
I97I	20I4	2I33	2206	2275	2400	25I2	2743	2926	3073	3I94	
2069	2II6	2247	2327	2403	2542	2667	2928	3I35	3303	3443	
2I58	2208	2350	2438	2520	2673	28I0	3099	3330	3520	3678	
2239	2292	2444	2539	2628	2793	2942	3258	35I3	3724	390I	
23I2	2370	253I	2632	2727	2904	3064	3407	3585	39I7	4II2	
238I	244I	26I2	2718	28I9	3007	3I78	3546	3847	4099	43I2	
2444	2507	2686	2798	2905	3I04	3285	3677	4000	4272	4503	
2502	2568	2755	2873	2985	3I94	3385	3800	4I45	4436	4684	
2557	2625	2820	2942	3059	3278	3479	39I7	4282	4592	4858	
2607	2678	288I	3008	3I30	3358	3568	4027	44I2	4740	5023	
2655	2728	2938	3069	3I96	3433	3652	4I32	4536	4882	5I82	
2700	2775	299I	3I28	3238	3504	373I	423I	4655	50I8	5334	

Зависимость радиуса изгиба ( $\rho$ ) от

Радиус кривизны листа ( $R$ ), мм	Радиус изгиба ( $\rho$ ) в мм, при									
	4	6	8	10	12	14	16	18	20	22
100	84	87	89	91	92	93	94	94	95	95
500	245	293	325	348	366	380	391	400	408	415
1000	334	423	490	523	586	621	650	675	697	716
1500	384	501	595	671	735	790	837	878	914	947
2000	418	555	668	764	846	918	981	1036	1086	1161
2500	442	595	724	836	933	1019	1095	1164	1226	1282
3000	461	626	769	893	1003	1101	1189	1269	1342	1409
3500	476	652	805	940	1061	1170	1269	1359	1442	1518
4000	488	678	835	980	1110	1229	1337	1436	1528	1613
4500	499	691	861	1014	1153	1280	1396	1504	1604	1697
5000	508	707	884	1044	1190	1324	1449	1564	1671	1771
5500	516	720	904	1070	1223	1364	1495	1617	1731	1838
6000	523	732	921	1094	1253	1400	1537	1665	1785	1899
6500	529	743	937	1115	1279	1432	1575	1709	1835	1954
7000	534	753	951	1134	1304	1462	1610	1749	1880	2004
7500	540	762	964	1162	1326	1488	1641	1785	1921	2050
8000	544	770	976	1168	1346	1513	1670	1819	1960	2093
8500	548	777	987	1182	1365	1536	1697	1850	1995	2133
9000	552	784	997	1196	1382	1557	1722	1879	2028	2170
9500	556	790	1007	1209	1398	1577	1746	1908	2059	2205
10000	559	796	1016	1220	1413	1595	1768	1932	2088	2237

Продолжение приложения 4

радиуса исходной кривизны листа (  $R$  ) для стали  
с  $G_T = 600$  МПа,  $E_f = 2500$  МПа

толщине листа, в мм											
24	25	28	30	32	36	40	50	60	70	80	
95	96	96	96	96	97	97	97	97	98	98	
420	423	429	433	436	442	477	455	461	466	469	
732	740	760	772	782	801	816	845	866	882	894	
975	988	I024	I045	I065	I098	II27	II83	I224	I255	I280	
II7I	II90	I24I	I272	I300	I350	I394	I480	I544	I593	I632	
I333	I357	I424	I464	I50I	I567	I625	I742	I83I	I900	I956	
I47I	I500	I580	I629	I674	I767	I829	I977	209I	2I8I	2254	
I589	I623	I716	I773	I826	I924	20I0	2I88	2327	2439	253I	
I693	I730	I835	I900	I96I	2072	2I72	2380	2544	2677	2788	
I784	I825	I942	20I4	208I	2206	23I8	2550	2743	2898	3027	
I865	I9I0	2037	2II6	2I90	2327	245I	27I5	2928	3I03	325I	
I939	I987	2I23	2208	2289	2438	2573	2863	3099	3295	346I	
2005	2056	2202	2292	2379	2539	2685	2999	3258	3474	3658	
2066	2I20	2273	2370	246I	2632	2788	3I27	3407	3642	3844	
2I22	2I78	2340	244I	2537	27I8	2884	3245	3546	380I	4020	
2I73	2232	240I	2507	2608	2798	2973	3356	3677	3950	4I86	
2220	2282	2457	2568	2674	2873	3056	3460	3800	4092	4344	
2264	2328	25I0	2625	2735	2942	3I35	3558	39I7	4226	4494	
2306	237I	2559	2678	2792	3008	3208	365I	4027	4353	4637	
2344	24I2	2605	2728	2846	3069	3277	3738	4I32	4474	4773	
2380	2450	2649	2775	2897	3I28	3342	382I	423I	4689	4903	

Зависимость радиуса изгиба ( $\rho$ ) от

Радиус кривизны листа ( $R$ ), мм	Радиус изгиба ( $\rho$ ) в мм, при									
	4	6	8	10	12	14	16	18	20	22
100	79	85	88	90	91	92	93	94	94	95
500	227	275	308	332	351	366	368	388	397	404
1000	303	338	454	507	550	586	616	642	665	685
1500	345	455	544	618	681	785	783	894	861	894
2000	372	500	606	697	777	846	908	963	1013	1058
2500	392	533	653	758	850	903	1007	1074	1135	1191
3000	408	559	690	806	909	1003	1087	1165	1236	1302
3500	420	580	720	845	958	1061	1155	1241	1321	1395
4000	430	597	745	878	999	1110	1212	1307	1395	1477
4500	439	612	706	906	1035	1153	1262	1364	1459	1548
5000	446	624	785	931	1066	1190	1306	1414	1515	1611
5500	452	635	801	953	1093	1223	1345	1459	1566	1667
6000	458	645	815	972	1117	1253	1380	1499	1611	1718
6500	463	654	828	989	1139	1279	1411	1535	1653	1764
7000	468	662	840	1005	1159	1304	1440	1568	1690	1806
7500	472	669	851	1019	1177	1326	1466	1598	1725	1845
8000	475	676	860	1032	1194	1346	1490	1626	1756	1880
8500	479	682	869	1044	1209	1365	1512	1652	1786	1913
9000	482	687	877	1056	1223	1382	1533	1676	1813	1944
9500	485	692	885	1066	1236	1398	1552	1698	1838	1973
10000	488	697	892	1075	1249	1413	1570	1719	1862	1999

Продолжение приложения 4

радиуса исходной кривизны листа ( R ) для стали

с  $G_T = 700 \text{ МПа}$ ,  $E_1 = 2500 \text{ МПа}$

толщине листа, в мм											
24	25	28	30	32	36	40	50	60	70	80	
95	95	95	96	96	96	96	97	97	97	98	
410	413	420	424	428	435	440	450	456	461	465	
703	711	732	745	756	776	793	826	849	866	880	
924	988	975	997	1018	1054	1085	1145	1190	1224	1251	
1099	1118	1171	1203	1232	1284	1313	1421	1490	1544	1587	
1242	1266	1333	1374	1412	1480	1540	1662	1756	1831	1891	
1362	1391	1471	1520	1566	1649	1723	1876	1995	2091	2169	
1464	1497	1589	1646	1699	1796	1883	2066	2210	2327	2424	
1553	1590	1693	1756	1860	1927	2026	2237	2406	2544	2660	
1631	1671	1784	1854	1920	2043	2154	2392	2584	2743	2878	
1700	1743	1865	1942	2014	2148	2270	2533	2748	2928	3080	
1762	1808	1939	2020	2098	2243	2376	2662	2899	3099	3269	
1818	1867	2005	2092	2175	2330	2472	2782	3039	3258	3445	
1869	1920	2066	2158	2245	2409	2561	2892	3170	3407	3611	
1916	1969	2122	2218	2310	2483	2643	2994	3291	3546	3767	
1959	2014	2173	2273	2369	2551	2719	3090	3405	3677	3914	
1999	2056	2220	2325	2425	2614	2789	3179	3512	3800	4053	
2035	2094	2264	2372	2476	2673	2856	3263	3613	3917	4184	
2069	2130	2306	2117	2524	2728	2918	3342	3708	4027	4309	
2101	2164	2344	2459	2569	2779	2976	3416	3798	4132	4428	
2131	2195	2380	2498	2612	2828	3031	3487	3883	4231	4541	

Зависимость радиуса изгиба ( $\rho$ ) от

Радиус кривизны листа ( $R$ ), мм	Радиус изгиба ( $\rho$ ) в мм, при									
	4	6	8	10	12	14	16	18	20	22
100	77	83	87	89	90	91	92	93	94	94
500	212	259	293	318	338	353	366	377	386	394
1000	278	359	423	475	518	554	586	612	636	657
1500	313	416	501	573	635	688	735	777	814	848
2000	336	455	555	642	718	786	846	901	950	995
2500	353	483	595	694	782	861	933	998	1058	1113
3000	366	505	624	735	833	921	1003	1077	1146	1210
3500	376	522	652	768	874	971	1061	1144	1220	1292
4000	385	537	673	796	909	1014	1110	1200	1284	1363
4500	392	549	691	820	940	1050	1153	1249	1339	1424
5000	398	560	707	841	966	1082	1190	1292	1388	1478
5500	403	569	720	859	989	1110	1223	1330	1431	1526
6000	408	577	732	876	1009	1135	1253	1364	1470	1570
6500	412	585	743	890	1028	1157	1279	1395	1505	1609
7000	416	591	753	903	1045	1178	1304	1423	1537	1645
7500	419	597	762	915	1060	1196	1326	1449	1566	1678
8000	422	603	770	926	1074	1213	1346	1472	1593	1708
8500	425	608	777	936	1087	1229	1365	1494	1618	1736
9000	428	612	784	946	1098	1244	1382	1514	1641	1762
9500	430	616	790	954	1109	1257	1398	1533	1662	1787
10000	433	620	796	962	1120	1270	1413	1550	1682	1809

Продолжение приложения 4

радиуса исходной кривизны листа ( R ) для стали

с  $G_T = 800 \text{ МПа}$ ,  $E_1 = 2500 \text{ МПа}$

толщине листа, в мм											
24	25	28	30	32	36	40	50	60	70	80	
94	95	95	95	95	96	96	97	97	97	97	
400	404	411	416	420	427	433	444	452	457	461	
675	684	707	720	732	754	772	807	832	851	866	
878	892	931	954	975	1013	1045	1110	1159	1195	1224	
I036	I056	II09	II41	II71	I225	I272	I367	I440	I497	I744	
I164	I188	I254	I295	I333	I403	I464	I590	I688	I767	I831	
I269	I298	I377	I425	I471	I554	I629	I785	I908	2008	2091	
I359	I391	I481	I537	I589	I686	I773	I957	2105	2226	2327	
I436	I472	I572	I634	I693	I802	I900	2111	2282	2424	2544	
I504	I542	I651	I719	I784	I904	2014	2250	2443	2606	2743	
I564	I605	I722	I795	I865	I996	2116	2375	2591	2772	2928	
I617	I661	I786	I864	I939	2079	2208	2490	2726	2926	3099	
I665	I711	I843	I926	2005	2155	2292	2595	2850	3069	3258	
I709	I757	I895	I982	2066	2224	2370	2692	2966	3201	3407	
I749	I799	I943	2034	2122	2287	2441	2782	3073	3326	3546	
I785	I837	I887	2082	2173	2346	2507	2865	3174	3442	3677	
I819	I873	2027	2126	2220	2400	2568	2943	3267	3551	3800	
I850	I905	2065	2166	2264	2451	2625	3016	3356	3653	3917	
I879	I936	2100	2205	2306	2498	2678	3085	3439	3750	4027	
I906	I964	2133	2240	2344	2542	2728	3149	3517	3842	4132	
I932	I991	2163	2274	2380	2584	2775	3210	3591	3929	4231	

Зависимость радиуса изгиба ( $\rho$ ) от

Радиус кривизны листа ( $R$ ), мм	Радиус изгиба ( $\rho$ ) в мм, при									
	4	6	8	10	12	14	16	18	20	22
100	75	82	85	88	89	91	92	92	93	93
500	198	245	279	305	325	341	355	366	376	384
1000	256	334	390	447	490	527	558	586	610	631
1500	287	384	465	535	595	647	694	735	773	807
2000	307	418	512	595	668	734	793	846	895	940
2500	321	442	547	640	724	800	869	933	991	1045
3000	332	461	574	676	769	853	931	1003	1069	1131
3500	341	476	596	705	805	897	982	1061	1135	1204
4000	348	488	614	729	835	933	1025	1110	1190	1266
4500	354	499	630	750	861	965	1065	1153	1239	1320
5000	360	508	643	768	884	992	1094	1190	1281	1367
5500	364	516	655	783	904	1016	1123	1223	1318	1409
6000	368	523	665	797	921	1038	1148	1253	1352	1447
6500	372	529	674	810	937	1057	1171	1279	1382	1481
7000	375	534	682	821	951	1075	1192	1304	1410	1512
7500	378	540	690	831	964	1091	1211	1326	1435	1540
8000	380	544	697	840	976	1105	1228	1346	1458	1567
8500	383	548	703	849	987	1119	1244	1365	1480	1591
9000	385	552	709	857	997	1131	1259	1382	1500	1613
9500	387	556	714	864	1007	1143	1275	1398	1518	1634
10000	389	559	719	871	1016	1154	1286	1413	1535	1654

Продолжение приложения 4

радиуса исходной кривизны листа ( R ) для стали

с  $\sigma_y = 900 \text{ МПа}, E_y = 2500 \text{ МПа}$

толщина листа, в мм											
24	25	28	30	32	36	40	50	60	70	80	
94	94	95	95	95	95	96	96	97	97	97	
391	394	403	408	412	420	426	438	447	453	458	
650	659	689	697	710	732	751	789	816	837	853	
837	852	891	914	936	975	1009	1077	1127	1167	1198	
981	1000	1053	1086	1116	1171	1219	1318	1394	1454	1503	
1095	1119	1185	1226	1264	1333	1395	1524	1625	1707	1774	
1189	1217	1294	1342	1388	1471	1546	1703	1829	1932	2018	
1269	1300	1387	1442	1494	1589	1676	1860	2010	2134	2238	
1337	1371	1468	1528	1586	1693	1790	2000	2172	2316	2939	
1396	1433	1538	1604	1667	1784	1891	2125	2318	2482	2622	
1449	1488	1600	1671	1739	1865	1982	2237	2451	2634	2791	
1495	1537	1656	1731	1803	1939	2064	2340	2573	2773	2947	
1537	1581	1706	1785	1862	2005	2139	2434	2685	2902	3091	
1575	1621	1752	1835	1915	2066	2207	2520	2788	3021	3226	
1610	1657	1793	1880	1963	2122	2269	2599	2884	3132	3351	
1641	1690	1831	1921	2008	2173	2327	2673	2973	3236	3469	
1670	1721	1867	1960	2049	2220	2381	2742	3056	3334	3580	
1697	1749	1899	1995	2088	2264	2431	2806	3135	3425	3684	
1722	1776	1930	2028	2124	2308	2477	2866	3208	3511	3783	
1746	1800	1958	2059	2157	2344	2521	2923	3277	3592	3876	
1768	1823	1985	2088	2188	2380	2562	2976	3342	3669	3964	

Зависимость радиуса изгиба ( $\rho$ ) от

Радиус кривизны листа (R), мм	Радиус изгиба ( $\rho$ ) в мм, при									
	4	6	8	10	12	14	16	18	20	22
100	73	80	84	87	88	90	91	92	92	93
500	187	233	267	293	313	330	344	356	366	375
1000	238	313	373	423	466	502	533	561	586	607
1500	265	357	435	501	560	611	657	698	735	769
2000	283	386	476	555	625	689	746	798	846	890
2500	295	408	507	595	645	748	815	876	933	985
3000	305	424	530	626	714	795	869	938	I003	I063
3500	312	437	549	652	746	833	914	990	I061	I127
4000	318	448	565	673	773	865	952	I034	I110	I183
4500	324	457	579	691	795	893	985	I071	I153	I230
5000	328	465	590	707	815	917	I013	I104	I190	I272
5500	332	472	600	720	832	938	I038	I133	I223	I309
6000	336	478	609	732	848	957	I061	I159	I253	I342
6500	339	483	617	743	862	974	I081	I182	I279	I372
7000	341	488	624	753	874	989	I099	I203	I304	I400
7500	344	492	631	762	885	I003	I115	I223	I326	I425
8000	346	496	637	770	896	I016	I130	I240	I346	I447
8500	348	500	642	777	905	I027	I144	I257	I365	I469
9000	350	503	647	784	914	I038	I157	I272	I382	I488
9500	352	506	652	780	922	I048	I169	I286	I398	I506
10000	353	509	656	706	930	I058	I180	I299	I413	I523

Продолжение приложения 4

радиуса исходной кривизны листа (  $R$  ) для стали

с  $G_T = 1000 \text{ МПа}$ ,  $E_f = 2500 \text{ МПа}$

толщина листа, в мм											
24	25	28	30	32	36	40	50	60	70	80	
93	94	94	94	95	95	95	96	97	97	97	
382	386	395	400	405	413	420	433	442	449	454	
627	636	661	675	689	712	732	772	801	823	840	
800	814	854	878	901	940	975	1045	1098	1140	1174	
931	950	I004	I036	I067	II22	II71	I272	I350	I413	I465	
I035	I058	II23	II64	I202	I271	I333	I464	I567	I652	I721	
III9	II46	I222	I269	I314	I396	I471	I629	I757	I862	I950	
II90	I220	I306	I359	I410	I504	I589	I773	I924	2049	2156	
I251	I284	I378	I436	I492	I597	I693	I900	2072	2218	2342	
I304	I339	I440	I504	I565	I679	I784	2014	2206	2370	2512	
I350	I388	I496	I564	I629	I752	I865	2II6	2327	2509	2667	
I391	I431	I545	I617	I686	I817	I939	2208	2438	2636	2810	
I428	I470	I589	I665	I738	I877	2005	2292	2539	2753	2942	
I462	I505	I630	I709	I755	I930	2066	2370	2632	2861	3064	
I492	I537	I666	I749	I828	I980	2122	2441	2718	2962	3178	
I520	I566	I700	I785	I868	2025	2173	2507	2798	3056	3285	
I545	I593	I731	I819	I904	2067	2220	2568	2873	3143	3385	
I569	I618	I759	I850	I938	2I06	2264	2625	2942	3225	3479	
I591	I641	I786	I879	I969	2I42	2306	2678	3008	3303	3568	
I611	I662	I811	I906	I999	2I78	2344	2728	3069	3375	3652	
I630	I682	I834	I932	2026	2208	2380	2775	3I28	3444	3731	

Зависимость радиуса изгиба ( $\rho$ ) от

Радиус кривизны листа $R$ , мм	Радиус изгиба ( $\rho$ ) в мм, при									
	4	6	8	10	12	14	16	18	20	22
100	70	77	82	85	87	88	89	90	91	92
500	167	212	245	271	293	310	325	338	348	358
1000	209	278	334	382	423	459	490	518	543	565
1500	230	313	384	446	501	550	595	635	671	705
2000	244	336	418	490	555	614	668	718	764	807
2500	254	353	442	522	595	662	724	782	836	886
3000	261	366	461	547	626	700	769	833	893	949
3500	267	376	476	567	652	731	805	874	940	1002
4000	272	385	488	584	673	757	835	909	980	1047
4500	276	392	499	598	691	778	861	940	1014	1085
5000	280	398	508	610	707	797	884	966	1044	1119
5500	283	403	516	621	720	814	904	989	1070	1148
6000	285	408	523	630	732	829	921	1009	1094	1175
6500	288	412	529	639	743	842	937	1028	1115	1199
7000	290	416	534	646	753	854	951	1045	1134	1220
7500	292	419	540	653	762	865	964	1060	1152	1240
8000	293	422	544	660	770	875	976	1074	1168	1258
8500	295	425	548	665	777	884	987	1087	1182	1275
9000	296	428	552	671	784	893	997	1098	1196	1290
9500	298	430	556	676	790	901	1007	1109	1209	1305
10000	299	433	559	680	796	908	1016	1120	1220	1318

Продолжение приложения 4

радиуса исходной кривизны листа ( $R$ ) для стали

с  $G_t = 1200 \text{ МПа}$ ,  $E_t = 2500 \text{ МПа}$

толщине листа, в мм											
24	25	28	30	32	36	40	50	60	70	80	
92	93	93	94	94	94	95	96	96	96	97	
366	370	380	386	391	400	408	423	433	441	447	
586	595	621	636	650	675	697	740	772	796	816	
735	750	790	814	837	878	914	988	1045	1090	1127	
846	865	918	950	981	1036	1086	1190	1272	1339	1394	
933	955	1019	1058	1095	1164	1226	1357	1464	1552	1625	
I003	I028	II101	II46	II89	I269	I342	I500	I629	I737	I829	
I061	I089	II70	I220	I269	I359	I442	I623	I773	I900	2010	
III10	II41	I229	I284	I337	I436	I528	I730	I900	2046	2172	
II53	II86	I280	I339	I396	I504	I604	I825	2014	2176	2318	
II90	I225	I324	I388	I449	I564	I671	I910	2116	2294	2451	
I223	I260	I364	I431	I495	I617	I731	I987	2208	2402	2573	
I253	I291	I400	I470	I537	I665	I785	2056	2292	2500	2685	
I279	I319	I432	I505	I575	I709	I835	2120	2370	2591	2788	
I304	I344	I462	I537	I610	I749	I880	2178	2441	2674	2884	
I326	I367	I488	I566	I641	I785	I921	2232	2507	2752	2973	
I346	I389	I513	I593	I670	I819	I960	2282	2568	2824	3056	
I365	I408	I536	I618	I697	I850	I995	2328	2625	2892	3135	
I382	I427	I557	I641	I722	I879	2028	2371	2678	2953	3208	
I398	I444	I577	I662	I746	I906	2059	2412	2728	3015	3277	
I413	I459	I595	I682	I768	I932	2088	2450	2775	3071	3342	

Зависимость радиуса изгиба ( $\rho$ ) от

Радиус кривизны листа ( $R$ ), мм	Радиус изгиба ( $\rho$ ) в мм, при									
	4	6	8	10	12	14	16	18	20	22
100	71	79	83	86	87	89	90	91	92	92
500	176	222	255	282	303	320	334	347	357	366
1000	222	294	352	401	443	479	511	539	563	586
1500	246	334	408	472	529	579	624	665	702	735
2000	262	360	445	520	588	649	705	756	803	846
2500	273	378	472	556	632	702	767	826	881	933
3000	281	393	493	584	667	744	816	882	944	I003
3500	288	404	510	606	696	778	856	928	996	I061
4000	293	414	524	625	719	807	890	967	I041	III0
4500	298	422	536	641	739	832	919	I001	I079	I153
5000	302	429	546	655	757	853	944	I030	I112	I190
5500	305	435	555	667	772	872	966	I056	I141	I223
6000	308	440	563	677	786	888	986	I079	I168	I253
6500	311	443	570	687	798	903	I003	I099	I191	I279
7000	313	449	576	695	809	917	I020	I118	I213	I304
7500	316	453	582	703	819	929	I034	I135	I232	I326
8000	317	456	587	710	828	940	I048	I151	I250	I346
8500	319	460	592	717	836	950	I060	I165	I267	I365
9000	321	462	596	723	844	960	I071	I178	I282	I382
9500	322	465	600	728	851	969	I082	I191	I296	I398
10000	324	468	604	733	858	977	I092	I202	I309	I413

Продолжение приложения 4

радиуса исходной кривизны листа ( $R$ ) для стали

с  $G_y = 1100 \text{ МПа}$ ,  $E_y = 2500 \text{ МПа}$

толщине листа, в мм											
24	25	28	30	32	36	40	50	60	70	80	
93	93	94	94	94	95	95	96	96	97	97	
374	378	387	393	398	407	414	428	438	445	450	
605	615	640	655	669	693	714	755	786	809	828	
766	781	821	845	868	908	944	1016	1071	1115	1150	
886	905	959	991	1022	1077	1127	1229	1310	1375	1428	
981	1004	1068	1108	1146	1215	1277	1408	1514	1600	1672	
I058	I084	II58	I204	I248	I330	I403	I561	I690	I797	I888	
II22	II51	I234	I286	I335	I427	I512	I694	I845	I972	2080	
II76	I208	I299	I356	I410	I512	I606	I811	I982	I2128	2254	
I223	I257	I355	I416	I475	I586	I689	I914	I2105	2269	2411	
I265	I301	I405	I470	I533	I652	I763	2007	I2216	2396	2554	
I302	I339	I449	I518	I585	I711	I829	2091	I2317	I2513	2686	
I334	I374	I488	I561	I631	I764	I889	I2168	I2409	I2620	I2807	
I364	I405	I524	I600	I673	I812	I943	I2237	I2493	I2719	I2919	
I391	I434	I557	I635	I712	I857	I993	I2301	I2571	I2810	I3023	
I416	I460	I587	I668	I747	I897	I2039	I2361	I2644	I2895	I3121	
I438	I483	I614	I698	I772	I935	I2081	I2416	I2711	I2975	I3212	
I459	I505	I640	I726	I809	I969	I2121	I2467	I2774	I3049	I3297	
I479	I526	I663	I751	I837	I2002	I2158	I2515	I2833	I3119	I3378	
I497	I545	I685	I775	I863	I2032	I2192	I2560	I2888	I3184	I3453	
I514	I563	I706	I698	I888	I2060	I2224	I2602	I2940	I3246	I3525	

Приложение 5

Предельные значения ширины и толщины листов,  
выправляемых различными машинами

Толщи- на ли- ста, мм	$\sigma_r$ в МПа ( $E_1 = 2500$ МПа)										
	200	300	400	500	600	700	800	900	1000	1100	1200
	Допустимая ширина листа, мм										
I	2	3	4	5	6	7	8	9	10	II	12
Машина "Фудзё Шарё" 40x3200											
10-25	3200	3200	3200	3200	3200	3200	3200	3200	3200	3200	3200
28	3200	3200	3200	3200	3200	3200	3200	3200	3200	2360	440
30	3200	3200	3200	3200	3200	3200	3200	2580	I980	400	360
32	3200	3200	3200	3200	3200	3200	2290	420	370	330	300
36	3200	3200	3200	3200	2150	400	340	300	270	250	230
40	3200	3200	3200	410	340	290	360	230	210	I90	I80
46	3200	430	340	280	240	210	I90	I70	I50	I40	I30
50	I990	320	270	230	200	I70	I50	I40	I30	I20	I10
Машина XRM 40x3000											
10-24			3000	3000	3000		3000	3000	3000	3000	3000
25	3000	3000	3000	3000	3000		3000	3000	3000	3000	2180
28	3000	3000	3000	3000	3000		3000	2220	410	360	330
30	3000	3000	3000	3000	3000		I960	380	330	300	270
32	3000	3000	3000	3000	2480	420	360	310	280	250	230
36	3000	3000	3000	I810	340	290	260	230	210	I90	I80
40	3000	2290	360	300	250	220	200	I80	I60	I50	I40
46	400	300	240	210	I80	I60	I40	I30	I20	I10	I00
50	300	245	200	I70	I50	I30	I20	I10	I00	-	-
60	I85	I50	I30	I00	I00	-	-	-	-	-	-
Машина НКМЗ 32x2500											
I0-I8			40	50	60	70	80	90	I00	I10	I20
20	200	300	2500	2500	2500	2500	2500	2500	2500	2500	2500
22	2500	2500	2500	2500	2500	2500	2500	I410	I410	I210	I070
24	2500	2500	2500	2500	2500	I230	I030	870	750	670	610
25	2500	2500	2500	2500	I330	I070	880	760	670	600	540

Продолжение приложения 5

I	2	3	4	5	6	7	8	9	10	II	I2
28	2500	2500	I470	I090	870	730	620	550	490	440	410
30	2500	2500	II40	850	690	600	520	460	410	370	340
32	2500	II90	920	690	500	500	440	390	350	320	290
36	II70	760	610	500	420	360	320	290	260	240	220
40	750	560	450	380	320	280	250	230	210	I90	I80
46	480	380	300	260	230	200	I80	I70	I50	I40	I30
50	380	310	240	210	I90	I70	I50	I40	I30	I20	II10
60	230	I90	I60	I40	I20	I10	I00	-	-	-	-

Машина НКМЗ 25x2500

8-I4	2500	2500	2500	2500	2500	2500	2500	2500	2500	2500	2500
I6	2500	2500	2500	2500	2500	2500	2500	2500	I430	I220	I070
I8	2500	2500	2500	2500	2500	2500	I320	I110	950	820	730
20	2500	2500	2500	2500	I370	I110	950	820	680	610	550
22	2500	2500	2500	I240	990	790	680	610	530	470	430
24	2500	2500	II90	900	330	610	530	470	420	380	350
25	2500	2500	I040	780	650	550	420	380	380	340	320
28	I470	960	700	560	470	410	380	340	290	260	240
30	II30	730	580	460	390	340	290	260	240	220	210
32	900	600	490	390	330	290	240	220	210	200	I80
36	590	425	350	290	250	220	200	I80	I60	I50	I40
40	420	320	260	230	200	I70	I60	I40	I30	I20	II10
46	280	230	I85	I65	I40	I25	I10	I00	I00	-	-
50	220	I90	I50	I30	I20	I10	-	-	-	-	-
60	I45	I20	I00	-	-	-	-	-	-	-	-

Машина HRLSG 25x2438

6-I2	2438	2438	2438	2438	2438	2438	2438	2438	2438	2438	2438
I4	2438	2438	2438	2438	2438	2438	2438	2438	2438	2438	I430
I6	2438	2438	2438	2438	2438	2438	2438	I390	II90	I030	910
I8	2438	2438	2438	2438	2438	I310	I090	920	790	700	630
20	2438	2438	2438	I410	II30	910	750	660	580	520	480
22	2438	2438	I330	I000	800	670	570	510	450	410	380
24	2438	I330	980	730	610	530	460	400	360	330	300
25	2438	II30	840	650	540	470	410	360	330	300	280

Продолжение приложения 5

I	2	3	4	5	6	7	8	9	10	II	I2
28	II55	730	660	470	400	350	310	280	250	230	210
30	855	590	480	400	380	290	260	240	210	200	180
32	665	490	400	340	280	250	220	210	190	170	160
36	455	355	290	250	220	190	-	-	-	-	-
40	335	270	220	-	-	-	-	-	-	-	-

Машина "Бенни" 25x3100

10-12	3100	3100	3100	3100	3100	3100	3100	3100	3100	3100	3100
14	3100	3100	3100	3100	3100	3100	3100	3100	3100	3100	2850
16	3100	3100	3100	3100	3100	3100	3100	2620	2240	1930	1710
18	3100	3100	3100	3100	3100	2620	2060	1730	1500	1330	1230
20	3100	3100	3100	3100	2270	1790	1500	1290	1140	1020	920
22	3100	3100	3100	2160	1660	1370	1160	1020	900	810	740
24	3100	3100	2230	1630	1300	1090	940	820	740	660	610
25	3100	3100	1930	1450	1170	990	850	750	670	610	550
28	3100	1950	1380	1070	880	750	650	580	520	470	430
30	2380	1480	1140	900	750	640	560	500	450	400	370
32	1910	1300	970	770	640	550	480	430	390	350	320
36	1360	950	720	580	490	420	370	330	300	270	250
40	1020	730	560	460	390	330	300	260	240	220	200
46	770	570	450	360	320	280	240	210	190	170	150
50	570	420	300	280	240	210	-	-	-	-	-

Машина UBR<sub>K</sub> 25x3200

6-14	3200	3200	3200	3200	3200	3200	3200	3200	3200	3200	3200
16	3200	3200	3200	3200	3200	3200	3200	3200	3200	3200	-
18	3200	3200	3200	3200	3200	3200	3200	3200	-	-	-
20	3200	3200	3200	3200	3200	3200	-	-	-	-	-
22	3200	3200	3200	-	-	-	-	-	-	-	-
24	3200	3200	-	-	-	-	-	-	-	-	-
25	3200	3200	-	-	-	-	-	-	-	-	-
28	3200	-	-	-	-	-	-	-	-	-	-

Машина UBR<sub>K</sub> 32x3200

6-20	3200	3200	3200	3200	3200	3200	3200	3200	3200	3200	3200
------	------	------	------	------	------	------	------	------	------	------	------

Продолжение приложения 5

I	2	3	4	5	6	7	8	9	10	II	12
22	3200	3200	3200	3200	3200	3200	3200	3200	3200	-	-
24	3200	3200	3200	3200	3200	3200	3200	-	-	-	-
25	3200	3200	3200	3200	3200	3200	-	-	-	-	-
28	3200	3200	3200	3200	-	-	-	-	-	-	-
30	3200	3200	3200	-	-	-	-	-	-	-	-
32	3200	3200	-	-	-	-	-	-	-	-	-

Машина НКМЗ 30x3450

I2-20	3450	3450	3450	3450	3450	3450	3450	3450	3450	3450	3450
22	3450	3450	3450	3450	3450	3450	3450	3450	3450	2620	2090
24	3450	3450	3450	3450	3450	3450	3450	2700	480	420	370
25	3450	3450	3450	3450	3450	3450	2930	2130	420	370	330
28	3450	3450	3450	3450	3010	480	400	350	310	280	260
30	3450	3450	3450	3450	465	385	330	295	270	240	220
32	3450	3450	2070	380	320	280	250	230	230	210	190
36	3450	3290	410	330	280	240	210	190	175	160	148
40	3150	410	310	250	220	190	170	150	140	125	120
46	370	270	220	180	160	140	120	110	100	-	-
50	300	220	180	150	130	115	100	-	-	-	-
60	180	140	120	100	-	-	-	-	-	-	-

Машина НКМЗ 50x4500

32	4500	4500	4500	4500	4500	4500	4500	4500	4500	4500	4500
36	4500	4500	4500	4500	4500	4500	4500	4500	4500	3920	3020
40	4500	4500	4500	4500	4500	4500	4500	3540	2720	550	490
46	4500	4500	4500	4500	4500	2880	550	470	420	380	350
50	4500	4500	4500	4500	600	500	430	380	350	320	290
60	4500	4140	540	430	370	320	280	250	230	210	190

Машина НКМЗ 50x3500

22-32	3500	3500	3500	3500	3500	3500	3500	3500	3500	3500	3500
36	3500	3500	3500	3500	3500	3500	3500	3500	3500	3500	2800
40	3500	3500	3500	3500	3500	3500	3500	2380	460	410	
46	3500	3500	3500	3500	3500	2440	2450	390	340	310	290
50	3500	3500	3500	3500	2120	410	350	310	280	260	240
60	3500	2660	430	340	290	250	230	200	190	170	160

Продолжение приложения 5

I	2	3	4	5	6	7	8	9	10	II	12
Машина НКМЗ 35x2650											
8-24	2650	2650	2650	2650	2650	2650	2650	2650	2650	2650	2650
25	2650	2650	2650	2650	2650	2650	2650	2650	2650	2650	2650
28	2650	2650	2650	2650	2650	2650	2650	2650	I860	360	320
30	2650	2650	2650	2650	2650	2650	2130	I610	320	290	260
32	2650	2650	2650	2650	2650	2000	350	300	270	240	220
36	2650	2650	2650	I950	330	280	250	220	200	I90	I70
40	2650	2650	I660	300	250	220	I90	I70	I60	I50	I30
46	I990	300	240	210	I80	I50	I40	I30	I20	I10	I00
50	306	240	I90	I70	I40	I30	I10	I00	-	-	-
60	I80	I50	I20	I05	I00	-	-	-	-	-	-
Машина УБРК 40x3200											
8-25	3200	3200	3200	3200	3200	3200	3200	3200	3200	3200	3200
28	3200	3200	3200	3200	3200	3200	3200	3200	-	-	-
30	3200	3200	3200	3200	3200	3200	3200	-	-	-	-
32	3200	3200	3200	3200	3200	3200	-	-	-	-	-
36	3200	3200	3200	3200	-	-	-	-	-	-	-
40	3200	3200	-	-	-	-	-	-	-	-	-
Машина УБРК 50x4500											
I4-32	4500	4500	4500	4500	4500	4500	4500	4500	4500	4500	4500
36	4500	4500	4500	4500	4500	4500	4500	4500	-	-	-
40	4500	4500	4500	4500	4500	4500	-	-	-	-	-
46	4500	4500	4500	-	-	-	-	-	-	-	-
50	4500	4500	-	-	-	-	-	-	-	-	-

## Приложение 6

### Пример определения возможности правки стали на листоправильной машине без опорных роликов

Нужно определить максимальную ширину листа толщиной 30 мм из стали 09Г2С при  $G_t = 300$  МПа и  $E_t = 2500$  МПа, который можно править на машине типа "Бенни" 26x3100.

1. Устанавливаем радиусы изгиба заготовки при правке в листоправильной машине по формуле для заготовок по паспорту машины и намеченной к правке

$$\rho_0 = \frac{440^2 + 11,3^2}{16 \cdot 11,3} = 1070, \quad \rho = \frac{440^2 + 4 \cdot 9,0^2}{16 \cdot 9,0} = 1295,$$

где  $t = 440$  мм,  $h_0 = 11,3$ ,  $h = 9,0$  (из настройки машины).

2. Определяем максимальную ширину листа, который можно выпрямить на машине "Бенни" 26x3100 по формуле

$$B_{\max} = 3475 - \sqrt{3475^2 - \frac{250 \cdot 26^2}{300 \cdot 30^2}} (2 \cdot 3475 - 3100) \cdot 3100 = 3475 - \\ - 1905 = 1570,$$

где параметры машины следующие:

$b_0 = 3100$  мм,  $\delta_0 = 26$  мм,  $G_t^0 = 250$  МПа,  $E = 2,1 \cdot 10^5$  МПа,  
 $L = 3475$ , машина без роликовых опор

$$m_0 = 1,69 \text{ (см.табл.9)} \text{ при } K_0 = \frac{G_t^0 \rho_0}{E \delta_0} = \frac{250 \cdot 1070}{2,1 \cdot 10^5 \cdot 26} = 0,0489$$

и  $E_t = 4500$  МПа;

$$m = 1,56 \text{ (см.табл.9)} \text{ при } K = \frac{G_t \rho}{E \delta} = \frac{300 \cdot 1295}{2,1 \cdot 10^5 \cdot 30} = 0,0641$$

и  $E_t = 2500$  МПа.

3. Минимальная толщина листа, который можно править машиной "Бенни" из условия геометрии машины, будет равна 11 мм (см.приложение 4).

Следовательно, на машине "Бенни" можно править листы шириной 1570 мм при толщине 30 мм и  $G_t = 300$  МПа, при этом смятие валков не будет происходить и качество правки будет хорошее (ввиду достаточной проработки пластическими деформациями).

Пример определения возможности правки стали  
на листоправильной машине с опорными роликами

Нужно определить максимальную ширину листа толщиной 40 мм из стали высокой прочности 12ХГН2МФБАО при  $G_r = 1000$  МПа и  $E = 2500$  МПа, который можно править на машине "Фудэи Шарё" 40x3200.

Порядок определения возможности правки стали 12ХГН2МФБАО (ВС-2) следующий:

1. Устанавливаем радиусы изгиба заготовки при правке в листоправильной машине по формуле. Так как  $\delta_0 = \delta' = 40$  мм, то

$$\rho_0 = \rho = \frac{440^2 + 4 \cdot 26^2}{16 \cdot 26} = 470 \text{ мм},$$

где  $t = 440$  мм,  $h = h_0 = 26$  мм (из настройки машины).

2. Определяем максимальную ширину листа, которую можно выпрямить на машине "Фудэи Шарё" 40x3200 по формуле

$$b_{\max} = \frac{3200 \cdot 1,99 \cdot 400}{1,59 \cdot 40^2 \cdot 1000} = x N^2 = 1600 \cdot N^2,$$

где параметры машины следующие:

$b_0 = 3200$  мм,  $\delta_0 = 40$  мм,  $G_r = 400$  МПа, количество роликовых опор - 2;  $E = 2,1 \cdot 10^5$  МПа

$$\tau_0 = 1,99 \text{ (см.табл.) при } K^o = \frac{G_r \cdot \rho_0}{E \delta_0} = \frac{400 \cdot 470}{2,1 \cdot 10^5 \cdot 40} = 0,022$$

$$\text{и } E_1 = 4500 \text{ МПа};$$

$$\tau = 1,59 \text{ (см.табл.) при } K = \frac{G_r \cdot \rho}{E \cdot \delta} = \frac{1000 \cdot 470}{2,1 \cdot 10^5 \cdot 40} = 0,056$$

$$\text{и } E_1 = 2500 \text{ МПа.}$$

Далее определяем  $b_{\max}$  в зависимости от  $N$  методом последовательных приближений:

$$1) \frac{b}{b_0} = \frac{1600}{3200} = 0,5 \text{ по табл. (при 2-х роликовых опорах)}$$

$$N = 0,7, \text{ а } N^2 = 0,7^2 = 0,49;$$

$$b'_{\max} = 1600 \times 0,49 = 784 \text{ мм, тогда}$$

$$2) \frac{b'}{b_0} = \frac{784}{3200} = 0,245; \quad N = 0,457; \quad N^2 = 0,209;$$

$$b''_{\max} = 1600 \times 0,209 = 334 \text{ мм}$$

$$3) \frac{b''}{b_0} = \frac{334}{3200} = 0,104; N = 0,382; N^2 = 0,146$$

$$b_{\max}'' = 1600 \times 0,146 = 234 \text{ мм}$$

$$4) \frac{b'''}{b_0} = \frac{234}{3200} = 0,073; N = 0,369; N^2 = 0,136$$

$$b_{\max}''' = 1600 \times 0,136 = 217 \text{ мм}$$

$$5) \frac{b'''}{b_0} = \frac{217}{3200} = 0,0678; N = 0,367; N^2 = 0,134;$$

$$b_{\max}''' = 1600 \times 0,134 = 214 \text{ мм}$$

$$6) \frac{b'''}{b_0} = \frac{214}{3200} = 0,0668; N = 0,367; N^2 = 0,134;$$

$$b_{\max}''' = 1600 \times 0,134 = 214 \text{ мм}$$

Следовательно,  $b_{\max}''' = 214 \text{ мм.}$

3. Минимальная же толщина листа, которую можно править машиной "Фудзи Шарё" 40x3200 из условия геометрии машины будет равна 15 мм (см.приложение ).

Следовательно, на машине "Фудзи Шарё" 40x3200 можно править листы шириной до 214 мм при толщине листа 40 мм и  $G_T = 1000 \text{ МПа}$ , при этом смятие валков не будет происходить и качество правки будет хорошее (ввиду достаточной проработки пластическими деформациями).

## Приложение 7

Термическая правка поясов балок с помощью автомата АТПГ-2М (разработчик и изготовитель - ЦНИИС Минтрансстроя)

Принцип работы автомата (рис.1).

Прижимная рамка прижимается к нижнему свесу выправляемого пояса балки таким образом, что два опорных колеса рамки образуют базу, относительно которой подпружиненный шток щупового устройства измеряет удвоенную грибовидность  $\beta$ . Шток связан с реостатом, регулирующим с помощью системы управления скорость движения автомата. Большой грибовидности соответствует меньшая скорость автомата. Зависимость изменения скорости от величины грибовидности принята линейной. Возможна также и частичная

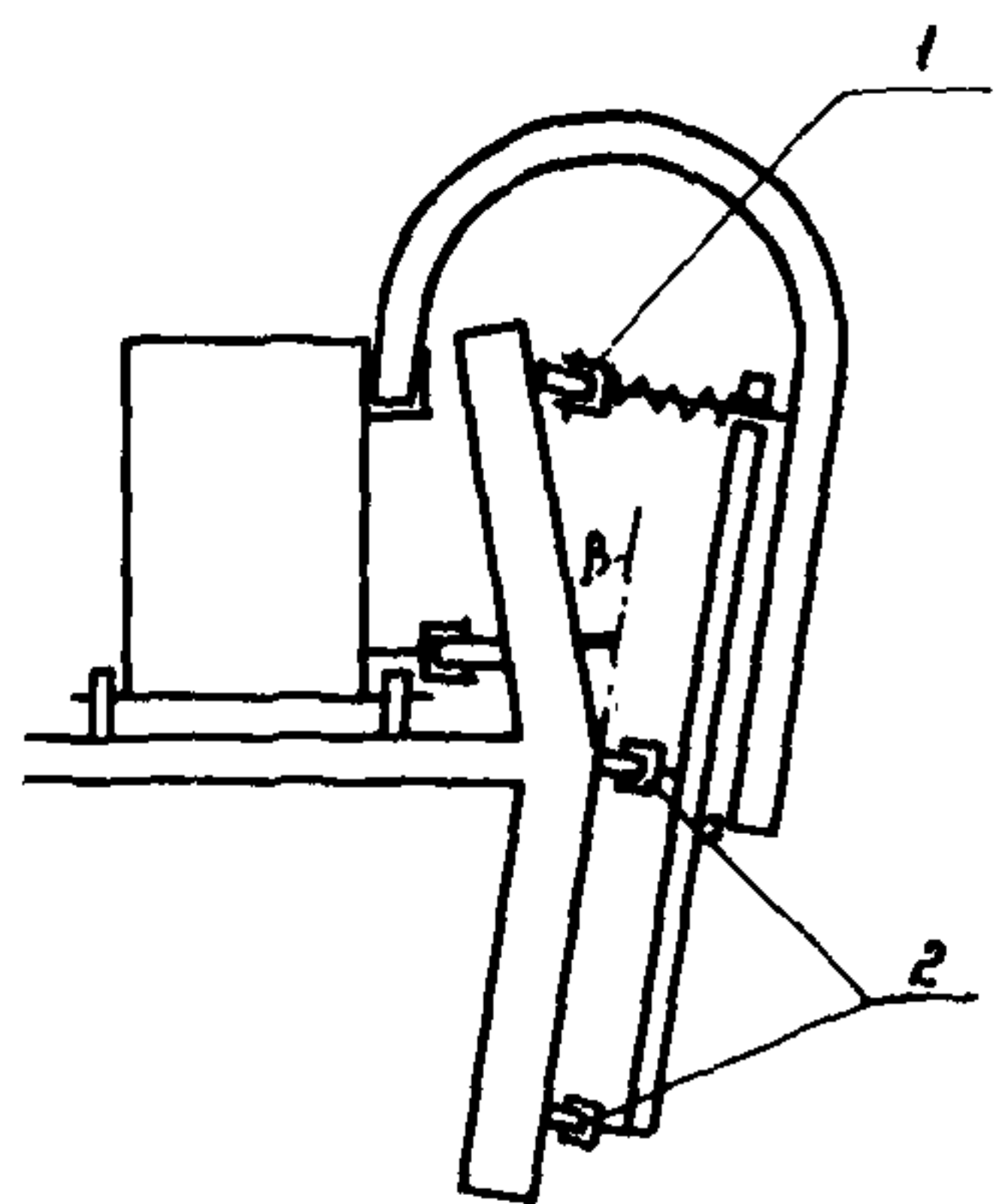


Рис. 1

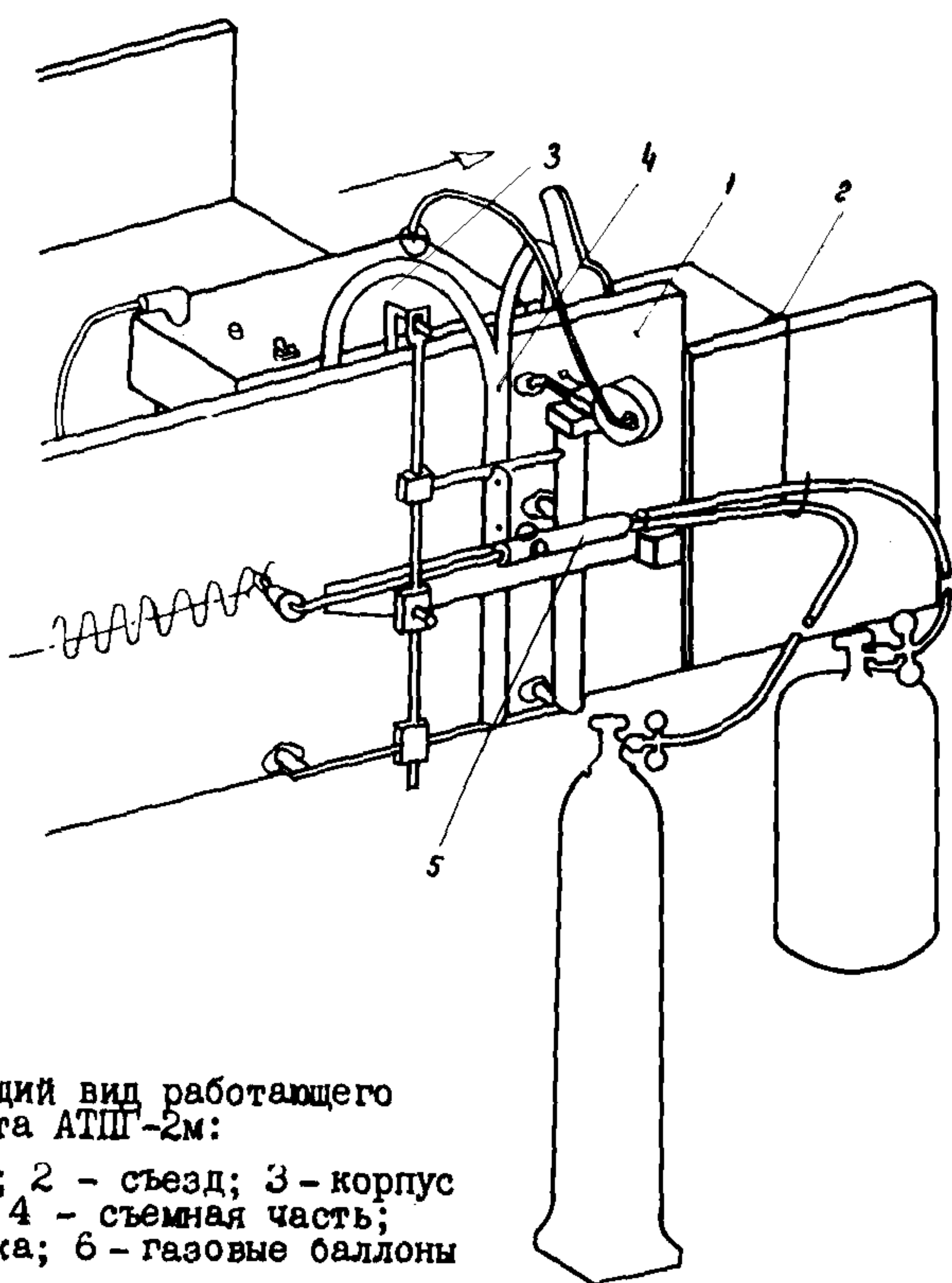


Рис.2. Общий вид работающего автомата АТП-2М:

1 - балка; 2 - съезд; 3 - корпус автомата; 4 - съемная часть;  
5 - горелка; 6 - газовые баллоны

правка перекоса поясов одновременно с грибовидностью за счет смещения полосы нагрева в поперечном направлении (относительно оси пояса).

Основные механические данные и характеристики (рис.2)

А. Характеристика управляемой балки:

тип балки	двулавровые; допускаются Н-образные и тавровые элементы
положение стенки	горизонтальное
поперечные ребра жесткости	отсутствуют
переменные ширины и толщины пояса по длине балки	допускается
упоры, приваренные к управляемому поясу	не допускаются
монтажные отверстия на поясах	допускаются
толщина пояса, мм	12 и более
ширина пояса, мм	400-800
длина пояса	не ограничивается
максимальная величина грибовидности	практически не ограничивается
минимальная ширина стенки балки, мм	400
стыковые соединения пояса или стенки	допускаются
класс стали	не ограничивается

Б. Характеристики автомата:

масса двух разъемных частей в сумме, кг	25
высота, мм	530
ширина, мм	470
длина, мм	450
питание электропривода перемещения	36 В
скорость правки, см/мин.	30-70
тип горелки, используемый в автомате	пропан-бутановая (типа ГЗУ-2-62П с наконечником № 7) или ацетилено-кислородная максимальной мощности

расстояние сопла горелки от нагреваемой поверхности, мм	$25 \pm 5$
амплитуда поперечных перемещений горелки, мм	0-60
направление рабочего перемещения автомата	в одну сторону

### Подготовка автомата к работе

Корпус автомата устанавливают на горизонтальную стенку балки вплотную к внутренней поверхности выправляемого пояса, после чего присоединяется съемная часть и горелка.

Настройка режима правки для сталей марок 15ХСНД и 10ХСНД осуществляется рукоятками на панели автомата в соответствии с таблицей (для других марок сталей режимы следует подбирать опытным путем).

Т а б л и ц а I

Толщина выправляемого пояса, мм	Положение I рукоятки деления	Положение II рукоятки деления
12	7	0
16	7	0
20	15	0
25	7	0

Съезд монтируется вплотную к концевому участку балки.

### Порядок работы с автоматом

В процессе работы оператор обязан визуально контролировать температуру нагрева поверхности металла, которая не должна превышать  $700 - 900^{\circ}\text{C}$ . Перегрев возможен из-за механических помех движению автомата или слишком большой величине грибовидности, для чего необходимо либо устранить помехи, либо уменьшить величину показаний грибовидности на шкале щупа.

## СОДЕРЖАНИЕ

1. Основные положения .....	3
2. Общие указания .....	5
3. Холодная правка. Правка изгибом листового проката на листоправильных вальцах .....	8
4. Термическая правка. Правка листового проката .....	17
5. Правка грибовидности и перекоса полок .....	25
6. Правка продольного изгиба .....	26
7. Правка холунов .....	30
8. Правка прочих видов деформаций .....	36
Приложения	
1. Характеристика газопламенных горелок .....	38
2. Устройство для контроля температуры нагрева в основные показатели термопар .....	39
3. Листоправильные машины с параллельными рядами валков .....	43
4. Зависимости радиуса изгиба ( $R$ ) от радиуса исходной кривизны ( $R$ ) для стали .....	45
5. Предельные значения ширины и толщины листов, управляемых различными машинами .....	66
6. Пример определения возможности правки стали на листоправильной машине .....	71
7. Термическая правка поясов балок с помощью автомата АТПГ-2М (разработчик и изготовитель - ЦНИИС Минтрансстроя) .....	73

Ответственный за выпуск В.В.Волков

Техн.редактор Л.А.Пыжова

Л-19572. Подписано в печать 27/XI-81 г. Формат 60x84/16,  
Объем 4,75 п.л. Тираж 150 экз. Цена 80 коп. Заказ № II2

---

Отпечатано на ротапринте ЦНИИпроект